



Informatização dos dados geológicos da MINEROPAR e de outras instituições e revisão, atualização e integração do mapa geológico do Estado do Paraná

Relatório Final de Atividades

Períodos: Outubro de 2009 a Março de 2010
25 de Outubro 2010 a 10 de Novembro de 2011

Empresa Contratante: MINEROPAR

Empresa Contratada: ACQUA SUL

Responsável Técnico da MINEROPAR: Geólogo Msc. Donaldo Cordeiro da Silva

Responsável Técnico da ACQUA SUL: Geólogo Dr. Ossama Mohamed Milad Harara

55.81
H 254j

Registro n. 5857



Biblioteca/Mineropar

MINEROPAR
BIBLIOTECA
Reg. 5857 Data. 1/1/11



Períodos das atividades

- **1º licitação** – Duração: 6 meses:
 - Elaboração dos dicionários dos termos geológicos
 - Inserção dos dicionários no Programa Mina
 - Informatização de parte dos dados geológicos das estações de campo da Mineropar;

- **2º licitação** – Duração: 12 meses e 15 dias (incluindo aditivo de 2 meses e 15 dias):
 - 6 meses: atividades de informatização de dados geológicos das estações de campo da Mineropar e de outras instituições;

 - 6 meses: atividades de revisão, atualização e integração do mapa geológico do Estado do Paraná.



ATIVIDADES REALIZADAS

Elaboração dos dicionários dos termos geológicos e sua inserção no sistema de informações geológicas da Mineropar (programa MINA)

- Os dicionários dos termos geológicos são essenciais para a viabilização do programa MINA da Mineropar.
- As principais referências bibliográficas utilizadas para a elaboração dos dicionários são:

- Adams, A.E., Mackenzie, W.S, Guilford, C. (1984, 1994) Atlas of sedimentary rocks under the microscope. Wiley & Sons. 104p.
- Backer, A.J. (1990) an introduction to metamorphic textures and microstructures. Blackie. Glasgow.
- Bard, J.P. (1986) Microtextures of Igneous and metamorphic Rocks. D. Reidel Publishing Company, Dordrecht. 264p.
- Best, M.G. & Christiansen, E.H. (2001) Igneous Petrology. BlackWell. 455p.
- Biondi, J.C. (1986) Depósitos de minerais metálicos de filiação magmática. CBMM & T.A. Queiroz ed., São Paulo - Brasil, 602 p.
- Bucher, K. & Frey, M. (1994) Petrogenesis of metamorphic rocks. Springer-Verlag. 380p.
- Busby, C.J. & Ingersoll, R.V. (1995) Tectonics of Sedimentary Basins. Blackwell, 579p.
- Castro, A., Fernandez, C., Vignerresse, J.L. (2000) Understanding Granites: integrating New and classical techniques. Geological Society Special Publication. No 168, 288p.
- Condie, K. (1989) Plate Tectonics and Crustal Evolution, 3.ed.
- Condie, K.C (1997) Plate Tectonics and Crustal Evolution, Pergamon Press. 282p.
- Dana & Hurlbut (1981) Manual de mineralogia. Livros Técnicos e Científicos Ed. S.A., São Paulo, 642p.
- Deer, W.A.; Howie; R.A. & Zussman, J. (1981) Minerais constituintes das rochas – uma introdução. Fundação Calouste Gulbenkian, Lisboa, 558p.
- Deer, W.A.; Howie; R.A. & Zussman, J. (1992) An introduction to the rock-forming minerals. 2nd. Longman Scientific & Technical, Hong Kong, 696p.
- Dickin, A. P. (1995) Radiogenic Isotope Geology. Cambridge University Press, 490p.
- Einsele, G. (2000) Sedimentary Basins: Evolution, Facies, and sediment Budget. Springer-Verlag, 792p.
- Faure, G (1986) Principles of Isotope Geology. 2ª Ed. J. Wiley & Sons. 589 p



- Faure, G. (2001) Origin of igneous Rocks: the isotopic evidence. 496pp. Springer Press
- Frey, N. (1991) The field description of metamorphic rocks. Wiley & Sons. 128p.
- Gillespie, M.R. & Styles, M.T. (1999) BGS rock classification Scheme. Volume 1. Classification of Igneous Rocks. British Geological Survey. Research Report No. 99-06.
- HALL, A. (1996) Igneous Petrology. Prentice Hall, 2. Ed. 551p.
- Hallsworth, C.R. & OB´Knox, R.W. (1999) BGS rock classification Scheme. Volume 3. Classification of sediments and sedimentary rocks. British Geological Survey. Research Report No. 99-03.
- Hancock, P.L. (1994) Continental deformation. Pergamon Press, 409p.
- Hasui, Y.; Costa, J.B.S. (1990) "Zonas e Cinturões de Cisalhamento". Editora UFPA Belém 144 p.
- Heaman, L & Ludden, J.N. (1991) Short course handbook on application of radiogenic systems to problems in geology. Mineralogical Association of Canada, 498p.
- Hess, P.C. (1989) Origins of igneous rocks. Harvard University Press. 336p.
- Hibbard, M.J. (1995) Petrography to Petrogenesis. Prentice Hall. 531p.
- Hobbs, B.E.; Means, W.D. & Williams, P.F. (1976) An outline of Structural Geology. John Wiley.
- Hoefs, J. (1997) Stable isotope geochemistry. Springer-Verlag. 201p.
- Hutchison, C.S. (1983) Economic deposits and their tectonic setting. MacMillan Publ.Ltd., London - UK, 365p.
- Kearey & Vine (1996) Global Tectonics. 2. ed. Blackwell Science, 333p.
- Klein & Hurlbut. (1993) Manual of mineralogy. John Wiley & Sons, New York, 681p.
- Klein, C. (1993) Manual of Mineralogy. 21 ed. Wiley & Sons. 704p.
- International Commission on Stratigraphy (2009) International Stratigraphic Chart (Geologic Time Scale) published by International Union of Geological Sciences (IUGS). Tabela de Agosto de 2009. Site: www.stratigraphy.org.
- Lisle, R.J. (1995) Geological Structures and Maps. A Practical Guide. 2ª ed., Oxford, Butterworth and Heinemann.
- Loczy, L. De & Ladeira, E. (1976) Geologia Estrutural e Introdução à Geotectônica". Edgard Blucher Ltda. São Paulo 528 p.
- Mackenzie, W.S. & Adams, A.E. (1994, 1996, 1998) A colour atlas of rocks and minerals in thin section. Wiley & Sons. 192p.
- Mackenzie, W.S. & Guilford, C. (1980) Atlas of rock-forming minerals in thin section. Wiley & Sons. 98p.
- Mackenzie, W.S., Donaldson, C.H. & Guilford, C. (1993) Atlas of igneous rocks and their textures. Longman Scientific & Technical. 148p.
- Mason, (1990) Petrology of the metamorphic rocks. Unwin & Hyman. 230p.
- McClay, K. (1987) The Mapping of Geological Structures. John Willey & Sons, 161p.
- Miall, (2000) Principles of Sedimentary Basin Analysis. Springer-Verlag, 616p.



- Milani, E. J. Evolução tectono-estratigráfica da Bacia do Paraná e seu relacionamento com a geodinâmica fanerozóica do Gondwana Sul-Occidental. 1997. 2 v. Tese (Doutorado) - Instituto de Geociências. Universidade Federal do Rio Grande do Sul, Porto Alegre, 1997.
- MINDAT (2009) <http://www.mindat.org/> Site com descrições completas e fotos sobre todos os minerais.
- MINERALNET(2009) <http://www.webmineral.org>. Site com descrições completas e fotos sobre todos os minerais.
- Mitchell, A.H.G. (1981) Mineral deposits and global tectonic settings. Academic Press. 405p.
- Moores, E.M. & Twiss, R.J. (1995) Tectonics. W.H. Freeman and Company. 415 p.
- Nesse, W.D. (1991) Introduction to optical mineralogy. 2 Ed. Oxford University Press. 348p.
- Nesse, W.D. (1999) Introduction to mineralogy. Oxford University Press. 458p.
- Nichols, G.J. (1998) Sedimentary and Stratigraphy. Blackwell Science. 368p.
- PARK, R.G. (1983) Foundations of Structural Geology. Blackie, 135 p.
- Passchier, C. W. & Trouw, R.A.J. (1996) Microtectonics. Springer-Verlag, 289p.
- Philpotts, A.R. & Ague, J.J (2009) Principles of Igneous and Metamorphic Petrology. Cambridge University Press, New York. 667p.
- Ragan, D. M. (1985) Structural Geology. 3ª ed., New York, John Wiley & Sons inc., 393p.
- Ramsay, J.G. & Huber, M. (1983) The techniques of Modern Structural Geology. Vol 1: Strain Analysis. London, Academic Press, 307p.
- Ramsay, J.G. & Huber, M. (1983) The techniques of Modern Structural Geology. Vol 2: Folds and Fractures. London, Academic Press, 309 – 700p.
- Robertson, S. (1999) BGS rock classification Scheme. Volume 2. Classification of metamorphic rocks. **British Geological Survey**. Research Report No. 99-02.
- Rollinson, H. (1993) Using geochemical data: evaluation, presentation, interpretation. Longman Scientific & Technical, John Wiley, New York, 352p.
- Selley, R.C. (2000) Applied Sedimentary. 2 Ed. Academic Press.
- Sengör, A.M.C. (1990) Plate tectonics and orogenic research after 25 years: a Tethyan perspective. Earth Science Review, 27, 1-201.
- Sheahan, P.A. & Cherry, M.A. eds. (1993) Ore deposits models, Vol. 2. Geoscience Canada, Reprint Series 6, Canada, 154 p.
- Shelley, D. (1995) Igneous and Metamorphic Rocks under the microscope. Chapman & Hall. 445p.
- Sial, A. & Macreath, I. (1984) Petrologia Ígnea. Vol 1. Bureau Gráfica e Editora Ltda, Salvador. 181p.
- Spear, F.S. (1995) metamorphic phase equilibria and pressure-temperature-time paths. Mineralogical Society of America.



- Suppe, J. (1985) "Principles of Structural Geology" Prentice-Hall, 537 p.
- Thorpe, R. & Brown, G. (1991) The field description of igneous rocks. Wiley & Sons 160p.
- Tucker, M.E. (1991) Sedimentary Petrology: Na introduction to the origin of sedimentary rocks. Blackwell Science.
- Tucker, M.E. (1996) Sedimentary rocks in the field.
- Twiss, R.J. & Moores, E.M. (1992) Structural geology. W.H. Freeman and Company. 532.
- Webmineral (2009) <http://www.webmineral.com> Site com descrições completas e fotos sobre todos os minerais.
- Wilson, M. (1989) Igneous Petrogenesis. Unwin Hyman. 466p.
- Windley, B. (1995) The Evolving Continents, 3 Ed. John Wiley & Sons, 399p.
- Winter, J. D. (2001) An introduction to Igneous and Metamorphic Petrology. Prentice Hall. 697p.
- Yardley, B.W.D, Mackenzie, W.S. & Guilford, C (1997) Atlas of metamorphic rocks and their textures.
- Yardley, B.W.D. (1989) An introduction to metamorphic petrology. Longman Scientific & Technical.
- Yardley, B.W.D. (1994) Introdução à Petrologia Metamórfica. Trad. Fuck, R.^a - An Introduction to Metamorphic Petrology. Ed UnB 340p.



Resumo das principais classes dos dicionários do Programa MINA

Classe do Dicionário	Sub-classe	
Mineralogia	Lista completa de minerais mais comuns e suas composições químicas	
Litologias	Rochas Ígneas Plutônicas Rochas Ígneas Vulcânicas e subvulcânicas Rochas Vulcanoclásticas Rochas Sedimentares e Sedimentos Rochas Metamórficas	
Granulação (rochas ígneas)		
Granulometria (rochas sedimentares)		
Índice de Cor (rochas ígneas)		
Tipologia Ígnea		
Tipos de Intrusões Ígneas		
Estruturas	Estruturas Sedimentares Estruturas Ígneas Estruturas Tectono-Metamórficas Estruturas Tectônicas	Foliações Lineações Fraturas Falhas Dobras
Texturas	Texturas de Rochas Ígneas Texturas de Rochas Sedimentares Texturas de Rochas Metamórficas	
Metamorfismo	Tipos de Metamorfismo Graus (Fácies) Metamórficos	
Geoquímica	Rochas Minerais Sedimentos de Corrente Solos Concentrado de Bateia Água Inclusões fluidas e sólidas	Tabela padrão Tabela padrão Tabela padrão Tabela padrão Tabela padrão Tabela padrão Tabela padrão
Geofísica	Gamaespectrometria Gravimetria Magnetometria outros	
Ambientes Sedimentares		
Ambientes Geotectônicos		
Tipologia Petrotectônica (Litopetrotectônica)		
Classificação de Bacias Sedimentares		
Geocronologia e Geologia Isotópica	Métodos de Datação Isótopos Estáveis Indicadores Petrogenéticos Escala do Tempo Geológico	
Paleontologia	Lista dos principais fósseis e seus intervalos de idades	
Intemperismo	Grau de Intemperismo	
Geomorfologia	Mapas geomorfológicos Mapas do Meio Físico	
Solos	Mapas de Solos	
Vegetação	Tipos de vegetação	



Continuação

Estações de Campo	Localização Fotos de campo Fotomicrografias Descrições Petrográficas Macroscópicas Descrições Petrográficas Microscópicas
Mapas Geológicos	Escala 1:650.000 Escala 1:250.000 Escala 1:100.000 Escala 1:50.000 Escala 1:25.000 Escala 1:10.000 Escala 1:5.000 outras escalas
Perfis Geológicos	Perfis Geológicos Outros perfis
Bases Cartográficas	Mapas 1:250.000 Mapas 1:100.000 Mapas 1:50.000 Mapas 1:25.000 Mapas 1:10.000 Mapas 1:5.000 outras escalas
Unidades Litoestratigráficas do Paraná	
Recursos Minerais	Potencial Econômico Potencial Metalogenético Direitos Minerários (numero do processo, ano, titular, área, substância requerida,...) Substâncias Minerais Minério existente Geometria da mineralização (depósito mineral) Tipo de mineralização Classificação do Depósito Mineral Reservas Atividade Mineral Nome do depósito
Recursos Energéticos	
Hidrogeologia e Recursos Hídricos	Poços Mapas Hidrografia do Estado do Paraná Recursos Hídricos
Geotecnia	Mapas Geotécnicos Análises Geotécnicas
Espeleologia	Map de localização de cavernas no Paraná Dados Geológicos de cavernas
Geoparques	
Meio Ambiente	Áreas de proteção ambiental (APAs)
Ensaio	Análises Físicas Ensaio Físico-Químicos Ensaio Tecnológicos
Combustíveis	
Limites Geopolíticos	
Infraestrutura	
Protocolos	Protocolo IAP Protocolo Processos Loteamento IAP/Loteamento
Fonte de Dados	
Dicionário de Palavras-Chave	



Detalhamento dos dicionários do Programa MINA

Dicionário de Minerais, composição química e indicação de endereços no site *Mindat* para informações detalhadas e fotos sobre cada mineral.

Minerais	Composição Química		Endereço de site para detalhes sobre o mineral	
Feldspato	Ortoclásio	$KAlSi_3O_8$	http://www.mindat.org/min-3026.html	
	Sanduína	$KAlSi_3O_8$	http://www.mindat.org/min-3521.html	
	Adulária	$KAlSi_3O_8$	http://www.mindat.org/min-28.html	
	Microclíneo	$KAlSi_3O_8$	http://www.mindat.org/min-2704.html	
	Anortoclásio	$(Na,K)AlSi_3O_8$	http://www.mindat.org/min-248.html	
	Amazonita	$KAlSi_3O_8$	http://www.mindat.org/min-184.html	
	Plagioclásio	Albita	$NaAlSi_3O_8$	http://www.mindat.org/min-96.html
		Oligoclásio	$(Na,Ca)Al(Si,Al)Si_2O_8$	http://www.mindat.org/min-2976.html
		Andesina	$(Na,Ca)(Si,Al)_2O_8$	http://www.mindat.org/min-220.html
		Labradorita	$(Na,Ca)(Si,Al)_2O_8$	http://www.mindat.org/min-2308.html
		Bytownita	$(Na,Ca)(Si,Al)_2O_8$	http://www.mindat.org/min-815.html
Anortita		$CaAl_2Si_2O_8$	http://www.mindat.org/min-246.html	
Piroxênio	Ortopiroxênio	Enstatita (Mg-Enstatita)	$Mg_2(SiO_3)_2$	http://www.mindat.org/min-1384.html
		Bronzita (Fe-Enstatita)	$(Mg,Fe^{2+})_2(SiO_3)_2$	http://www.mindat.org/min-5293.html
		Fe-Salita (Hiperstênio)	$Fe_2(SiO_3)_2$	http://www.mindat.org/min-1958.html
		Hiperstênio (Fe-Enstatita)	$(Fe,Mg)SiO_3$	http://www.mindat.org/min-1525.html
	Clinopiroxênio	Augita	$(Ca,Na)(Mg,Fe^{2+},Al,Fe^{3+},Ti)(Si,Al)_2O_6$	http://www.mindat.org/min-419.html
		Aegirina	$NaFe^{3+}[Si_2O_6]$	http://www.mindat.org/min-31.html
		Aegirina-Augita	$(Na,Ca)(Fe^{3+},Fe^{2+},Mg,Al)Si_2O_6$	http://www.mindat.org/min-32.html
		Diopsídio	$CaMgSi_2O_6$	http://www.mindat.org/min-1294.html
		Arfvedsonita	$Na_3Fe^{3+}_2Fe^{2+}(OH)_2Si_3O_{22}$	http://www.mindat.org/min-325.html
		Pigeonita	$(Mg,Fe^{2+},Ca)(Mg,Fe^{2+})Si_2O_6$	http://www.mindat.org/min-3210.html
		Jadeíta	$Na(Al,Fe^{3+})[Si_2O_6]$	http://www.mindat.org/min-2062.html
		Hedenbergita	$CaFe^{2+}[Si_2O_6]$	http://www.mindat.org/min-1842.html
		Onfacíta	$(Ca,Na)(Mg,Al)Si_2O_6$	http://www.mindat.org/min-2991.html
		Ferrosalita	$Fe_2(SiO_3)_2$	http://www.mindat.org/min-1528.html
		Espodumeno	$LiAlSi_2O_6$	http://www.mindat.org/min-3733.html
Anfibóio	Homblandita	$Ca_2Fe^{2+}_4Al(OH)_2AlSi_7O_{22}$	http://www.mindat.org/min-1930.html	
	Hastingsita	$NaCa_2Fe^{2+}_4Fe^{3+}(OH)_2Al_2Si_6O_{22}$	http://www.mindat.org/min-1824.html	
	Actinolita	$Ca_2(Mg,Fe^{2+})_8(Si_6O_{22})(OH)_2$	http://www.mindat.org/min-18.html	
	Tremolita	$Ca_2Mg_5(OH)_2Si_6O_{22}$	http://www.mindat.org/min-4011.html	
	Profilita	$Al_2Si_4O_{11}(OH)_2$	http://www.mindat.org/min-3323.html	
	Antofilita	$Mg_2Mg(OH)_2Si_4O_{22}$	http://www.mindat.org/min-254.html	
	Cummingtonita	$Mg_2Mg_5(OH)_2Si_6O_{22}$	http://www.mindat.org/min-1170.html	
	Grunerita	$(Fe^{2+},Fe^{3+})(OH)_2Si_6O_{22}$	http://www.mindat.org/min-1758.html	
	Gedrita	$Mg_2Mg_3Al_2(OH)_2Al_2Si_6O_{22}$	http://www.mindat.org/min-1665.html	
	Ederita	$NaCa_2Mg_5(OH)_2AlSi_7O_{22}$	http://www.mindat.org/min-1351.html	
	Pargasita	$NaCa_2Mg_3Al(OH)_2Al_2Si_6O_{22}$	http://www.mindat.org/min-3119.html	
	Richtera	$NaCaNaMg_5(OH)_2Si_6O_{22}$	http://www.mindat.org/min-3416.html	
	Riebeckita	$Na_2Fe^{3+}_2Fe^{2+}(OH)_2Si_6O_{22}$	http://www.mindat.org/min-3418.html	
Tschermakita	$Ca_2Mg_3Fe^{2+}Al(OH)_2Al_2Si_6O_{22}$	http://www.mindat.org/min-4035.html		
Kaersutita	$NaCa_2Mg_3Ti(OH)Al_2Si_6O_{22}$	http://www.mindat.org/min-2129.html		
Quartzo	Quartzo	SiO_2	http://www.mindat.org/min-3337.html	
	Calcedônia	SiO_2	http://www.mindat.org/min-960.html	
	Opala	$SiO_2 \cdot nH_2O$	http://www.mindat.org/min-3004.html	
	Tridimita	SiO_2	http://www.mindat.org/min-4015.html	
	Agata	SiO_2	http://www.mindat.org/min-51.html	



continuação

Mica	Biotita	$K(Fe, Mg)3AlSi_3O_{10}(OH, F)_2$	http://www.mindat.org/min-677.html
	Muscovita	$KAl_2(OH)_2AlSi_3O_{10}$	http://www.mindat.org/min-2815.html
	Celadonita	$K(Mg, Fe^{2+})(Fe^{3+}, Al)(OH)Si_4O_{10}$	http://www.mindat.org/min-926.html
	Lepidolita	$K(Li, Al)_2(Si, Al)_4O_{10}(F, OH)_2$	http://www.mindat.org/min-2380.html
	Clorita	$Mg(Si_4O_{10})(OH)_2Mg_2OH_4$	http://www.mindat.org/min-1016.html
	Flogopita	$KMg_3(OH, F)AlSi_3O_{10}$	http://www.mindat.org/min-3193.html
	Fuchita	$K(Al, Cr)_2Si_2O_{10}(OH)_2$	http://www.mindat.org/min-1617.html
	Glaucônita	$K(Al, Fe, Mg)(Si, Al)_4O_{10}(OH)_2$	http://www.mindat.org/min-1710.html
	Paragonita	$NaAl(OH)_2AlSi_3O_{10}$	http://www.mindat.org/min-3090.html
	Anita	$KFe_3AlSi_3O_{10}(OH, F)_2$	http://www.mindat.org/min-241.html
	Margarita	$CaAl_2(OH)_2Al_2Si_2O_{10}$	http://www.mindat.org/min-2573.html
	Siderofilita	$KFe^{2+}_2AlAl_2Si_2O_{10}(OH)_2$	http://www.mindat.org/min-3651.html
Olivina	Forsterita	Mg_2SiO_4	http://www.mindat.org/min-1584.html
	Faialita	$Fe^{2+}_2SiO_4$	http://www.mindat.org/min-1458.html
	Tefroita	$Mn^{2+}_2SiO_4$	http://www.mindat.org/min-3913.html
Serpentina	Crisotilo	$Mg_3Si_2O_5(OH)_4$	http://www.mindat.org/min-975.html
	Lizardita	$Mg_3Si_2O_5(OH)_4$	http://www.mindat.org/min-2425.html
	Antigorita	$Mg_3Si_2O_5(OH)_4$	http://www.mindat.org/min-260.html
Granado	Pirropo	$Mg_2Al_4(SiO_4)_3$	http://www.mindat.org/min-3321.html
	Almandina	$Fe^{2+}_3Al_3SiO_{12}$	http://www.mindat.org/min-452.html
	Grossulária	$Ca_3Al_2SiO_{12}$	http://www.mindat.org/min-1755.html
	Espessartita	$Mn^{2+}_3Al_2SiO_{12}$	http://www.mindat.org/min-3725.html
	Andradita	$Ca_3Fe^{2+}_2SiO_{12}$	http://www.mindat.org/min-223.html
	Uvarovita	$Ca_3Cr_2SiO_{12}$	http://www.mindat.org/min-4125.html
Epidoto	Zoisita	$Ca_2Al_2O_7SiO_5Si_2O_7$	http://www.mindat.org/min-4430.html
	Clinozoisita	$Ca_2Al_2Si_3O_{12}$	http://www.mindat.org/min-1087.html
	Epidoto	$Ca(Al, Fe)_2Si_3O_{12}(OH)$	http://www.mindat.org/min-1389.html
Nefelina	$(Na, K)AlSi_3O_8$	http://www.mindat.org/min-2880.html	
Leucita	$KAlSi_3O_8$	http://www.mindat.org/min-2465.html	
Melilita	$(Ca, Na)_2(Al, Mg, Fe^{2+})(Al, Si)_2SiO_7$	http://www.mindat.org/min-2635.html	
Cianita	Al_2SiO_5	http://www.mindat.org/min-2303.html	
Andalusita	Al_2SiO_5	http://www.mindat.org/min-217.html	
Sillimanita	Al_2SiO_5	http://www.mindat.org/min-3662.html	
Estauronita	$Fe_2Al_2Si_2O_{10}(OH)_2$	http://www.mindat.org/min-3753.html	
Safirina	$Mg_2Al_4SiO_{10}$	http://www.mindat.org/min-3531.html	
Topázio	$Al_2(F, OH)_2SiO_4$	http://www.mindat.org/min-3996.html	
Zedlitas (analcima)	$Na_2Al_2Si_2O_7 \cdot 2H_2O$	http://www.mindat.org/min-4395.html	
Berilo	$Be_3Al_2Si_5O_{18}$	http://www.mindat.org/min-819.html	
Esmeralda	$Be_3Al_2Si_5O_{18}$	http://www.mindat.org/min-1375.html	
Água Marinha	$Be_3(Al, Cr)_2Si_5O_{18}$	http://www.mindat.org/min-289.html	
Lawsonita	$CaAl_2(OH)_2Si_2O_7 \cdot H_2O$	http://www.mindat.org/min-2353.html	
Astrofilita	$(K, Na)_2(Fe, Mn)7Ti_2Si_6O_{24}(O, OH)_{24}$	http://www.mindat.org/min-405.html	
Cloritóide	$Fe_2Al_2Si_2O_{10}(OH)_2$	http://www.mindat.org/min-1017.html	
Cordierita	$(Mg, Fe)_2Al_4Si_5O_{18}$	http://www.mindat.org/min-1128.html	
Escapolita	$(Na, Ca)_4Al_4Si_4O_{24}Cl$	http://www.mindat.org/min-8778.html	
Glaucofana	$Na_2Mg_2Al_2(OH)_2Si_6O_{22}$	http://www.mindat.org/min-1704.html	
Estilpnomelano	$(K, Ca, Na)(Fe^{2+}, Mg, Al, Fe^{3+})_8(Si, Al)_{12}(O, OH)_{36} \cdot nH_2O$	http://www.mindat.org/min-3789.html	
Eudialita	$Na_4(Ca, Fe, Ce, Mn)2ZrSi_6O_{18}(OH, Cl)$	http://www.mindat.org/min-1420.html	
Lamprofilita	$Na_2Sr_2Ti_3Si_4O_{16}(OH, F)_2$	http://www.mindat.org/min-2315.html	
Prehnita	$Ca_2Al_2Si_2O_{12}(OH)$	http://www.mindat.org/min-3277.html	



continuação

	Pumpellyita	$\text{Ca}_2\text{MgAl}_4(\text{SiO}_4)(\text{Si}_2\text{O}_7)(\text{OH})_2 \cdot (\text{H}_2\text{O})$	http://www.mindat.org/min-3305.html
	Wollastonita	$\text{Ca}_2\text{Si}_2\text{O}_6$	http://www.mindat.org/min-4323.html
	Garnetita	$(\text{Mg}, \text{Fe})_3\text{Si}_3\text{O}_{12}(\text{OH})_2 \cdot 6(\text{H}_2\text{O})$	http://www.mindat.org/min-10936.html
	Villemita	Zn_2SiO_4	http://www.mindat.org/min-4292.html
	Lazurita	$(\text{Na}, \text{Ca})_8(\text{S}, \text{SO}_4, \text{Cl}_2)\text{Al}_6\text{Si}_6\text{O}_{24}$	http://www.mindat.org/min-2357.html
	Sodalita	$\text{Na}_4\text{Cl}_2\text{Al}_3\text{Si}_3\text{O}_{24}$	http://www.mindat.org/min-3701.html
	Vesuvianita	$\text{Ca}_{10}(\text{Mg}, \text{Fe})_2\text{Al}_4\text{Si}_8\text{O}_{34}(\text{OH})_4$	http://www.mindat.org/min-4223.html
	Allarita	$(\text{Ca}, \text{Ce}, \text{Y})_2(\text{Al}, \text{Fe})_2\text{Si}_2\text{O}_{12}(\text{OH})$	http://www.mindat.org/min-124.html
	Euclásio	$\text{BeAlSiO}_4(\text{OH})$	http://www.mindat.org/min-1418.html
	Talco	$\text{Mg}_3\text{Si}_4\text{O}_{10}(\text{OH})_2$	http://www.mindat.org/min-3875.html
	Gadolinita	$(\text{Ce}, \text{La}, \text{Nd}, \text{Y})_2\text{Fe}^{2+}\text{Be}_2\text{O}(\text{SiO}_4)_2$	http://www.mindat.org/min-10344.html
	Turmalina	$(\text{Na}, \text{Ca})(\text{Mg}, \text{Li}, \text{Al}, \text{Fe}^{2+})_3\text{Al}_5\text{B}_3\text{Si}_5(\text{OH})_4$	http://www.mindat.org/min-4003.html
	Pelalita	$\text{LiAlSi}_4\text{O}_{10}$	http://www.mindat.org/min-3171.html
	Braunita	$\text{Mn}^{2+}\text{Mn}^{3+}_2\text{O}_5\text{SiO}_4$	http://www.mindat.org/min-757.html
	Toritita	$(\text{Th}, \text{U})\text{Si}_2\text{O}_7$	http://www.mindat.org/min-3946.html
	Trilonita	$(\text{Y}, \text{Th}, \text{Y}, \text{Ca}, \text{La}, \text{Fe})_2(\text{Si}, \text{B}, \text{Al})_2(\text{O}, \text{OH}, \text{F})_{13}$	http://www.mindat.org/min-8136.html
	Penina	$(\text{Mg}, \text{Fe}^{2+})_2\text{Al}(\text{OH})_2\text{AlSi}_2\text{O}_{10}$	http://www.mindat.org/min-9252.html
	Cinoclora	$(\text{Mg}, \text{Fe}^{2+})_2\text{Al}(\text{OH})_2\text{AlSi}_2\text{O}_{10}$	http://www.mindat.org/min-1070.html
	Sausurita		http://www.mindat.org/min-26894.html
	Mosandrita	$\text{Ti}(\text{Ca}, \text{Na})_2\text{Ca}_2(\text{Si}_2\text{O}_7)_2(\text{H}_2\text{O}, \text{OH}, \text{F})_4 \cdot 1\text{H}_2\text{O}$	http://www.mindat.org/min-2787.html
Argilominerais	Caulinita	$\text{Al}_2\text{Si}_2\text{O}_5(\text{OH})_4$	http://www.mindat.org/min-2156.html
	Montmorilonita	$(\text{Na}, \text{Ca})_{0.3-0.5}(\text{Al}, \text{Mg})_2\text{Si}_4\text{O}_{10}(\text{OH})_2 \cdot n\text{H}_2\text{O}$	http://www.mindat.org/min-2821.html
	Halcisita	$\text{Al}_2\text{Si}_2\text{O}_5(\text{OH})_4$	http://www.mindat.org/min-1808.html
	Esmeclita	$(\text{Na}, \text{Ca})\text{Al}(\text{Si}, \text{Al})_2\text{O}_7(\text{OH})_2 \cdot 2(\text{H}_2\text{O})$	http://www.mindat.org/min-11119.html
	Ilita	$(\text{K}, \text{H}_2\text{O})\text{Al}_2(\text{Mg}, \text{Fe})_2(\text{Si}, \text{Al})_4\text{O}_{10}(\text{OH})_2 \cdot (\text{H}_2\text{O})$	http://www.mindat.org/min-2011.html
	Vermiculita	$(\text{Mg}, \text{Fe}, \text{Al})_2(\text{Si}, \text{Al})_4\text{O}_{10}(\text{OH})_2 \cdot 4\text{H}_2\text{O}$	http://www.mindat.org/min-4170.html
Oxidos	Zircão	ZrSiO_4	http://www.mindat.org/min-4421.html
	Bastnaesita	ZrO_2	http://www.mindat.org/min-480.html
	Perovskita	CaTiO_3	http://www.mindat.org/min-3166.html
	Titanita	$\text{CaTiO}_3\text{SiO}_4$	http://www.mindat.org/min-3977.html
	Uraninita	UO_2	http://www.mindat.org/min-4102.html
	Hemabita	Fe_2O_3	http://www.mindat.org/min-1856.html
	Ilmenita	$\text{Fe}^{2+}\text{TiO}_3$	http://www.mindat.org/min-2013.html
	Rutilo	TiO_2	http://www.mindat.org/min-3486.html
	Corindon	Al_2O_3	http://www.mindat.org/min-1136.html
	Rubi	Al_2O_3	http://www.mindat.org/min-3473.html
	Safira	Al_2O_3	http://www.mindat.org/min-3529.html
	Cromita	FeCr_2O_4	http://www.mindat.org/min-1036.html
	Magnetita	Fe^3O_4	http://www.mindat.org/min-2538.html
	Cassiterita	SnO_2	http://www.mindat.org/min-917.html
	Pirrolusita	MnO_2	http://www.mindat.org/min-3318.html
	Cuprita	Cu_2O	http://www.mindat.org/min-1172.html
	Tantalita	$(\text{Fe}, \text{Mn})(\text{Ta}, \text{Nb})_2\text{O}_6$	http://www.mindat.org/min-3882.html
	Zincita	ZnO	http://www.mindat.org/min-4410.html
	Crocoíta	$\text{Pb}(\text{CrO}_4)$	http://www.mindat.org/min-1157.html
	Espinélio	MgAl_2O_4	http://www.mindat.org/min-3729.html
	Tenonita	Cu_2O	http://www.mindat.org/min-3912.html
	Valentinita	Sb_2O_3	http://www.mindat.org/min-4135.html
	Arsenolita	As_2O_3	http://www.mindat.org/min-294.html
	Plattnerita	PbO_2	http://www.mindat.org/min-3237.html
	Penclásio	MgO	http://www.mindat.org/min-3161.html
	Tantalita (Fe)	FeTa_2O_6	http://www.mindat.org/min-1530.html
	Tantalita (Mn)	MnTa_2O_6	http://www.mindat.org/min-2522.html
	Columbita (Niobita)	$(\text{Fe}, \text{Mn})(\text{Nb}, \text{Ta})_2\text{O}_6$	http://www.mindat.org/min-1112.html
	Pirocloro	$(\text{Ca}, \text{Na})_2\text{Nb}_2\text{O}_6(\text{OH}, \text{F})$	http://www.mindat.org/min-3316.html
	Leucocóxeno	$\text{Fe}^{2+}\text{TiO}_3$	http://www.mindat.org/min-6174.html
	Anatásio	TiO_2	http://www.mindat.org/min-213.html



continuação

Hidróxidos	Limonita	$\text{FeO(OH)} \cdot n\text{H}_2\text{O}$		http://www.mindat.org/min-2402.html
	Bauxita	Bauxita	Al(OH)_3	http://www.mindat.org/min-575.html
		Gibbsita	AlO(OH)	http://www.mindat.org/min-1689.html
		Diaspore	AlO(OH)	http://www.mindat.org/min-1285.html
		Boehmita	AlO(OH)	http://www.mindat.org/min-707.html
	Manganita	$\text{Mn}^{2+}\text{O(OH)}$	http://www.mindat.org/min-2519.html	
	Brucita	Mg(OH)_2	http://www.mindat.org/min-820.html	
	Goethita	$\text{Fe}^{2+}\text{O(OH)}$	http://www.mindat.org/min-1719.html	
	Psilomelano	$(\text{Ba}, \text{Mn})\text{Mn}_4\text{O}_5(\text{OH})_2$	http://www.mindat.org/min-3304.html	
	Carbonatos	Calcita	CaCO_3	http://www.mindat.org/min-859.html
Dolomita		$\text{CaMg}(\text{CO}_3)_2$	http://www.mindat.org/min-1304.html	
Aragonita		CaCO_3	http://www.mindat.org/min-307.html	
Siderita		FeCO_3	http://www.mindat.org/min-3647.html	
Malaquita		$\text{Cu}_2(\text{OH})_2\text{CO}_3$	http://www.mindat.org/min-2550.html	
Estroncionita		SrCO_3	http://www.mindat.org/min-3805.html	
Witherita		BaCO_3	http://www.mindat.org/min-4299.html	
Carussita		PbCO_3	http://www.mindat.org/min-934.html	
Azurita		$\text{Cu}_3(\text{OH})(\text{CO}_3)_2$	http://www.mindat.org/min-447.html	
Magnesita		MgCO_3	http://www.mindat.org/min-2462.html	
Rodocrosita		MnCO_3	http://www.mindat.org/min-3406.html	
Ankerita		$\text{Ca}(\text{Fe}^{2+}, \text{Mg}, \text{Mn}^{2+})\text{CO}_3$	http://www.mindat.org/min-239.html	
Bartolcalcita		$\text{BaCa}(\text{CO}_3)_2$	http://www.mindat.org/min-466.html	
Bismutita		$(\text{BiO})_2\text{CO}_3$	http://www.mindat.org/min-687.html	
Smithsonita		ZnCO_3	http://www.mindat.org/min-3688.html	
Bastnaesita		$(\text{Ca}, \text{La})\text{F}(\text{CO}_3)$	http://www.mindat.org/min-563.html	
Synchysite		$\text{Ba}, \text{Ca} (\text{Ce}, \text{La}, \text{Nd}, \text{Y}, \text{Ga})\text{F}(\text{CO}_3)_2$	http://www.mindat.org/min-32183.html	
Sulfatos		Banita	BaSO_4	http://www.mindat.org/min-549.html
	Gipsita	$\text{CaSO}_4 \cdot 2\text{H}_2\text{O}$	http://www.mindat.org/min-1784.html	
	Anidrita	CaSO_4	http://www.mindat.org/min-234.html	
	Angelita	CaSO_4	http://www.mindat.org/min-232.html	
	Calcanhita	$\text{Cu}_2\text{SO}_4 \cdot 5\text{H}_2\text{O}$	http://www.mindat.org/min-959.html	
	Celestita	SrSO_4	http://www.mindat.org/min-927.html	
	Anglesita	PbSO_4	http://www.mindat.org/min-233.html	
	Alunita	$\text{KAl}_3(\text{OH})_3(\text{SO}_4)_2$	http://www.mindat.org/min-161.html	
	Aluminita	$\text{Al}_2(\text{OH})_4\text{SO}_4 \cdot 7\text{H}_2\text{O}$	http://www.mindat.org/min-154.html	
	Antlerita	$\text{Cu}_3(\text{OH})_4\text{SO}_4$	http://www.mindat.org/min-268.html	
Sulfetos	Pirita	FeS_2	http://www.mindat.org/min-3314.html	
	Calcopirita	CuFeS_2	http://www.mindat.org/min-955.html	
	Galena	PbS	http://www.mindat.org/min-1641.html	
	Esfalerita	ZnS	http://www.mindat.org/min-3727.html	
	Cinábrio	HgS	http://www.mindat.org/min-1052.html	
	Bornita	Cu_5FeS_4	http://www.mindat.org/min-727.html	
	Molibdenita	MoS_2	http://www.mindat.org/min-2746.html	
	Estibnita	Sb_2S_3	http://www.mindat.org/min-3782.html	
	Argentita	Ag_2S	http://www.mindat.org/min-10.html	
	Covellita	CuS	http://www.mindat.org/min-1144.html	
	Calcocita	Cu_2S	http://www.mindat.org/min-962.html	
	Bismutinita	Bi_2S_3	http://www.mindat.org/min-686.html	
	Pirotita	Fe_9S_8	http://www.mindat.org/min-3328.html	
	Pentlandita	$(\text{Fe}, \text{Ni})_9\text{S}_8$	http://www.mindat.org/min-3155.html	
	Arsenopirita	FeAsS	http://www.mindat.org/min-305.html	
	Cobaltita	CoAsS	http://www.mindat.org/min-1083.html	
	Luzonita	Cu_2AsS_4	http://www.mindat.org/min-2461.html	
	Germanita	$\text{Cu}_{12}\text{Fe}_7\text{Ge}_2\text{S}_{15}$	http://www.mindat.org/min-1681.html	
	Estanita	$\text{Cu}_2(\text{Fe}, \text{Zn})\text{SnS}_4$	http://www.mindat.org/min-3747.html	
	Cubanita	CuFe_2S_3	http://www.mindat.org/min-1168.html	
	Braggita	$(\text{Pt}, \text{Pd}, \text{Ni})\text{S}$	http://www.mindat.org/min-751.html	
	Laurita	RuS_2	http://www.mindat.org/min-2344.html	
	Argentopirita	AgFe_2S_3	http://www.mindat.org/min-299.html	
	Millerita	NiS	http://www.mindat.org/min-2711.html	
	Alabandita	Mn^{2+}S	http://www.mindat.org/min-89.html	
	Bismutinita	Bi_2S_3	http://www.mindat.org/min-686.html	
	Marcasita	FeS_2	http://www.mindat.org/min-2571.html	
	Proustita	Ag_3AsS_3	http://www.mindat.org/min-3294.html	
	Cosalita	$\text{Pb}_2\text{Bi}_2\text{S}_5$	http://www.mindat.org/min-1139.html	
	Patronita	VS_4	http://www.mindat.org/min-3131.html	
Digenita	Cu_4S_5	http://www.mindat.org/min-1291.html		
Parsita	$\text{Ca}(\text{REE})_2(\text{CO}_3)_2\text{F}_2$	http://www.mindat.org/min-7403.html		



continuação

Fosfatos	Monazita	$(Ce, La, Sm, Nd, Th)PO_4$	http://www.mindat.org/min-2750.html
	Apatita	$Ca_5(F, Cl, OH)(PO_4)_3$	http://www.mindat.org/min-29229.html
	Fluor-apatita	$Ca_5F(PO_4)_3$	http://www.mindat.org/min-1572.html
	Clor-apatita	$Ca_5Cl(PO_4)_3$	http://www.mindat.org/min-1013.html
	Turquesa	$Cu_2(Al, Fe^{2+})_2(OH)_2(PO_4)_2 \cdot 4H_2O$	http://www.mindat.org/min-4060.html
	Vivianita	$Fe^{2+}_3(PO_4)_2 \cdot 8H_2O$	http://www.mindat.org/min-4194.html
	Litiofosfato	Li_3PO_4	http://www.mindat.org/min-2420.html
	Xenotima	$(Y, Yb, HREE)_2PO_4$	http://www.mindat.org/min-31871.html
	Lazulita	$(Mg, Fe^{2+})_3(OH)(PO_4)_2$	http://www.mindat.org/min-2356.html
	Cometita	$Cu_3(OH)_2PO_4$	http://www.mindat.org/min-1131.html
	Calcosidrita	$Cu_2(Fe^{2+}, Al)_2(OH)_4(PO_4)_2 \cdot 4H_2O$	http://www.mindat.org/min-945.html
	Autunita	$Ca(UO_2)_2(PO_4)_2 \cdot 11H_2O$	http://www.mindat.org/min-433.html
Carbonato-Fluorapatita	$Ca_5(F, O)(PO_4, CO_3)_3$	http://www.mindat.org/min-895.html	
Halóides	Halita	NaCl	http://www.mindat.org/min-1804.html
	Fluorita	CaF ₂	http://www.mindat.org/min-1576.html
	Silvita	KCl	http://www.mindat.org/min-3850.html
	Carnalita	KMgCl ₃ · 6H ₂ O	http://www.mindat.org/min-906.html
	Sal amoníaco	NH ₄ Cl	http://www.mindat.org/min-3507.html
Elementos Nativos	Cobre	Cu	http://www.mindat.org/min-1209.html
	Ouro	Au	http://www.mindat.org/min-1720.html
	Prata	Ag	http://www.mindat.org/min-3664.html
	Eruxofre	S	http://www.mindat.org/min-3664.html
	Gráfica	C	http://www.mindat.org/min-1740.html
	Diamante	C	http://www.mindat.org/min-1282.html
	Platina	Pt	http://www.mindat.org/min-3236.html
	Bismuto	Bi	http://www.mindat.org/min-684.html
	Ferro	Fe	http://www.mindat.org/min-2047.html
	Alumínio	Al	http://www.mindat.org/min-107.html
	Arsênio	As	http://www.mindat.org/min-357.html
	Cádmio	Cd	http://www.mindat.org/min-842.html
	Níquel	Ni	http://www.mindat.org/min-2895.html
	Zinco	Zn	http://www.mindat.org/min-4405.html
Boratos	Borax	Na ₂ B ₄ O ₇ · 10H ₂ O	http://www.mindat.org/min-722.html
Tungstatos	Wolframita	$(Fe^{2+}WO_4 \text{ to } (Mn^{2+})WO_4$	http://www.mindat.org/min-4305.html
	Scheelita	CaWO ₄	http://www.mindat.org/min-3560.html
Molibdatos	Wulfenita	PbMoO ₄	http://www.mindat.org/min-4322.html
Vanadatos	Vanadinita	Pb ₅ Cl(VO ₄) ₃	http://www.mindat.org/min-4139.html
Nitratos	Salitre	KNO ₃	http://www.mindat.org/min-2917.html
	Nitrobarita	Ba(NO ₃) ₂	http://www.mindat.org/min-2918.html
	Nitrocalcita	Ca(NO ₃) ₂ · 4H ₂ O	http://www.mindat.org/min-2919.html
	Nitromagnesita	Mg(NO ₃) ₂ · 6H ₂ O	http://www.mindat.org/min-2920.html
	Nitratina	NaNO ₃	http://www.mindat.org/min-2916.html
	Silverita	(Au, Ag) ₂ Te ₄	http://www.mindat.org/min-3849.html



Classificação de rochas ígneas plutônicas

Rocha Ígnea Plutônica	Rocha Granítica	Tronjhemito (Tonalito com M < 10%) Tonalito Plagiogranito Granodiorito Granito	Sienogranito Monzogranito Monzo-Sienogranito
		Álcali-Feldspato Granito Alaskito (Álcali-Feldspato Granito com M < 10%) Rocha Granítica rica em quartzo Pegmatito	
	Rocha Sienítica	Sienito Quartzo Sienito Álcali-Feldspato Sienito Quartzo Álcali-Feldspato Sienito Monzo-Sienito com Feldspatóides Álcali-Feldspato Sienito com Feldspatóides Sienito com Feldspatóides	Nefelina-Sienito Malignito (nefelina sienito máfico)
	Rocha Monzonítica	Monzonito Quartzo Monzonito	
	Rocha Diorítica	Diorito Quartzo Diorito Granodiorito Monzodiorito Quartzo Monzodiorito	
	Rocha Gabróica	Gabro Monzogabro Essexito (Nefelina Monzogabro) Quartzo Gabro Gabronorito Norito Troctólito	

Observação: Usar lista de minerais com uma a três opções de prefixos de minerais para definir o nome completo da rocha.



Continuação

Rocha Anortosítica	Anortosito			
Rocha Ultramáfica	Peridotito	Dunito Piroxênio-Peridotito	Espinélio-Dunito Harzburgito Lherzolito	Granada Lherzolito Espinélio Lherzolito Plagioclásio Lherzolito
			Wehrlito	
		Piroxênio-Anfibólio Peridotito Anfibólio-Peridotito Plagioclásio-Peridotito Flogopita-Peridotito Granada-Peridotito		
	Piroxenito	Piroxenito	Ortopiroxenito Websterito Clinopiroxenito	
		Olivina Piroxenito	Olivina-Ortopiroxenito Olivina-Websterito Olivina-Clinopiroxenito	
		Olivina-Anfibólio Piroxenito Anfibólio Piroxenito Plagioclásio Piroxenito Anfibólio Websterito Plagioclásio Websterito Flogopita Piroxenito		
	Hornblendito (Anfibolito)	Olivina-Hornblendito (Anfibolito) Olivina-Piroxênio-Hornblendito Piroxênio Hornblendito (Anfibolito) Hornblendito (Anfibolito)		
Rocha Foialítica	Foialito			
Rocha Foidolítica	Foidolito			
Rocha Carbonatítica	Carbonatito Calcítico ou Cálcio Carbonatito Carbonatito Dolomítico ou Magnésio Carbonatito Carbonatito Ferrífero ou Ferro Carbonatito Natro Carbonatito			

Observação: Usar lista de minerais com uma a três opções de prefixos de minerais para definir o nome completo da rocha.

Classificação de rochas ígneas vulcânicas e sub-vulcânicas

Rocha Ígnea Vulcânica e Subvulcânica	Rocha Riolitica	Riolito Álcali-Feldspato Riolito Microgranito Aplito
	Rocha Dacítica	Dacito Riodacito Traqui-Dacito
	Rocha Traquítica	Traquito Quartzo Traquito Quartzo Álcali-Feldspato Traquito Álcali-Feldspato Traquito Álcali-Feldspato Traquito com Feldspatóides Quartzo Latito Traquito com Feldspatóides Latito Latito com Feldspatóides
	Rocha Andesítica	Andesito Andesito basáltico Andesito com Feldspatóides Traqui-Andesito Traqui-Andesito basáltico Adakito (andesito rico em Mg)
	Rocha Basáltica	Basalto Microgabro Diabásio Basalto andesítico Traqui-Basalto Basalto Picrítico ou Picro-Basalto
	Rocha shoshonítica	Shoshonito Latito
	Rocha Fonolítica	Fonolito Fonolito tefrítico ou Tetri-Fonolito Tingualto

Observação: Usar lista de minerais com uma a três opções de prefixos de minerais para definir o nome da rocha.



continuação

Rocha Ígnea Vulcânica e Subvulcânica	Rocha Leucítica	Leucítico	
	Rocha Nefelinítica	Nefelinito Nefelinito Fonolítico Ejolito (Nefelinito)	
	Rocha Melilitica	Melilitito	
	Rocha Tefrítica	Tefrito (sem ou com < 10% Olivina) Tefrito fonolítico ou Fono-Tefrito (< 10% Olivina) Basanita fonolítico (> 10 % Olivina e com leucita) Basanita (> 10 % Olivina)	
	Rocha Picrítica	Picrito	
	Rocha Komatítica	Komatito	
	Rocha Foidítica	Foidito Foidito fonolítico Foidito basanítico Foidito tefrítico	
	Rocha Boninítica	Boninito (andesito rico em MgO)	
	Rocha Kimberlítica	Kimberlito	
	Rocha Lamproítica	Lampróito	Minette Vogesito Kersantito Spessartito Sannaito Camptonito

Observação: Usar lista de minerais com uma a três opções de prefixos de minerais para definir o nome da rocha.



Classificação de rochas metamórficas

Lista de escolha de no máximo 3 minerais para compor nome de rochas

Mineral 1 - Mineral 2 - Mineral 3 Nome da rocha (ISM)

Protólito Ígneo	Plutônico	Rocha Metagranítica	Meta-tronhjemito Meta-tonalito Meta-granito	Meta-sienogranito Meta-monzogranito Meta-monzo-sienogranito Meta-granito rico em quartzo
			Álcali-Feldspato Meta-granito Meta-laskito	
		Rocha Metasienítica	Meta-sienito Meta-quartzo sienito Álcali-Feldspato Meta-sienito Quartzo Álcali-Feldspato Meta-sienito nefelina Meta-sienito Meta-monzo-sienito	
		Rocha Metamonzonítica	Meta-monzonito Meta-quartzo monzonito	
		Rocha Metadiorítica	Meta-diorito Meta-quartzo diorito Meta-grandiorito Meta-monzodiorito Meta-quartzo monzodiorito	
		Rocha Metagabroica	Meta-gabro Meta-monzogabro Meta-gabronorito Meta-norito Meta-troctolito	
		Rocha Metanortosítica	Meta-anortosito	

continuação

Rocha Metaultramáfica (Metaultrabásica)	Meta-peridotito <i>Escolher minerais da lista para compor</i>	Meta-dunito Piroxênio-Meta-peridotito	Espinélio Meta-dunito Meta-harzburgito Meta-lherzolitó	Granada Meta-lherzolitó Espinélio Meta-lherzolitó Plagioclásio Meta-lherzolitó
Rocha Meta-ultramáfica (metaultrabásica)		Piroxênio-Anfibólio Meta-peridotito Anfibólio Meta-peridotito Plagioclásio Meta-peridotito Flogopita Meta-peridotito Granada Meta-peridotito	Meta-wahrítio	
	Meta-peridotito serpentizado			
	Meta-piroxenito	Meta-ortopiroxenito Meta-websterito Meta-clinopiroxenito Olivina Meta-piroxenito	Olivina Meta-ortopiroxenito Olivina Meta-websterito Olivina Meta-clinopiroxenito	
	Meta-piroxenito serpentizado			
	Meta-ultrabásito			
	Meta-hornblendito (Antibolito)	<i>Escolher minerais da lista para</i>		
Rocha Meta-foidolítica	Meta-foidolito	<i>Escolher minerais da lista para</i>		
Rocha Meta-melilitica	Meta-melilitolito	<i>Escolher minerais da lista para</i>		
Rocha Meta-carbonatítica	Meta-carbonatito calcítico ou cálcio Meta-carbonatito dolomítico ou magnésio Meta-carbonatito ferrífero ou ferro meta-Natro Meta-carbonatito			
Rocha Meta-lamproítica	Meta-lamproítio			



continuação

Protólito Vulcânico e Sub-Vulcânico	Rocha Meta-riolítica	Meta-riolito Alcali-Feldspato Meta-riolito Meta-microgranito Meta-aplito	
	Rocha Meta-dacítica	Meta-dacito Meta-riodacito Meta-traqui-dacito	
	Rocha Meta-traquítica	Meta-traquito (Q < 20%) Quartzo Meta-traquito Quartzo Alcali-Feldspato Meta-traquito Alcali-Feldspato Meta-traquito Quartzo Meta-latito Meta-latito	
Vulcânico e Sub-Vulcânico	Rocha Meta-andesítica	Meta-andesito Meta-andesito basáltico Meta-andesito com Feldspatóides Meta-traqui-andesito Meta-traqui-andesito basáltico Meta-adakito	
	Rocha Meta-basáltica	Meta-basalto Olivina Meta-basalto Meta-microgabro Meta-diabásio Meta-basalto andesítico Meta-traqui-basalto Meta-basalto picritico Meta-picro-basalto Meta-basito	
	Rocha Meta-shoshonítica	Meta-shoshonito Meta-latito	
	Rocha Metafonolítica	Meta-fonolito Meta-fonolito tefritico Meta-tefrifonolito	
	Rocha Meta-nefelinitica	Meta-nefelinito (Ejolito) Meta-nefelinito fonolítico	
	Rocha Meta-tefritica	Meta-Tefrito (< 10% Olivina) Meta-Tefrito fonolítico ou Fono-Tefrito (< 10% Olivina) Meta-Basanito Fonolítico (> 10 % Olivina) Meta-Basanito (> 10 % Olivina)	
	Rocha Meta-picritica	Meta-picrito	
	Rocha Meta-ultramáfica	Rocha Meta-komatítica	Meta-komatito
	Rocha Meta-foidítica	Meta-foidito Meta-foidito fonolítico Meta-foidito basáltico Meta-foidito tefritico	
	Rocha Meta-boninitica	Meta-boninito	
	Meta-vulcânica máfica		
	Meta-vulcânica félsica		



continuação

Protólito Vulcanoclástico	Rocha Metavulcanoclástica (< 25% de fragmentos piroclásticos)	Rocha Metavulcanoclástica	Meta-conglomerado vulcanoclástico Brecha metavulcanoclástica Meta-arenito vulcanoclástico Meta-argilito ou Meta-lamito vulcanoclástico
	Rocha Metatuffíca (25 a 75% de fragmentos piroclásticos)	Rocha Metasedimentar tufácea	Meta-conglomerado tufáceo Brecha metatufácea Meta-conglomerado tufáceo meta-arenito tufáceo Meta-argilito ou Meta-lamito tufáceo
	Rochas Metapiroclástica (> 75% de fragmentos piroclásticos)	Rocha Metapiroclástica	Meta-aglomerado ou Brecha piroclástica (> 64 mm) Meta-brecha-tufo Meta-lapillito (> 2 mm e < 64 mm) Meta-lapilli tufo Meta-tufo (< 2 mm)

continuação

Protólito Sedimentar Clástico	Meta-conglomerado	Meta-ortoconglomerado Meta-paraconglomerado Meta-microconglomerado Meta-conglomerado Oligomítico Meta-conglomerado Polimítico Meta-conglomerado intraformacional Meta-conglomerado extraformacional
	Meta-arenito	Meta-arenito Feldspático Meta-arenito Arcoseano
	Meta-arcóseo	
	Meta-subarcósio	
	Meta-grauvaca	
	Meta-pelito	Metasiltito Metarritmito Meta-argilito Meta-lamito Metadolomito
Protólito Sedimentar Químico	Meta-carbonato	Meta-calcário Meta-calcário dolomítico Metac-alcário calcítico Meta-dolomito
	Metasedimento	
	Calciosilicática	
	Metachert	



continuação

Ardósia			
Filito	Filito Filito grafitoso Filito calcítico		Escolher minerais da lista para compor
Xisto	Xisto de baixo grau (Facies Xisto verde)	Mica Xisto Xisto Xisto calciossilcático Xisto carbonático Xisto carbonoso Xisto feldspático Xisto grafitoso Xisto máfico Xisto magnésiano Xisto milonítico Xisto quartzo-feldspático Xisto quartzoso Xisto ultramáfico	Escolher minerais da lista para compor nome
	Xisto de médio grau (Facies Anfibolito)	Xisto	Escolher minerais da lista para compor nome
	Xisto de alto grau (Facies Granulito)	Xisto	Escolher minerais da lista para compor nome
	Xisto Azul	Xisto	Escolher minerais da lista para compor nome
Quartzito		Escolher minerais da lista para compor nome Quartzito ferruginoso	
Calciossilcática	Metamarga		
Mármore	Mármore calcítico Mármore dolomítico		
Gnaisse	Paragnaisse Ortognaisse		Escolher minerais da lista para compor Escolher minerais da lista para compor
Migmatito	Migmatito estromatítico Migmatito <i>schleiren</i> Migmatito nebulítico		Escolher minerais da lista para compor Escolher minerais da lista para compor Escolher minerais da lista para compor
Granulito Félsico			
Granulito Máfico			
Kinzigito			

**continuação**

Anfibolito (Hornblendito)	Escolher minerais da lista para compor nome	
Granulito de Protólito Sedimentar	Xisto	Escolher minerais da lista para compor
	Gnaisse	Escolher minerais da lista para compor
Granulito de Protólito Ígneo (Rocha	Rocha Charnockítica	Enderbitó
		Chamo-enderbitó
		Charnockito
		Álcali-Feldspato Charnockito
		Piroxênio-Álcali-Feldspato Sienito
		Piroxênio Sienito
		Piroxênio-Quartzo Sienito
		Mangerito
		Quartzo-Mangerito
		Jotunito
Quartzo-Jotunito		
Eclogito	Escolher minerais da lista para compor nome	
Hornfels (rochas de metamorfismo de contato)	Anfibólio Hornfels	
	Hornfels	
	Piroxênio Hornfels	
	Plagioclásio-Epidoto-Anfibólio Hornfels	
Rochas Cataclásticas	Protocataclasito	
	Cataclasito	
	Ultracataclasito	
	Gouge (farinha) de Falha	
	Brecha de Falha	
	Microbrecha de Falha	
Pseudotaquilito		
Rochas Miloníticas	Protomilonito	
	Filonito	
	Milonito	
	Ultramilonito	
	Blastomilonito	
Rochas Metassomáticas ou Hidrotermais	Greisen	
	Escarnito	
	Turmalinito	
	Actinolito	
	Tremolítico	
	Esteatito	
	Serpentinito	
	Formação Ferrífera Bandada (BIF)	
	Itabirito	
Magnetítico		



Classificação de rochas sedimentares e sedimentos clásticos e vulcanoclásticos

Rocha Sedimentar	Rocha Sedimentar Clástica	Conglomerado	Ortoconglomerado Paraconglomerado Conglomerado Oligomítico Conglomerado Polimítico Conglomerado intraformacional Conglomerado extraformacional
		Brecha Diamictito Turbidito Tempestito Tilito Arenito	Arenito Arenito fino Arenito grosso Arenito médio Arenito feldspático Arenito lítico Arenito quartzoso Arenito conglomerático Arenito arcossiano
	Siltito Argilito Folhelho Ritmito Varvito Marga Lamito Lamito argilo-arenoso Lamito Argiloso Pelito Lutito Grauvaca		Grauvaca quartzosa Grauvaca feldspática Grauvaca lítica
	Lamito conglomerático Argilito conglomerático Tempestito Turbidito		

continuação

Rocha Sedimentar	Rocha Sedimentar Química	Rocha Carbonática	Calcarolo Calcário Calcário calcítico Calcário calcítico compacto Calcário calcítico estruturado Calcário calcítico agregado Calcário calcítico granular Calcário calcítico puro Calcário calcítico impuro Calcário dolomítico Calcário dolomítico compacto Calcário dolomítico granular Calcário dolomítico estruturado Calcário dolomítico agregado Calcário dolomítico puro Calcário dolomítico impuro Calcário oncolítico Calcário micro oncolítico Calcário oolítico Calcário pisolítico Dolomito Dolomito micro oncolítico Dolomito oncolítico Dolomito oolítico Dolomito pisolítico Dolomito puro Dolomito impuro Espirito calcítico Espirito dolomítico Grauvaca calcítica Intraesparto Intramicro Lamito calcítico Micro calcítico Micro dolomítico Microesparto calcítico Microesparto dolomítico Oosparto Oomicrito Pseudo esparto dolomítico



continuação

Rocha Sedimentar	Rocha Sedimentar Química	Chert	Chert Chert com opala Jasper Silex Agata
		Rocha Fosfática	Fosforito compacto Fosforito granular Fosforito agregado Fosforito oolítico Fosforito pisóide Fosforito oncolítico Fosforito microoncolítico
		Rocha Ferruginosa	Grauvaca ferruginosa Rocha ferruginosa agregada Rocha ferruginosa compacta Rocha ferruginosa granular Rocha ferruginosa microoncolítica Rocha ferruginosa oncolítica Rocha ferruginosa oolítica Rocha ferruginosa pisóide Formação Ferrifera Bandada Arenito ferruginoso Siltito ferruginoso Argilito ferruginoso
		Evaporitos (Sais não carbonáticos)	Anidrita Barita Borax Gipsita compacta Gipsita granular Halita Polihalita Silvita

continuação

Rocha Sedimentar	Rocha Sedimentar Clastoquímica	Calcarenito Doloarenito Calcissilito Calclutito Grauvaca gipsítica Lamito ferruginoso Lamito fosfático Lamito gipsítico Argilito ferruginoso Argilito gipsítico Argilito gipsítico Argilito carbonoso Siltito carbonoso Folhelho carbonático Grauvaca fosfática Arcóslito carbonático Arcóslito gipsítico Lamito dolomítico Lamito Calcítico Grauvaca dolomítica	
Rocha Sedimentar	Rocha Sedimentar Bioclástica	Radiolarito	
Rocha Sedimentar	Rocha Sedimentar Biogênica	Lamito oleoso "Xisto" Betuminoso Folhelho com matéria orgânica Folhelho negro Pelito carbonoso Folhelho carbonoso Calcário Calcítico Fossilífero Calcário Dolomítico Fossilífero Bioesparito Biomicrito Pelmicrito Biopelsparito Biopelmicrito Pelsparito Pelmicrito Arenito Asfáltico Carvão impuro Carvão	linhito Carvão betuminoso antracito linhito sapropélico Carvão sapropélico Sapropelito



continuação

Sedimento Clástico	Areia	Areia muito grossa Areia grossa Areia média Areia fina Areia muito fina
	Argila Bloco Grânulo Matacão Seixo Silte	Silte grosso Silte médio Silte fino Silte muito fino
Sedimento Clastoquímico	Areia calcítica Areia ferruginosa Areia fosfática Cascalho calcítico Cascalho dolomítico Cascalho ferruginoso Cascalho fosfático Lama calcítica Lama ferruginosa Lama fosfática Turfa Turfa arenosa Turfa argilosa	
Sedimento Vulcanoclástico	Cascalho ou vulcanoclástico Areia vulcanoclástica Argila ou Lama vulcanoclástica	
	Cascalho tufáceo Areia tufácea Lama tufácea	
Sedimento Piroclástico (Tefra)	Bloco/Bomba Tefra (> 64 mm) Brecha-Cinza Lápilli-Tefra (> 2 mm e < 64 mm) Lápilli-Cinza Cinza vulcânica (< 2 mm)	



Classificação de rochas vulcanoclásticas

Rocha Vulcanoclástica	Conglomerado vulcanoclástico Brecha vulcanoclástica Arenito vulcanoclástico Argillito vulcanoclástico Lamito vulcanoclástico
Rocha sedimentar tufácea	Conglomerado tufáceo Brecha tufácea Conglomerado tufáceo Arenito tufáceo Argillito ou Lamito tufáceo
Rocha Piroclástica	Aglomerado ou Brecha piroclástica (> 64 mm) Lapillito (> 2 mm e < 64 mm) Lápilli Tufo Tufo (< 2 mm) Ignimbrito Brecha-Tufo



Minerais qualificadores e quantificadores usados para compor nome de rochas ígneas, sedimentares e metamórficas

Lista de escolha de no máximo 3 minerais para compor nome de rochas

Mineral 1 - Mineral 2 - Mineral 3 Nome da rocha (ISM)

Água Marinha
Alabandita
Allanita
Aluminita
Alunita
Amber
Andalusita
Anfibólio

Actinolita
Antofilita
Cummingtonita
Edenita
Gedrita
Grunerita
Hastingsita
Homblenda
Kaersutita
Pargasita
Pirofilita
Richterita
Riebeckita
Tremolita
Tschemmakita

Angelita
Anglesita
Anidrita
Ankerita
Antlerita
Apatita
Aragonita
Argentita (Acantita)
Argentopirita
Arsenolita
Arsenopirita
Astrofilita
Autunita
Azurita
Baddeleyita
Barita
Baritocalcita
Bastnaesita
Bauxita

Gibbsita
Boehmita
Diaspero

Berilo
Bismutinita
Bismutita
Borax
Bornita
Braggita
Brucita
Calcanita
Calcita
Calcocita
Calcopirita
Calcosiderita
Carbonato-Fluorapatita
Carnalita
Cassiterita
Caulinita
Celestita
Cerussita
Cianita
Cinábrio
Clorapatita
Cloritóide
Cobaltita
Cordierita
Coríndon
Cornelita
Cosaltita
Covellita
Crocoita
Cromita
Cubanita
Cuprita
Diamante
Digenita
Dolomita
Epidoto

Clinozoisita
Epidoto
Zoisita

Escapolita
Esfalerita
Esmeclita
Esmeralda
Espinelio



Continuação

Estanita		Marcasita	
Estauroлита		Melilita	
Estibnita		Mica	Anita
Estilpnomelano			Biotita
Estrontianita			Celadonita
Euclásio			Clorita
Eudialita			Flogopita
Feldspato Alcalino	Ortoclásio		Fuchcita
	Sanidina		Glaucionita
	Adulária		Lepidolita
	Microclíneo		Margarita
	Anortoclásio		Muscovita
	Amazonita		Paragonita
			Siderofilita
Fluorapatita		Millerita	
Fluorita		Molibdenita	
Gadolinita		Monazita	
Galena		Montmorilonita	
Garnierita		Nefelina	
Germanita		Columbita (Niobita)	
Gipsita		Nitobarita	
Glaucofana		Nitratina	
Goethita		Nitrocalcita	
Grafito		Nitromagnesita	
Granada	Almandina	Olivina	Forsterita
	Andradita		Faialita
	Espessartita		Tefroita
	Grossulária		
	Piropo	Parisita	
	Uvarovita	Patronita	
		Pentlandita	
Halita		Periclásio	
Haloisita		Perovskita	
Hematita		Petalita	
Ilita		Pirita	
Ilmenita		Pirocloro	
Caenita		Pirolusita	
Lamprofilita		Piroxênio	Ortopiroxênio
Laurita			Enstatita
Lawsonita			Bronzita
Lazulita			Hiperstênio
Lazurita			Salita
Leucita			Augita
Limonita			Aegirina
Litiofosfato			Aegirina-Augita
Luzonita			Diopsídio
Magnesita			Arfvedsonita
Malaquita			Pigeonita
Manganita			Jadeita



Continuação

	Clinopiroxênio	Hedenbergita	Siderita
		Onfacita	Sillimanita
		Ferrosalita	Silvanita
		Espodumênio	Silvita
Pirrotita			Smithsonita
Plagioclásio	Albita		Sodalita
	Oligoclásio		Synchysite
	Andesina		Talco
	Labradorita		Tantalita
	Bytownita		Tantalita (Fe)
	Anortita		Tantalita (Mn)
Platnerita			Tenorita
Prehnita			Torita
Proustita			Titanita
Psilomelano			Topázio
Pumpellyita			Turmalina
Quartzo	Ágata		Turquesa
	Ametista		Uraninita
	Calcedônia		Valentinita
	Citrino		Vanadinita
	Cristobalita		Vermiculita
	Jasper		Vesuvianita
	Onix		Vivianita
	Opala		Villemita
	Tridimita		Witherita
Rodocrosita			Wolframita
Rubi			Wollastonita
Rutilo			Wulferita
Safira			Xenotima
Safirina			Zeólita
Sal amoníaco			Zincita
Salite			Zircão
Scheelita			
Serpentina	Crisotilo		
	Lizardita		
	Antigorita		



Índice de cor para rochas ígneas em geral, cores de rochas e grau de intemperismo

Índice de Cor	Leucocrática (0-35% minerais máficos)
	Mesocrática (35-65% minerais máficos)
	Melanocrática (65-90% minerais máficos)
	Ultramelanocrática (90-100% minerais máficos)

Cores de Rochas	Azul
	Amarelo
	Bege
	Castanho
	Castanho-amarelado
	Cinza
	Cinza esverdeado
	Verde acizentado
	Creme
	Laranja
	Lilas
	Marrom
	Marrom claro
	Marrom escuro
	Ocre
	Preto
	Rosa
	Roxo
	Verde
	Vermelho

Grau de Intemperismo das rochas	Inalterada
	Levemente alterada
	Moderadamente alterada
	Muito alterada
	Completamente alterada
	Solo residual
	Solo orgânico
	Saprólito



Granulação (rochas ígneas) e granulometria (rochas sedimentares)

Granulação (Rochas Ígneas)	Fanerítica	Muito Grossa	> 16 mm
		Grossa	2 a 16 mm
		Média	0.25 a 0.2 mm
		Fina	0.032 a 0.25 mm
	Afanítica	Muito Fina	0.004 a 0.032 mm
		Criptocristalina	< 0.0004 mm
Granulometria (Rochas Sedimentares)	Matacão		> 256 mm
	Bloco		265 a 64 mm
	Seixo		64 a 4 mm
	Grânulo		4 a 2 mm
	Areia	Areia muito grossa	2 a 1 mm
		Areia grossa	1 a 0.5 mm
		Areia média	0.5 a 0.250 mm
		Areia fina	0.250 a 0.125 mm
		Areia muito fina	0.125 a 0.062 mm
	Silte	Silte grosso	0.062 a 0.031 mm
		Silte médio	0.031 a 0.016 mm
Silte fino		0.016 a 0.008 mm	
Silte muito fino		0.008 a 0.004 mm	
Argila	< 0.004 mm		

Tipologia Ígnea

Tipologia Ígnea	Toleítica	
	Cálcio-Alcalina	Cálcio-Alcalina Baixo K ₂ O
		Cálcio-Alcalina de Médio K ₂ O
		Cálcio-Alcalina de Alto K ₂ O
	Shoshonítica	
	Alcalina	
	Peralcalina	
	Meta-aluminosa	
	Fracamente Peraluminosa	
	Peraluminosa	



Cronologia, intensidade e tipologia de eventos metamórficos (graus metamórficos, tipos de metamorfismo e cronologia de eventos metamórficos)

Cronologia de eventos metamórficos	M1 M2 M3 M4	Escolher tipo e grau das listas abaixo)
Grau Metamórfico	Metamorfismo regional	Fácies Zeólita Fácies Prehnita-Pumpellyita Fácies Xisto Verde Fácies Anfibolito Fácies Granulito Fácies Xisto Azul Fácies Eclogito
	Metamorfismo de contato	Fácies Albita-Epidoto Hornfels Fácies Anfibólio Hornfels Fácies Piroxênio Hornfels
Tipos de Metamorfismo	Metamorfismo Regional (Dinamotermal) Metamorfismo Hidrotérmal Metamorfismo Impacto Metamorfismo Térmal (contato) Metamorfismo Dinâmico (zonas de cisalhamento)	



continuação

Estruturas	Estruturas Tectônicas	Dobra	Aberta (ângulo interflancos entre 70 e 120)
			<i>Angular</i>
			Anticlinal
			Anticlinório
			Antiforme
			Assimétrica
			Bainha
			Cerrada (ângulo interflancos entre 0 e 30)
			<i>Chevron</i>
			Cônica
			Desarmônica
			Dobra de arrasto
			Dobra parasita M
			Dobra parasita S
			Dobra parasita Z
			Dobra-Falha
			<i>Drag fold</i>
			em caixa
			em cúspide
			em Leque
			Fechada (ângulo interflancos entre 30 e 70)
			Harmônica
			Homoclinal
			Inclinada
			Intrafolial
			Inversa
			Isoclinal (ângulo interflancos de 0)
			<i>Kink Band</i>
			Monoclinal
			Normal
			Ptigmática
			Reclinada (em Chevron)
			Recumbente
			Simétrica
			Sinclinal
			Sinclinório
			Sinforme
			Suave (ângulo interflancos entre 120 e 180)
			Vertical



Estruturas tectono-metamórficas (foliações e lineações)

Estruturas	Estruturas Tectono-Metamórficas	Foliações	Clivagem
			Clivagem Ardosiana Clivagem de Crenulação Clivagem de Fratura Clivagem de Fratura Plano Axial Clivagem Plano Axial
		Xistosidade	Xistosidade Xistosidade de Crenulação Xistosidade de Transposição
		Bandamento	Bandamento Gnáissico Bandamento Composicional
		Foliação	Foliação Blastomilonítica Foliação Cataclástica Foliação Cataclástica C Foliação Cataclástica S Foliação de Crenulação Foliação de transposição Foliação Filonítica Foliação Gnáissica Foliação Milonítica Foliação Milonítica C Foliação Milonítica S Foliação Plano Axial Foliação Protomilonítica Foliação Ultramilonítica
		Banda de Cisalhamento	
Estruturas	Estruturas Tectono-Metamórficas	Lineações	
		<i>Boudin</i> Eixo de Dobra Eixos paralelos de crenulação Estrias de Atrito (<i>slickenside</i> de falha) Lineação de Cisalhamento Lineação de Crenulação Lineação de Estiramento Mineral Lineação de Intersecção Lineação Mineral Lineação Tipo b <i>Mullion</i> <i>Step</i> de Falha	



Estruturas Ígneas

Estruturas	Estruturas Ígneas
	Almofadada (<i>Pillow Lava</i>)
	Amigdaloidal
	Bandamento Magmático
	Bomba
	Brecha Magmática
	Cavidade Mirolítica
	Disjunção Colunar
	Em corda (<i>Pahoehoe</i>)
	Enclave Microgranular Félsico
	Enclave Microgranulare Máfico
	Foliação de Fluxo Magmático
	Lava tipo aa
	Maciça
	Púmice
	Vesicular
	Xenólito



Texturas Ígneas

Texturas ígneas	Tamanho dos Cristais	Afanítica Vítrea Fanerítica	Muito Grossa Grossa Média Fina Muito Fina
		Glomeroporfírica	
Morfologia, Tamanho e Forma dos Cristais	Granular		Granular Idiomórfica (Euédrica) Granular Hipidiomórfica (Subédrica) Granular Xenomórfica (Anédrica)
		Megaporfírica Porfírica Microporfírica Equigranular e Inequigranular	
Relação ou Sequência de Cristalização	Ofítica Subofítica Intersticial		Intergranular Intersertal
		Gráfica Micrográfica Granofílica Poiquilitica	
Reações entre Cristais e Líquido Magmático	Zoneamento entre minerais Borda (coroa) de reação ou Coronítica Corrosão (<i>embayment</i>) <i>Spinifex</i> Dentritica		
Reações no Estado Sólido	Mirmequitica (intercrescimento mirmequitico) Rapakivi Simplectito (intercrescimento simplectítico) Esferulítica Variolítica Perítica Microperítica Pseudomórfica		
Dinâmica dos magmas	Fluídica ou de fluxo magmático Traquitica Bandamento de Fluxo		
Densidade	Cumulática		Adcumulática Mesocumulática Orocumulática
Mistura (<i>Mixing</i>) de Magmas	Orbicular Rapakivi Anti-Rapakivi Ocelar Biotita acicular Anfibólio acicular Apatita acicular		



Texturas Metamórficas

Texturas Metamórficas	Antipertítica
	Coronítica
	Esquelética
	Granoblástica
	Grano-Lepidoblástica
	Grano-Nematoblástica
	Lepidoblástica
	Lepido-Nematoblástica
	Maciça
	Mesh
	Nematoblástica
	Nemato-Lepidoblástica
	Nodular
	Poiquiloblástica
	Poligonal (Mosaico)
	Porfiroblástica
	Porfiroclástica
	Sacaroidal
	Simplectítica
	Xenoblástica



Estruturas e texturas sedimentares

Estruturas Sedimentares

Acamamento
Bioturbação
Concreções (nódulos)
Diques clásticos
Embricamento de clastos (seixos)
Estalactites
Estalagmites
Esteiras Planares
Estilólitos
Estratificação
Estratificação (laminação) ondulada
Estratificação cruzada acanalada
Estratificação cruzada de grande porte
Estratificação cruzada de pequeno porte
Estratificação cruzada tabular
Estratificação cruzada tangencial
Estratificação cruzada tipo *Hummocky*
Estratificação *Flaser*
Estratificação gradacional
Estratificação gradacional inversa
Estratificação gradacional normal
Estratificação paralela (Plano-Paralela)
Estratificação rítmica
Estratificação Sigmoidal
Estrias glaciais
Estrutura convoluta
Estrutura de sobrecarga
Estrutura estromatolítica
Estruturas diagenéticas
Fendas de ressecamento
Gretas de contração (ressecação)
Injeção de argila
Laminação
Laminação cruzada
Laminação *Flaser*
Laminação paralela
Maciça
Marcas basais erosivas
Marcas de objetos
Marcas de onda assimétricas
Marcas de onda simétricas
Marcas de pingo de chuva
Marcas de sulcos
Pegada de Dinossauro
Sulcos erosivos
Turboglifos

Texturas Sedimentares

Bioclástica
Bioesparítica
Biomicrítica
Cimento calcítico
Cimento calcítico com fosseis
Esparito mal selecionado
Estromatolítica
Intraesparítica
Intramicrítica
Maciça
Matriz Biomicrítica cheia (> 50%)
Matriz Biomicrítica esparsa (10 a 50 %)
Matriz Bioesparítica
Matriz Micrítica (0 a 1%)
Matriz micrítica fossilífera (1 a 10%)
Oncolítica
Ooesparítica
Oolítica
Oomicrítica
Pellet (pelota)
Pelmicrítica
Pelsparítica
Pisolítica
Poros intergranulares



Cronologia de eventos tectônicos, tipos de zonas de cisalhamentos, indicadores cinemáticos, padrões de interferência de dobramentos, padrão de falhas e registro de atitudes de estruturas planares e lineares

Cronologia de eventos tectônicos	Cronologia de foliações	S1 S2 S3 S4 S5 S6 S7
	Cronologia de deformações	D1 D2 D3 D4 D5 D6 D7
Tipos de Zonas de Cisalhamento		Cavalgamentos (Nappes) Extensionais Transcorrentes Transpressionais Transtensionais
Indicadores cinemáticos		<i>Anfibólio Fish</i> Assimetria de dobra <i>Boudin</i> Cauda de recristalização Desvio de trajetória de foliação Estria e <i>Step</i> de falha Foliação Obliqua Foliações par SC Fragmentos escalonados <i>Mica Fish</i> Rotação de cristais inclusos em porfiroblastos Rotação de porfiroblastos <i>Velos sigmoidais Gash</i>
Padrão de Falhas	Anastomosada Circulares Degraus Escalonadas (en echeion) Estrutura em Flor negativa Estrutura em Flor positiva Paralelas Radiais Revezado	
Padrão de Interferência de dobramentos	Tipo 1: Domos e Bacias (ou caixa de ovos) Tipo 2: Meia Lua Tipo 3: Chamas	
Flancos de dobra	Flanco 1 Flanco 2	Azimute Mergulho Azimute Mergulho
Plano da Falha	Azimute Mergulho	
<i>Rake</i> ou <i>Pitch</i> de falha	Azimute Mergulho	
Foliação	Azimute Mergulho	
Lineação	Azimute Mergulho	



Tipos de intrusões ígneas

Tipos de Intrusões Ígneas

Batólito
Caldeira
Chaminé vulcânica
Conduto vulcânico
Cratera
Derrame de Lava
Diatrema
Dique
Dique anelar ou circular (*Ring Dyke*)
Dique corta dique (Sheeted Dyke Complex)
Dique e *Sill*
Dique radial
Domo de Lava
Enxame de diques (*Dyke Swarms*)
Enxame de diques paralelos (*Parallel Dyke Swarms*)
Enxame de diques radiais (*Radial Dyke Swarms*)
Enxame de diques-Sills (*Dyke-Sill Swarm*)
Facólito
Fluxo Piroclástico
Fumarola
Gêiser
Lacólito
Lopólito
Neck Vulcânico
Sill
Stock
Veio
Vênula



Geocronologia e Geologia Isotópica

Geocronologia	Método de Datação	Material Analisado	Água	Fóssil	Gás	Laterita	Mineral	Óleo	Rocha Total (RT)	Sedimento	Solo	Idade	Erro
	U-Pb (SHRIMP) U-Pb (DI, Convencional, TIMS) U-Pb (LA-ICPMS)						Escolher na lista de minerais		Escolher na lista de rochas ISM	Escolher na lista de classificação de sedimentos			
	Pb-Pb						Escolher na lista de minerais		Escolher na lista de rochas ISM	Escolher na lista de classificação de sedimentos			
	Rb-Sr						Escolher na lista de minerais		Escolher na lista de rochas ISM	Escolher na lista de classificação de sedimentos			
	K-Ar						Escolher na lista de minerais		Escolher na lista de rochas ISM	Escolher na lista de classificação de sedimentos			
	Ar-Ar						Escolher na lista de minerais		Escolher na lista de rochas ISM	Escolher na lista de classificação de sedimentos			
	Sm-Nd						Escolher na lista de minerais		Escolher na lista de rochas ISM	Escolher na lista de classificação de sedimentos		Idade Modelo TDM	Erro



continuação

Geocronologia	Método de Datação	Re-Os	Material Analisado	Idade	Erro
			Água Fóssil Gás Laterita Mineral Óleo Rocha Total (RT) Sedimento Solo	Escolher na lista de minerais Escolher na lista de rochas ISM Escolher na lista de classificação de sedimentos	
		Lu-Hf	Água Fóssil Gás Laterita Mineral Óleo Rocha Total (RT) Sedimento Solo	Escolher na lista de minerais Escolher na lista de rochas ISM Escolher na lista de classificação de sedimentos	
		Th ²³⁰ /U ²³⁴	Água Fóssil Gás Laterita Mineral Óleo Rocha Total (RT) Sedimento Solo	Escolher na lista de minerais Escolher na lista de rochas ISM Escolher na lista de classificação de sedimentos	
		Pb ²¹⁰	Água Fóssil Gás Laterita Mineral Óleo Rocha Total (RT) Sedimento Solo	Escolher na lista de minerais Escolher na lista de rochas ISM Escolher na lista de classificação de sedimentos	
		C ¹⁴	Água Fóssil Gás Laterita Mineral Óleo Rocha Total (RT) Sedimento Solo	Escolher na lista de minerais Escolher na lista de rochas ISM Escolher na lista de classificação de sedimentos	
		Be ¹⁰	Água Fóssil Gás Laterita Mineral Óleo Rocha Total (RT) Sedimento Solo	Escolher na lista de minerais Escolher na lista de rochas ISM Escolher na lista de classificação de sedimentos	

Fósseis [Lista com tipos de fósseis e seus intervalos de idades \(ver planilha Paleontologia\)](#)



continuação

Geologia Isotópica	Indicador Petrogenético	$Sr^{87}/Sr^{86(1)}$	Material Analisado	<ul style="list-style-type: none"> Água Fóssil Gás Laterita Mineral Óleo Rocha Total (RT) Sedimento Solo 	<ul style="list-style-type: none"> Escolher na lista de minerais Escolher na lista de rochas ISM Escolher na lista de classificação de sedimentos
		$Nd^{143}/Nd^{144(1)}$	Material Analisado	<ul style="list-style-type: none"> Água Fóssil Gás Laterita Mineral Óleo Rocha Total (RT) Sedimento Solo 	<ul style="list-style-type: none"> Escolher na lista de minerais Escolher na lista de rochas ISM Escolher na lista de classificação de sedimentos
		$\epsilon Nd^{(1)}$	Material Analisado	<ul style="list-style-type: none"> Água Fóssil Gás Laterita Mineral Óleo Rocha Total (RT) Sedimento Solo 	<ul style="list-style-type: none"> Escolher na lista de minerais Escolher na lista de rochas ISM Escolher na lista de classificação de sedimentos
		$\epsilon Sr^{(1)}$	Material Analisado	<ul style="list-style-type: none"> Água Fóssil Gás Laterita Mineral Óleo Rocha Total (RT) Sedimento Solo 	<ul style="list-style-type: none"> Escolher na lista de minerais Escolher na lista de rochas ISM Escolher na lista de classificação de sedimentos
		$Os^{187}/Os^{188(1)}$	Material Analisado	<ul style="list-style-type: none"> Água Fóssil Gás Laterita Mineral Óleo Rocha Total (RT) Sedimento Solo 	<ul style="list-style-type: none"> Escolher na lista de minerais Escolher na lista de rochas ISM Escolher na lista de classificação de sedimentos
		$\epsilon Os^{(1)}$	Material Analisado	<ul style="list-style-type: none"> Água Fóssil Gás Laterita Mineral Óleo Rocha Total (RT) Sedimento Solo 	<ul style="list-style-type: none"> Escolher na lista de minerais Escolher na lista de rochas ISM Escolher na lista de classificação de sedimentos
		$\epsilon Hf^{(1)}$	Material Analisado	<ul style="list-style-type: none"> Água Fóssil Gás Laterita Mineral Óleo Rocha Total (RT) Sedimento Solo 	<ul style="list-style-type: none"> Escolher na lista de minerais Escolher na lista de rochas ISM Escolher na lista de classificação de sedimentos
		$\mu=(U^{235}/Pb^{206})$	Material Analisado	<ul style="list-style-type: none"> Água Fóssil Gás Laterita Mineral Óleo Rocha Total (RT) Sedimento Solo 	<ul style="list-style-type: none"> Escolher na lista de minerais Escolher na lista de rochas ISM Escolher na lista de classificação de sedimentos



continuação

Isótopos estáveis	δO^{18} (‰)	Material Analisado	Água Fóssil Gás Laterita Mineral Óleo Rocha Total (RT) Sedimento Solo	Escolher na lista de minerais Escolher na lista de rochas ISM Escolher na lista de classificação de sedimentos
	δD (‰)	Material Analisado	Água Fóssil Gás Laterita Mineral Óleo Rocha Total (RT) Sedimento Solo	Escolher na lista de minerais Escolher na lista de rochas ISM Escolher na lista de classificação de sedimentos
	δC^{13} (‰)	Material Analisado	Água Fóssil Gás Laterita Mineral Óleo Rocha Total (RT) Sedimento Solo	Escolher na lista de minerais Escolher na lista de rochas ISM Escolher na lista de classificação de sedimentos
	δN^{15}	Material Analisado	Água Fóssil Gás Laterita Mineral Óleo Rocha Total (RT) Sedimento Solo	Escolher na lista de minerais Escolher na lista de rochas ISM Escolher na lista de classificação de sedimentos
	δS^{34}	Material Analisado	Água Fóssil Gás Laterita Mineral Óleo Rocha Total (RT) Sedimento Solo	Escolher na lista de minerais Escolher na lista de rochas ISM Escolher na lista de classificação de sedimentos



Tempo Geológico

Eon	Intervalo Idade	Era	Intervalo Idade	Período	Intervalo Idade	Época	Intervalo Idade
Fanerozóico	542-0 Ma	Cenozóico	65-0 Ma	Quaternário	2.6-0 Ma	Antropoceno	1800 AD-0
						Holoceno	0.012 Ma-1800 AD
						Pleistoceno	2.6.012 Ma
Fanerozóico	542-0 Ma	Cenozóico	65-0 Ma	Terciário (Neogeno)	23-2.6 Ma	Plioceno	5-2.6 Ma
						Mioceno	23-5 Ma
Fanerozóico	542-0 Ma	Cenozóico	65-0 Ma	Terciário (Paleogeno)	65-23 Ma	Oligoceno	34-23 Ma
						Eoceno	56-34 Ma
						Paleoceno	65-56 Ma
Fanerozóico	542-0 Ma	Mesozóico	251-65 Ma	Cretáceo	145-65 Ma	Superior	89-65 Ma
						Médio	112-89 Ma
						Inferior	145-112 Ma
Fanerozóico	542-0 Ma	Mesozóico	251-65 Ma	Jurássico	199-145 Ma	Superior	161-145 Ma
						Médio	175-161
						Inferior	199-175 Ma
Fanerozóico	542-0 Ma	Mesozóico	251-65 Ma	Triássico	251-199 Ma	Superior	229-199 Ma
						Médio	246-229 Ma
						Inferior	251-246 Ma
Fanerozóico	542-0 Ma	Paleozóico	542-251 Ma	Permiano	299-251 Ma		
				Carbonífero	359-299 Ma		
				Devoniano	416-359 Ma		
				Siluriano	443-416 Ma		
				Ordoviciano	488-443 Ma		
				Cambriano	542-488 Ma		
Proterozóico	2500-542 Ma	Neoproterozóico	1000-542 Ma	Ediacarano	630-542		
				Criogeniano	850-630		
				Toniano	1000-850 Ma		
Proterozóico	2500-542 Ma	Mesoproterozóico	1600-1000 Ma	Steniano	1200-1000		
				Ectasiano	1400-1200 Ma		
				Calymmiano	1600-1400 Ma		
Proterozóico	2500-542 Ma	Paleoproterozóico	2500-1600 Ma	Statheriano	1800-1600 Ma		
				Orosiriano	2050-1800 Ma		
				Rhyaclano	2300-2050 Ma		
				Sideriano	2500-2300 Ma		
Arqueano	4000-2500 Ma	Neoarqueano	2800-2500 Ma				
		Mesoarqueano	3200-2800 Ma				
		Paleoarqueano	3600-3200 Ma				
		Eocarqueano	4000-3600 Ma				
Hadeano	4600-4000 Ma	Hadeano	4600-4000 Ma				



Ambientes de sedimentação

Ambientes de Sedimentação	Continental	Leque Aluvial Eólico Fluvial Lacústre Glacial	
	Transicional	Deltaico Planície de maré Lagunar	
	Marinho	Marinho raso	Plataforma continental Talude continental Costeiro
		Marinho profundo	Talude continental Leques submarinos
			Estuarino Margem continental Barras Litorâneas

Tipologia Petrotectônica (Litopetrotectônica) e Ambientes Geotectônicos

Tipologia Litopetrotectônica	Rochas graníticas	Granito tipo I (Granito Cálcio-alcálico de origem ígnea) Granito tipo A (Granito Alcalino ou Anorogênico) Granito tipo S (Granito de origem sedimentar) Granito tipo PA (Granito peralcalino) Granito tipo M (Granito de origem mantélica) VAG (Granito de Arco Magmático) WPG (Granito Intra-placa continental ou Anorogênico) COLG (Granitos de colisão continental) TTG (Tronjhemitos-Tonalitos-Granodioritos de arcos magmáticos)
	Rochas vulcânicas máficas	WPB (Basaltos Intra-placa continental) OIB ou OIT (Basaltos toleíticos de ilhas oceânicas, intra-placa oceânica) OFB (Basaltos de fraturas oceânicas) CRB (Basaltos de rifts continentais) CFB (Derrames de basaltos continentais) MORB (Basaltos típicos de cadeias médio-oceânicas) N-MORB (Basaltos "normais" de cadeias médio-oceânicas) E-MORB (Basaltos enriquecidos de cadeias médio-oceânicas) P-MORB (Basaltos primitivos de cadeias médio-oceânicas) T-MORB (Basaltos "transicionais" de cadeias médio-oceânicas) IAB ou IAT (Basaltos toleíticos de arcos de ilha) CAB (Basaltos cálcio-alcálicos de arcos magmáticos) VAB (Basaltos de arcos vulcânicos) LIP Oceânico (Grandes províncias magmáticas oceânicas) Grandes platôs oceânicos
	Rochas vulcânicas máficas e félsicas	LIP continental (Grandes províncias magmáticas continentais) BADR (Suíte vulcânica expandida (Basalto-Andesito-Dacito-Riolito) de arcos magmáticos)
	Rochas vulcânicas intermediárias	VAD (Dacitos de arcos vulcânicos) VAA (Andesitos de arcos vulcânicos)
	Rochas vulcânicas félsicas	WPV (Vulcânicas félsicas de intra-placa continental) VAR (Riolitos de arcos vulcânicos)
	Rochas Ultramáficas	Ofolito MOR (Rochas máficas e ultramáficas relacionadas com cadeias médio-oceânicas) Ofolito SSZ (Rochas máficas e ultramáficas relacionadas com zonas de subducção) Complexo Estratiforme Complexo Alpino



Continuação

Ambientes Geotectônicos	Antearco (<i>Forearc</i>) Arco Magmático Arco Magmático Aulacógeno Bacia (<i>escolher na lista classificação tectônica de bacias</i>) <i>Foreland</i> <i>Foreland de retroarco (Molássica)</i> Foreland ou Sobrecarga ou Molassica) Graben <i>Greenstone Belt</i> <i>Hinterland</i> <i>Hot Spot</i> Impactógeno Inter-arco Intra-arco Intracratônico Intraplaca continental Intraplaca oceânica Margem Continental Ativa Margem Continental Passiva Ofiolito MOR Ofiolito SSZ Remanescente oceânica <i>Retroarco Foreland</i> Rift Rift Continental Rift Oceânico Transpressional Transtensional ou Pull-Apart Trincheira Zonas de cisalhamentos intra-continentais Zonas de cisalhamentos intra-oceânicas	Arco Continental Arco Oceânico (ou de Ilha)
--------------------------------	---	--



Classificação de Bacias Sedimentares

Tipo de Bacia Sedimentar	<i>Antearco (Forearc)</i> Aulacogeno <i>Foreland de retroarco (Molássica)</i> Foreland ou Sobrecarga ou <i>Molassica</i>) <i>Graben</i> <i>Hinterland</i> Impactogeno Inter-arco Intra-arco Intracratônica Intramontana Margem Continental Passiva Oceânica Pull-Apart Remanescente oceânica (Ofiolito) Retroarco <i>Rift</i> Sinéclise interior Sinéclise marginal Transpressional Transtensional Trincheira
--------------------------	---

Sugestão de classificação de Bacias em sub-bacias ou estágios

Bacia 1 (quando usar critério de classificação em sub-bacias ou estágios) Bacia 2 Bacia 3



Classificação de depósitos minerais, geometria da mineralização, tipo da mineralização, tipos de alteração hidrotermal, modelo de preenchimento de dados e lista de elementos químicos e de minerais (em outras tabelas) para compor a classificação de depósitos minerais

Classificação do depósito mineral

Carvão
Depósitos de argila
Depósitos de bauxita
Diamante em lamproitos
Diamantes em kimberlitos
EGP em províncias de basaltos continentais
EGP em rochas ultramáficas
Enriquecimento supergênico
Epitermal
Evaporitos
Formações Ferríferas Bandadas (BIF) de grande porte (classe mundial)
Formações Ferríferas Bandadas (BIF) de pequeno porte
Gás Natural
Greenstone
Hidrotermal em plutônicas máficas
Hidrotermal em plutônicas ultramáficas
Hidrotermal em vulcânicas félsicas
Hidrotermal em plutônicas félsicas
Hidrotermal em vulcânicas máficas
Karst
Laterita em rochas félsicas
Laterita em rochas máficas
Laterita em rochas ultramáficas
Material asfáltico
Mesotermal
Metais em anortositos
Metais em arenitos e conglomerados
Metais em carbonatitos
Metais em cromititos
Metais em brechas carbonáticas
Metais em diamictitos e tilitos
Metais em magnetititos
Metais em folhelhos e xistos carbonosos
Metais em fumarolas
Metais em gnaisses, migmatitos e granulitos
Metais em granitos alcalinos
Metais em granitos cálcio-alcalinos
Metais em granitos peralcalinos
Metais em Kimberlitos
Metais em komatitos
Metais em Lamproitos
Metais em máficas alcalinas
Metais em *placers*
Metais em províncias de basaltos
Metais em *Red Bed*
Metais em rochas alcalinas
Metais em rochas máficas
Metais em rochas máficas e ultramáficas (gabros e piroxenitos)
Metais em rochas máficas-ultramáficas
Metais em rochas metamórficas (filitos e xistos)
Metais em rochas sedimentares
Metais em serpentinitos
Minerais industriais
Minerais preciosos e semi-preciosos em pegmatitos e granitos
MVT (Mississippi Valley-Type)
Nódulos de metais
Nódulos polimetálicos
Petróleo
Porphyry em rochas ígneas félsicas plutônicas
Porphyry em rochas ígneas félsicas plutônicas
Porphyry em rochas ígneas félsicas plutônicas e vulcânicas
Porphyry e *Skarn* combinados
Rochas ornamentais
Sais Minerais
SEDEX
Escarnito (Skarn)
Escarnito e velo combinados
VHMS (VMS)
Xisto pirobetuminoso



Continuação

Geometria da mineralização	Acamadado Dobrado em falha em fratura Estratiforme Filoneano Lenticular Podiforme Strata-Bound Tabular Veio
Tipo da mineralização	Brecha hidrotermal Brecha tectônica Disseminada e <i>Stockwork</i> Disseminada Maciça Maciça e disseminada Maciça, disseminada e stockwork Nodular <i>Stockwork</i> <i>Stockwork</i> e brecha

Continuação

Tipo de Alteração Hidrotermal	Carbonatação Cloritização Albitização Epidotização Argilização Saussiritização Silicificação Caulinitização Turmalinização Seritização Limonitização Baritização Biotitização Flouritização Granatização Hematização Magnetitização Potassificação Talcificação Tremolitização Actinolitização Serpentinização
-------------------------------	---



Continuação

Lista de elementos químicos para compor nome da classificação do depósito mineral
Repetir lista em 4 colunas de opções de mineral e uma de rocha conforme exemplo ao lado

F
Cl
Br
J
Be
Mg
Ca
Sr
Ba
Li
Na
K
Rb
Cs
Th
U
Sc
Ti
V
Cr
Mn
Fe
Co
Ni
Cu
Zn
Y
Zr
Nb
Mo
Ru
Rh
Pd
Ag
Cd
Hf
Ta
W
Re
Os
Ir
Pt
Au
Hg
Al
Ga
Sn
Pb
Bi
Tl
Bo
Si
Ge
As
Sb
Te
C
N
P
S
Se
La
Ce
Pr
Nd
Pm
Sm
Eu
Gd
Tb
Dy
Ho
Er
Tm
Yb
Lu
EGP (Elementos do Grupo de Platinóides)
ETR (Elementos de Terras Raras)

Rocha ornamental

Classificação da rocha
Nome comercial da rocha

Exemplo de preenchimento de dados para classificação de depósitos minerais

Exemplo de preenchimento de dados									
elemento 1	elemento 2	elemento 3	elemento 4	Mineral 1	Mineral 2	Mineral 3	Mineral 4	Rocha hospedeira	Classificação do depósito mineral
Zn	Cu	Pb	Ag	Esfalerita	Calcopirita	Galena	Prata	Basalto	VHMS (VMS)
Cu	Zn	Pb	Au	Calcopirita	Esfalerita	Galena	Ouro	Riolito	Porphyry em rochas ígneas plutônicas félsicas



Tabelas padrão de análises químicas de minerais, rochas, sedimentos de corrente, concentrado de bateia, solo, água, inclusões fluidas e sólidas e análises mineralógicas (para estas últimas, use a mesma tabela de minerais quantificadores e qualificadores de rochas).

Tabela padrão para análise química de rochas

Elemento Químico	Unidade
SiO ₂	%
Al ₂ O ₃	%
Fe ₂ O ₃	%
MgO	%
CaO	%
Na ₂ O	%
K ₂ O	%
TiO ₂	%
P ₂ O ₅	%
MnO	%
LOI	%
Total	%
Halogênios	
F	ppm
Cl	ppm
Br	ppm
I	ppm
Metais Alcalino-Terrosos	
Be	ppm
Mg	ppm
Ca	ppm
Sr	ppm
Ba	ppm
Metais Alcalinos	
Li	ppm
Na	ppm
K	ppm
Rb	ppm
Cs	ppm
Actinídeos	
Th	ppm
U	ppm
Metais de Transição	
Sc	ppm
Ti	ppm
V	ppm
Cr	ppm
Mn	ppm
Fe	ppm
Co	ppm
Ni	ppm
Cu	ppm
Zn	ppm
Y	ppm
Zr	ppm
Nb	ppm
Mo	ppm
Ru	ppb
Rh	ppb
Pd	ppm
Ag	ppm
Cd	ppm
Hf	ppm
Ta	ppm
W	ppm
Re	ppm
Os	ppm
Ir	ppb
Pt	ppm
Au	PPb
Hg	ppm
Metais Representativos	
Al	ppm
Ga	ppm
Sn	ppm
Pb	ppm
Bi	ppm
Tl	ppm
Semi-Metais	
Bo	ppm
Si	ppm
Ge	ppm
As	ppm
Sb	ppm
Te	ppm
Não-Metais	
C	ppm
N	ppm
P	ppm
S	ppm
Se	ppm
Terras Raras	
La	ppm
Ce	ppm
Pr	ppm
Nd	ppm
Pm	ppm
Sm	ppm
Eu	ppm
Gd	ppm
Tb	ppm
Dy	ppm
Ho	ppm
Er	ppm
Tm	ppm
Yb	ppm
Lu	ppm

Tabela padrão análise química de minerais

Elemento Químico	Unidade
SiO ₂	%
Al ₂ O ₃	%
Fe ₂ O ₃	%
MgO	%
CaO	%
Na ₂ O	%
K ₂ O	%
TiO ₂	%
P ₂ O ₅	%
MnO	%
LOI	%
Total	%
Halogênios	
F	ppm
Cl	ppm
Br	ppm
I	ppm
Metais Alcalino-Terrosos	
Be	ppm
Mg	ppm
Ca	ppm
Sr	ppm
Ba	ppm
Metais Alcalinos	
Li	ppm
Na	ppm
K	ppm
Rb	ppm
Cs	ppm
Actinídeos	
Th	ppm
U	ppm
Metais de Transição	
Sc	ppm
Ti	ppm
V	ppm
Cr	ppm
Mn	ppm
Fe	ppm
Co	ppm
Ni	ppm
Cu	ppm
Zn	ppm
Y	ppm
Zr	ppm
Nb	ppm
Mo	ppm
Ru	ppb
Rh	ppb
Pd	ppm
Ag	ppm
Cd	ppm
Hf	ppm
Ta	ppm
W	ppm
Re	ppm
Os	ppm
Ir	ppb
Pt	ppm
Au	PPb
Hg	ppm
Metais Representativos	
Al	ppm
Ga	ppm
Sn	ppm
Pb	ppm
Bi	ppm
Tl	ppm
Semi-Metais	
Bo	ppm
Si	ppm
Ge	ppm
As	ppm
Sb	ppm
Te	ppm
Não-Metais	
C	ppm
N	ppm
P	ppm
S	ppm
Se	ppm
Terras Raras	
La	ppm
Ce	ppm
Pr	ppm
Nd	ppm
Pm	ppm
Sm	ppm
Eu	ppm
Gd	ppm
Tb	ppm
Dy	ppm
Ho	ppm
Er	ppm
Tm	ppm
Yb	ppm
Lu	ppm



continuação

Tabela padrão para análise química de Sedimento de Corrente

Elemento Químico	Unidade
SiO ₂	%
Al ₂ O ₃	%
Fe ₂ O ₃	%
MgO	%
CaO	%
Na ₂ O	%
K ₂ O	%
TiO ₂	%
P ₂ O ₅	%
MnO	%
LOI	%
Total	%
Halogênicos	
F	ppm
Cl	ppm
Br	ppm
I	ppm
Metais Alcalino-Terrosos	
Ba	ppm
Mg	ppm
Ca	ppm
Sr	ppm
Ba	ppm
Metais Alcalinos	
Li	ppm
Na	ppm
K	ppm
Rb	ppm
Cs	ppm
Actinídeos	
Th	ppm
U	ppm
Metais de Transição	
Sc	ppm
Ti	ppm
V	ppm
Cr	ppm
Mn	ppm
Fe	ppm
Co	ppm
Ni	ppm
Cu	ppm
Zn	ppm
Y	ppm
Zr	ppm
Nb	ppm
Mo	ppm
Ru	ppb
Rh	ppb
Pd	ppm
Ag	ppm
Cd	ppm
Hf	ppm
Ta	ppm
W	ppm
Re	ppm
Os	ppm
Ir	ppb
Pt	ppm
Au	PPb
Hg	ppm
Metais Representativos	
Al	ppm
Ga	ppm
Sn	ppm
Pb	ppm
Bi	ppm
Tl	ppm
Semi-Metais	
Bo	ppm
Si	ppm
Ge	ppm
As	ppm
Sb	ppm
Te	ppm
Não-Metais	
C	ppm
N	ppm
P	ppm
S	ppm
Se	ppm
Terras Raras	
La	ppm
Ce	ppm
Pr	ppm
Nd	ppm
Pm	ppm
Sm	ppm
Eu	ppm
Gd	ppm
Tb	ppm
Dy	ppm
Ho	ppm
Er	ppm
Tm	ppm
Yb	ppm
Lu	ppm

Tabela padrão para análise química de Concentrado de Betela

Elemento Químico	Unidade
SiO ₂	%
Al ₂ O ₃	%
Fe ₂ O ₃	%
MgO	%
CaO	%
Na ₂ O	%
K ₂ O	%
TiO ₂	%
P ₂ O ₅	%
MnO	%
LOI	%
Total	%
Halogênicos	
F	ppm
Cl	ppm
Br	ppm
I	ppm
Metais Alcalino-Terrosos	
Ba	ppm
Mg	ppm
Ca	ppm
Sr	ppm
Ba	ppm
Metais Alcalinos	
Li	ppm
Na	ppm
K	ppm
Rb	ppm
Cs	ppm
Actinídeos	
Th	ppm
U	ppm
Metais de Transição	
Sc	ppm
Ti	ppm
V	ppm
Cr	ppm
Mn	ppm
Fe	ppm
Co	ppm
Ni	ppm
Cu	ppm
Zn	ppm
Y	ppm
Zr	ppm
Nb	ppm
Mo	ppm
Ru	ppb
Rh	ppb
Pd	ppm
Ag	ppm
Cd	ppm
Hf	ppm
Ta	ppm
W	ppm
Re	ppm
Os	ppm
Ir	ppb
Pt	ppm
Au	PPb
Hg	ppm
Metais Representativos	
Al	ppm
Ga	ppm
Sn	ppm
Pb	ppm
Bi	ppm
Tl	ppm
Semi-Metais	
Bo	ppm
Si	ppm
Ge	ppm
As	ppm
Sb	ppm
Te	ppm
Não-Metais	
C	ppm
N	ppm
P	ppm
S	ppm
Se	ppm
Terras Raras	
La	ppm
Ce	ppm
Pr	ppm
Nd	ppm
Pm	ppm
Sm	ppm
Eu	ppm
Gd	ppm
Tb	ppm
Dy	ppm
Ho	ppm
Er	ppm
Tm	ppm
Yb	ppm
Lu	ppm



continuação

Tabela padrão para análise química de Solo

Elemento Químico	Unidade
SiO ₂	%
Al ₂ O ₃	%
Fe ₂ O ₃	%
MgO	%
CaO	%
Na ₂ O	%
K ₂ O	%
TiO ₂	%
P ₂ O ₅	%
MnO	%
LOI	%
Total	%
Halogênios	
F	ppm
Cl	ppm
Br	ppm
I	ppm
Metais Alcalino-Terrosos	
Be	ppm
Mg	ppm
Ca	ppm
Sr	ppm
Ba	ppm
Metais Alcalinos	
Li	ppm
Na	ppm
K	ppm
Rb	ppm
Cs	ppm
Actinídeos	
Th	ppm
U	ppm
Metais de Transição	
Sc	ppm
Ti	ppm
V	ppm
Cr	ppm
Mn	ppm
Fe	ppm
Co	ppm
Ni	ppm
Cu	ppm
Zn	ppm
Y	ppm
Zr	ppm
Nb	ppm
Mo	ppm
Ru	ppb
Rh	ppb
Pd	ppm
Ag	ppm
Cd	ppm
Hf	ppm
Ta	ppm
W	ppm
Re	ppm
Os	ppm
Ir	ppb
Pt	ppm
Au	PPb
Hg	ppm
Metais Representativos	
Al	ppm
Ga	ppm
Sn	ppm
Pb	ppm
Bi	ppm
Tl	ppm
Semi-Metais	
Bo	ppm
Si	ppm
Ge	ppm
As	ppm
Sb	ppm
Te	ppm
Não-Metais	
C	ppm
N	ppm
P	ppm
S	ppm
Se	ppm
Terras Raras	
La	ppm
Ce	ppm
Pr	ppm
Nd	ppm
Pm	ppm
Sm	ppm
Eu	ppm
Gd	ppm
Tb	ppm
Dy	ppm
Ho	ppm
Er	ppm
Tm	ppm
Yb	ppm
Lu	ppm

Tabela padrão para análise química de água

Elemento	Unidade
Ph	
Halogênios	
F	ppm
Cl	ppm
Br	ppm
I	ppm
Metais Alcalino-Terrosos	
Be	ppm
Mg	ppm
Ca	ppm
Sr	ppm
Ba	ppm
Metais Alcalinos	
Li	ppm
Na	ppm
K	ppm
Rb	ppm
Cs	ppm
Actinídeos	
Th	ppm
U	ppm
Metais de Transição	
Sc	ppm
Ti	ppm
V	ppm
Cr	ppm
Mn	ppm
Fe	ppm
Co	ppm
Ni	ppm
Cu	ppm
Zn	ppm
Y	ppm
Zr	ppm
Nb	ppm
Mo	ppm
Ru	ppb
Rh	ppb
Pd	ppm
Ag	ppm
Cd	ppm
Hf	ppm
Ta	ppm
W	ppm
Re	ppm
Os	ppm
Ir	ppb
Pt	ppm
Au	PPb
Hg	ppm
Metais Representativos	
Al	ppm
Ga	ppm
Sn	ppm
Pb	ppm
Bi	ppm
Tl	ppm
Semi-Metais	
Bo	ppm
Si	ppm
Ge	ppm
As	ppm
Sb	ppm
Te	ppm
Não-Metais	
C	ppm
N	ppm
P	ppm
S	ppm
Se	ppm
Terras Raras	
La	ppm
Ce	ppm
Pr	ppm
Nd	ppm
Pm	ppm
Sm	ppm
Eu	ppm
Gd	ppm
Tb	ppm
Dy	ppm
Ho	ppm
Er	ppm
Tm	ppm
Yb	ppm
Lu	ppm



continuação

Tabela padrão análise química de inclusões fluidas

Elemento Químico	Unidade
SiO ₂	%
Al ₂ O ₃	%
Fe ₂ O ₃	%
MgO	%
CaO	%
Na ₂ O	%
K ₂ O	%
TiO ₂	%
P ₂ O ₅	%
MnO	%
LOI	%
Total	%
Halogênicos	
F	ppm
Cl	ppm
Br	ppm
I	ppm
Metais Alcalino-Terrosos	
Ba	ppm
Mg	ppm
Ca	ppm
Sr	ppm
Ba	ppm
Metais Alcalinos	
Li	ppm
Na	ppm
K	ppm
Rb	ppm
Cs	ppm
Actínídeos	
Th	ppm
U	ppm
Metais de Transição	
Sc	ppm
Ti	ppm
V	ppm
Cr	ppm
Mn	ppm
Fe	ppm
Co	ppm
Ni	ppm
Cu	ppm
Zn	ppm
Y	ppm
Zr	ppm
Nb	ppm
Mo	ppm
Ru	ppb
Rh	ppb
Pd	ppm
Ag	ppm
Cd	ppm
Hf	ppm
Ta	ppm
W	ppm
Re	ppm
Os	ppm
Ir	ppb
Pt	ppm
Au	ppb
Hg	ppm
Metais Representativos	
Al	ppm
Ga	ppm
Sn	ppm
Pb	ppm
Bi	ppm
Tl	ppm
Semi-Metais	
Bo	ppm
Si	ppm
Ge	ppm
As	ppm
Sb	ppm
Te	ppm
Não-Metais	
C	ppm
N	ppm
P	ppm
S	ppm
Se	ppm
Terras Raras	
La	ppm
Ce	ppm
Pr	ppm
Nd	ppm
Pm	ppm
Sm	ppm
Eu	ppm
Gd	ppm
Tb	ppm
Dy	ppm
Ho	ppm
Er	ppm
Tm	ppm
Yb	ppm
Lu	ppm



Informatização de dados de sondagens.

Sondagem	Projeto	
	Município	Acessar lista de municípios
	Responsável	
	Supervisor	
	Nome do alvo	
	Lote (Remessa)	
	Empresa executora	
	Tipo de Sondagem	Canal
		Circulação Reversa
		Poço
		Sondagem a percussão
		Sondagem a trado
		Sondagem diamantada
		Sondagem geotécnica
		Sondagem metalúrgica
		Sondagem Mista (percussão e diamantada)
	Número Furo	
	Coordenada X	
	Coordenada Y	
	Coordenada Z	
	Data Inicial da sondagem	
	Data Final da sondagem	
	Azimute Inicial	
	Mergulho Inicial	
	Ângulo com eixo	
	Profundidade Inicial	
	Profundidade Final	
	Método Perfilagem	
	Intervalo de	
	Intervalo até	
	Unidade Geológica	
	Amostra No.	
	Tipo de Amostra	Minério-Canal
		Sondagem percussão
		Trado
		Testemunho de sondagem
	Litologia	Acessar dicionário de Litologias
	Mineralogia	Acessar dicionário de Mineralogia
	Análise Petrográfica	Lâmina delgada
		Seção polida
	Estrutura	Acessar dicionário de Estruturas
	Textura	Acessar dicionário de Texturas
	Data de Descrição	
	Análise Química	Acessar Tabela de análise química
	Análise Mineralógica	Acessar Tabela de análise mineralógica
	Grau de Intemperismo	Acessar dicionário de intemperismo
	Alteração Hidrotermal	Acessar dicionário de Alteração Hidrotermal



Forma da utilização dos dicionários dos termos geológicos no programa Mina para informatização de dados de uma estação com mais de um litotipo.

Litotipo 1	Litotipo 2	Litotipo 3
Foliação 1	Foliação 2	Foliação 3
Estrutura 1	Estrutura 2	Estrutura 3
Falha 1	Falha 2	Falha 3
Dobra 1	Dobra 2	Dobra 3
Textura 1	Textura 2	Textura 3
Tipologia Ígnea 1	Tipologia Ígnea 2	Tipologia Ígnea 3
Método Datação 1	Método Datação 2	Método Datação 3
Idade 1	Idade 2	Idade 3
Isótopo Estável 1	Isótopo Estável 2	Isótopo Estável 3
Tipologia Litopetrotectônica 1	Tipologia Litopetrotectônica 2	Tipologia Litopetrotectônica 3
Ambiente Sedimentação 1	Ambiente Sedimentação 2	Ambiente Sedimentação 3
Tipo Bacia 1	Tipo Bacia 2	Tipo Bacia 3
Ambiente Geotectônico 1	Ambiente Geotectônico 2	Ambiente Geotectônico 3



continuação

Suíte Granítica Serra do Mar	Granito Palermo Granito Rio Negro Granito Tanumã Granito Morro Redondo Granito Agudos do Sul Granito Marumbi Granito Anhangava Granito Graciosa Granito Rio do Salto Granito Alto Turvo Granito Serra da Igreja
Homfels do Granito Morro Grande	
Stacks Graníticos do Domínio Apiaí	Granito Passa Três Granito Ceme Granito Varginha Granito Estrela Granito Banhado Granito Pua Sapo Granito Rio Abaixo Granito Piedade Granito Joaquim Murinho Granito Chacrinha Granito Morro Grande Granito Carambei Granito Sguário Granito Taici Granito Itaóca Granito Rio Guaraú
Batólito Cunhaporanga	Domínio petrográfico Bascaia-Boa Vista Domínio petrográfico Anjo das Pedrinhas Domínio petrográfico Espigão Alto Domínio petrográfico Espalha Brasa Domínio Petrográfico Jutubá-Pitangui Domínio petrográfico Limeira Domínio petrográfico Ouro Verde-Patrimônio Santo Antônio Domínio petrográfico Paredão da Santa Domínio petrográfico Serra Abaixo-Alagados Domínio petrográfico Santa Rita Domínio Petrográfico Varginha Domínio Petrográfico Francisco Simas Domínio petrográfico Passo da Anta-Água Clara Domínio petrográfico Piral do Sul Domínio Petrográfico Vila Branca Domínio petrográfico Abapá-Santa Quitéria Unidade Granítica Ribeirão Butiá Unidade Granítica Santa Rita Unidade Granítica Piral do Sul Granito São Domingos Granito Serra do Jacuzal
Batólito Três Córregos	Unidade Granítica São Sebastião Unidade Granítica Conceição Unidade Granítica Armeiros-Cerro Azul Unidade Granítica Pina
Suítes Graníticas do Domínio Paranaguá	Suíte Granítica Rio do Poço Suíte Granítica Canaveiras-Estrela Suíte Granítica Morro Inglês
Cinturão Granítico Piên-Mandirituba	Suíte Monzogranitos sem epidoto magmático Suíte Leuco-Granodioritos com epidoto Magmático Suíte Quartzo Monzodioritos a Granodioritos com epidoto Magmático Suíte Quartzo Monzodioritos a Granodioritos sem epidoto Magmático Anbólito Espigão das Antas



continuação

Grupo Açungui	Formação Antinha	Unidade Carbonática Unidade Terrígena
	Formação Votuverava	Unidade Carbonática Unidade Metabásica Unidade Metavulcanossedimentar Unidade Quartzítica Unidade Metapelítica Unidade Metapsamítica Unidade de Filitos e Xistos Unidade Calciossilicática Unidade de Metagrauwacas
	Formação Itaiococa	Unidade Carbonática Unidade Metabásica Unidade de Xistos Unidade Metapelítica Unidade Metapsamítica Unidade Metavulcanossedimentar Unidade Quartzítica Unidade Terrígena
	Formação Capiru	Unidade Carbonática Unidade de Xistos Unidade Metapelítica Unidade Quartzítica
Suite Máfica-Ultramáfica Piên	Unidade de ultramáficas Unidade de máficas Unidade de xistos magnesianos	
Grupo Setuva	Formação Água Clara	Unidade Carbonática Unidade de xistos e filitos Unidade Metavulcanossedimentar (São Silvestre) Unidade de xistos vulcânicos Unidade Quartzítica
	Formação Perau	Unidade Carbonática Unidade de xistos e filitos Unidade Quartzítica Unidade Metabásica
Complexo Tunó-Cajati	Unidade de Xistos Unidade Carbonática Unidade Gnáissica	
Formação Rio das Cobras		
Complexo Tunó-Cajati		
Complexo Apial-Mirim	Unidade de Gnaisses Unidade de Migmatitos Unidade de Granitóides	
Complexo Betara-Meia Lua	Unidade de Gnaisses Unidade de Migmatitos Unidade de Granitóides Unidade de Xistos Unidade Carbonática Unidade Metabásica Unidade Quartzítica	
Complexo Tigre	Unidade de Gnaisses Unidade de Migmatitos Unidade de Granitóides Unidade de Xistos Unidade Quartzítica	
Complexo Setuva	Unidade de Gnaisses Unidade de Migmatitos Unidade de Granitóides Unidade de Xistos	
Complexo Alto Açungui	Unidade de Gnaisses Unidade de Migmatitos Unidade de Granitóides Unidade de Xistos	
Complexo Pré-Setuva	Unidade de Gnaisses Unidade de Migmatitos Unidade de Granitóides Unidade de Xistos	



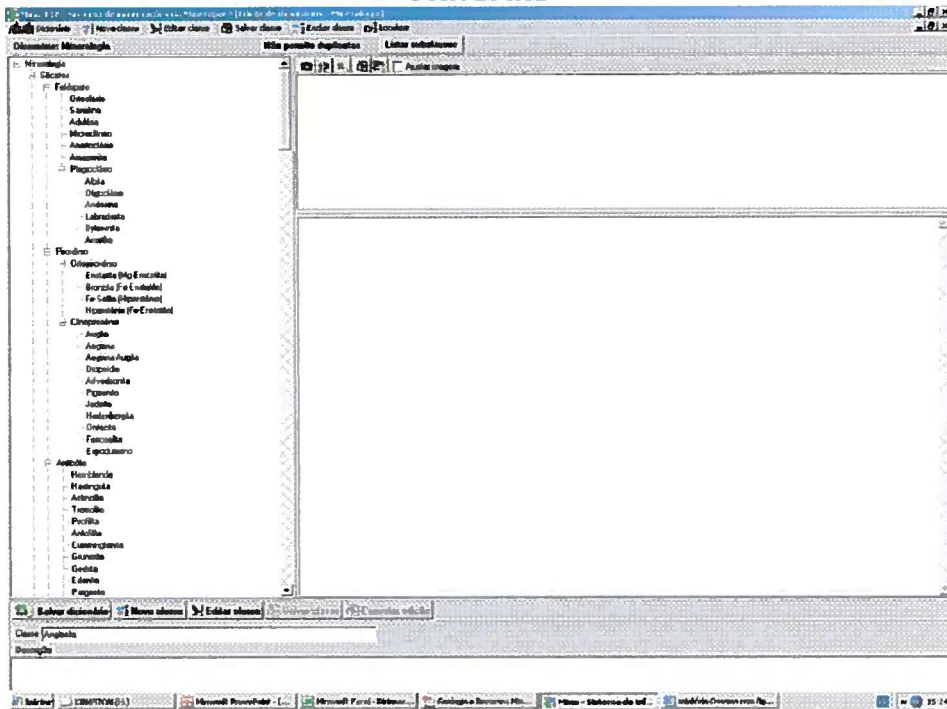
continuação

Complexo Atuba	Unidade de Gnaisses Unidade de Migmatitos Unidade de Granulitos Unidade de Gnaisses Granulíticos Unidade de Granitóides Unidade de Anfibolitos Unidade de Xistos
Complexo Luis Alves	Unidade de Granulitos e Gnaisses Granulíticos Unidade de Gnaisses Unidade de Migmatitos Unidade de Granitóides Unidade de Anfibolitos Unidade de Piroxenitos Unidade de Peridotitos
Complexo Serra Negra	
Complexo São Francisco do Sul	
Complexo Costeiro	
Complexo Cachoeira	

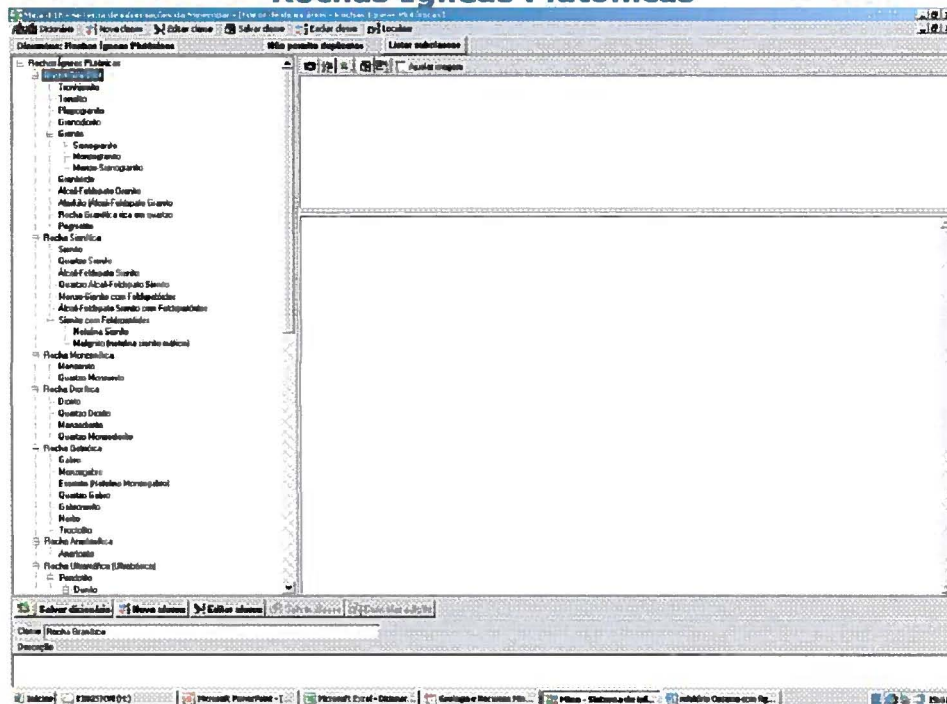


Inserção dos dicionários dos termos geológicos no programa Mina

Exemplos de inserção de alguns dicionários no programa Mina Minerais



Rochas Ígneas Plutônicas





Rochas Sedimentares

Rochas Sedimentares

Classe Rocha Sedimentar

Descrição

- Rochas Sedimentares
 - Rocha Sedimentar Clástica
 - Conglomerado
 - Uniconglomerado
 - Pseudoconglomerado
 - Conglomerado orgânico
 - Conglomerado púmico
 - Conglomerado interfacional
 - Conglomerado entofacional
 - Brecha
 - Diamictito
 - Turbidito
 - Tampelito
 - Talo
 - Arenito
 - Arenito fino
 - Arenito grosso
 - Arenito médio
 - Arenito indistinto
 - Arenito líneo
 - Arenito quartzoso
 - Arenito conglomerado
 - Arenito arcólio
 - Siltito
 - Argilo
 - Falafelito
 - Flutito
 - Variolito
 - Marga
 - Lente
 - Lente agilo arenosa
 - Lente argilosa
 - Pallo
 - Lutito
 - Grauvaca
 - Grauvaca quartzosa
 - Grauvaca indistinta
 - Grauvaca línea
 - Lente conglomerado
 - Argilo conglomerado
 - Rocha Sedimentar Quilínica
 - Caliche
 - Calcário
 - Calcário calcioso
 - Calcário calcioso compacto

Rochas Metamórficas

Rochas Metamórficas

Classe

Descrição

- Rochas Metamórficas
 - Protólito ígneo
 - Rocha Metagranítica
 - Metaconglomerado
 - Metaturbidito
 - Metagranito
 - Meta megacrítico
 - Meta megacrítico
 - Meta megacrítico megacrítico
 - Meta granito rico em quartzo
 - Alcali Feldspato Meta granito
 - Meta-slebilito
 - Rocha Metamáfica
 - Meta arenito
 - Meta quartzoso arenito
 - Alcali Feldspato Meta arenito
 - Quartzo Alcali Feldspato Meta arenito
 - Meta arenito
 - Meta arenito arenito
 - Rocha Metamassonítica
 - Meta marzolitico
 - Meta quartzoso marzolitico
 - Rocha Metadiabásica
 - Metadiabásico
 - Meta quartzoso diabásico
 - Meta granodióico
 - Meta marzolitico
 - Meta quartzoso marzolitico
 - Rocha Metagabroica
 - Meta gabro
 - Meta marzolitico
 - Meta gabro marzolitico
 - Meta diabásico
 - Rocha Metaromítica
 - Meta romítico
 - Rocha Metabásica (Metabásica)
 - Meta basáltico
 - Meta diabásico
 - Meta diabásico Meta diabásico
 - Meta diabásico Meta diabásico
 - Meta diabásico



Estruturas tectônicas

Menu: Dicionário -> Nova classe -> Editar classe -> Salvar classe -> Excluir classe -> Localizar

Dicionário: Estruturas Tectônicas

Nome permitido duplicatas: Não permitido duplicatas

Libertar subclasse

Aplicar imagem

- [-] Estruturas Tectônicas
 - [-] Fratura
 - Fratura Concêntrica
 - Fratura Cruzada de eixo de dobra
 - Fratura de Acamamento
 - Fratura de Deslizamento
 - Fratura de Deslizamento conjugada de Riedel (sinistral ou IT)
 - Fratura de Deslizamento de Riedel (sinistral ou R)
 - Fratura de Deslizamento P (sinistral secundária)
 - Fratura de Deslizamento K (sinistral secundária)
 - Fratura de Deslizamento Y ou D (sinistral secundária)
 - Fratura de Megalito
 - Fratura de Plicação T Estensional ou Distensão
 - Fratura Diagonal
 - Fratura Diagonal de eixo de dobra
 - Fratura Deslocional
 - Fratura em escalon
 - Fratura extensional
 - Fratura Horizontal
 - Fratura Longitudinal de eixo de dobra
 - Fratura Paralela
 - Fratura Riedel
 - Fratura Transversal
 - Vazio
 - [-] Falha
 - Falha Normal (Esvaziada)
 - Falha Lateral
 - Falha em Domínio
 - Falha Rotacional ou em Torsão
 - Falha Inversa (Reversa)
 - Falha de Empunho
 - Falha de Cevilhamento
 - Falha Transcorrente (Deslocional)
 - Falha Transcorrente Direita
 - Sinistral
 - Asimétrica
 - Falha Transcorrente Sinistral
 - Falha Obliqua
 - Falha Delineada
 - Falha Apenada
 - Falha Encoberta
 - Falha Intensa
 - Falha Posível
 - Falha Suportada
 - Linhasmento Estrutural
 - Linhasmento Fotogeológico

Salvar dicionário -> Nova classe -> Editar classe -> Excluir classe -> Localizar

Nome: Fratura

Descrição:

Windows Taskbar: Explorer (4) | Microsoft PowerPoint - (...) | Microsoft Excel - Dicionário... | Google e Recursos M... | Pina - Sistema de Inf... | Relatório Osmosa com Hg...

Continuação

Menu: Dicionário -> Nova classe -> Editar classe -> Salvar classe -> Excluir classe -> Localizar

Dicionário: Estruturas Tectônicas

Nome permitido duplicatas: Não permitido duplicatas

Libertar subclasse

Aplicar imagem

- [-] Estruturas Tectônicas
 - Linhasmento Fotogeológico
 - Zona Cataclásica
 - Zona Mitrada
 - Zona Bocheada
 - [-] Dobra
 - Aberta (ângulo interfacies entre 70 e 120)
 - Angular
 - Anticlinal
 - Anticlinó
 - Asimétrica
 - Asimétrica
 - Barrha
 - Cenada (ângulo interfacies entre 0 e 30)
 - Chevron
 - Clavica
 - Disarmônica
 - Dobras de ajuste
 - Dobra paralela M
 - Dobra paralela S
 - Dobra paralela Z
 - Dobras Falha
 - Diag. (nd)
 - em cava
 - em cúpula
 - em Leque
 - Fechada (ângulo interfacies entre 30 e 70)
 - Harmônica
 - Homocinetal
 - Inclinada
 - Inclinal
 - Inversa
 - Inclinal (ângulo interfacies de 0)
 - Irreg. (Bend)
 - Monoaxial
 - Normal
 - Pigmalica
 - Recalhada (em Chevron)
 - Recumbente
 - Sinistral
 - Sinistral
 - Sinclinal
 - Sinclinal
 - Suave (ângulo interfacies entre 120 e 180)
 - Valecal

Salvar dicionário -> Nova classe -> Editar classe -> Excluir classe -> Localizar

Nome: Linhasmento Estrutural

Descrição:

Windows Taskbar: Explorer (4) | Microsoft PowerPoint - (...) | Microsoft Excel - Dicionário... | Google e Recursos M... | Pina - Sistema de Inf... | Relatório Osmosa com Hg... | 15:10



Estruturas Tectono-Metamórficas

Minera 0.10 - Estruturas tectono-metamórficas do Paraná

Arquivo | Editar classe | Salvar classe | Localizar

Diccionário: Estruturas Tectono-Metamórficas

- Estruturas Tectono-Metamórficas
 - Direções
 - Direções Andina
 - Direções de Compressão
 - Direções de Falha
 - Direções de Falha Plano Axial
 - Direções Plano Axial
 - Matriciades
 - Matriciades de Compressão
 - Matriciades de Tensão
 - Rendimentos
 - Rendimento Uniaxial
 - Rendimento Compressional
 - Foliação
 - Foliação Blastomárfica
 - Foliação Cataclástica
 - Foliação Cataclástica C
 - Foliação Cataclástica S
 - Foliação de Compressão
 - Foliação de Tensão
 - Foliação Fibrosa
 - Foliação Gramíscita
 - Foliação Milonítica
 - Foliação Milonítica C
 - Foliação Milonítica S
 - Foliação Plano Axial
 - Foliação Pseudomárfica
 - Foliação Ultramárfica
 - Bandas de Cisalhamento
 - Lineações
 - Boudin
 - Eixo de Dobra
 - Eixo paralelo de compressão
 - Eixo de Alito (direção de talha)
 - Lineação de Cisalhamento
 - Lineação de Compressão
 - Lineação de Elongamento Maxial
 - Lineação de Interação
 - Lineação Maxial
 - Lineação Tipo B
 - Mullon
 - Eixo de Falha

Salvar diccionário | Nova classe | Editar classe | Salvar classe | Criar nova classe

Classe: Foliação

Descrição:

Minera 0.10 - ESTRUTURAS (0.1) | Microsoft PowerPoint - | Microsoft Excel - | Google e Recursos Min... | Minera - Estruturas de Inf... | Minera 0.10 - Estruturas tectono-metamórficas do Paraná

PS 11

Texturas Ígneas

Minera 0.10 - Texturas ígneas do Paraná

Arquivo | Editar classe | Salvar classe | Localizar

Diccionário: Texturas Ígneas

- Texturas Ígneas
 - Tamanho dos Cristais
 - Asterico
 - Vitreo
 - Fanarítica
 - Muito Grossa
 - Grossa
 - Média
 - Fina
 - Muito Fina
 - Granulométrica
 - Morfologia, Tamanho e Forma dos Cristais
 - Granulada
 - Granulada Idiomórfica (Eulítica)
 - Granulada Hipidiomórfica (Fidulítica)
 - Granulada Xenomórfica (Heterítica)
 - Megacrítica
 - Panocrítica
 - Micropanocrítica
 - Fragmenária e Inequilíbrio
 - Foliação ou Inequilíbrio de Cristalização
 - Órfica
 - Subórfica
 - Interaxial
 - Interaxial
 - Interaxial
 - Gráfica
 - Micrográfica
 - Dinâmica
 - Protográfica
 - Reações entre Cristais e Líquido Magmático
 - Zonamento entre cristais
 - Borda (coroa) de reação ou Comarítica
 - Caratelo (embayment)
 - Serite
 - Darwinita
 - Reações no Estado Sólido
 - Heteromárfica (intercristamento metamórfico)
 - Rapidolita
 - Sericítico (intercristamento simplotético)
 - Eulítica
 - Variética
 - Panocrítica
 - Micropanocrítica
 - Pseudomárfica
 - Dinâmica dos magmas

Salvar diccionário | Nova classe | Editar classe | Salvar classe | Criar nova classe

Classe:

Descrição:

Minera 0.10 - ESTRUTURAS (0.1) | Microsoft PowerPoint - | Microsoft Excel - | Google e Recursos Min... | Minera - Estruturas de Inf... | Minera 0.10 - Estruturas tectono-metamórficas do Paraná

PS 11



Classificação de Depósitos Minerais

Sistema de classificação de depósitos minerais com uma árvore de classes à esquerda contendo itens como 'Depósitos de sigla', 'Depósitos de brecha', 'Depósitos em lavras', e diversos tipos de minérios e depósitos hidrotermais. O campo de descrição está atualmente vazio.

Geocronologia e Geologia Isotópica

Sistema de geocronologia e geologia isotópica com uma árvore de classes à esquerda detalhando métodos como 'U/Pb (SHRIMP)', 'U/Pb (LA-ICP-MS)', 'Rb/Sr', 'Pb-Pb', e técnicas de datação como 'Datação por potássio-argônio' e 'Datação por urânio-tório'. O campo de descrição está atualmente vazio.



Tipologia litopetrotectônica

Mineropar - Sistema de Informação Geográfica - [Editor de dados de classes - Tipologia litopetrotectônica] [Ajuda]

Dicionário: Tipologia Litopetrotectônica

- Tipologia Litopetrotectônica
 - Rochas graníticas
 - Granito tipo I (Granito Calcio-alcálico de origem ígnea)
 - Granito tipo A (Granito Alcalino ou Anorogénico)
 - Granito tipo S (Granito de origem andesítica)
 - Granito tipo PA (Granito paracalcálico)
 - Granito tipo M (Granito de origem magmática)
 - TTG (Tronçesão-Tonalito-Granodiorito de arco magmático)
 - WAG (Granito de Arco Magmático)
 - WPG (Granito intraplaca continental ou Anorogénico)
 - ODLG (Granitos de colisão continental)
 - Rochas vulcânicas maficas
 - WFB (Basaltos intraplaca continental)
 - OB ou OIT (Basaltos telúricos de Bacia ocenárias, intraplaca ocenária)
 - OB (Basaltos de bacias ocenárias)
 - CRB (Basaltos de rifts continentais)
 - CRB (Basaltos de bacias continentais)
 - MORB (Basaltos tipos de cadeias médio-ocenárias)
 - N MORB (Basaltos "normais" de cadeias médio-ocenárias)
 - S MORB (Basaltos empuçados de cadeias médio-ocenárias)
 - F MORB (Basaltos passivos de cadeias médio-ocenárias)
 - T MORB (Basaltos "transicionais" de cadeias médio-ocenárias)
 - IAB ou IAT (Basaltos telúricos de arcos de ilha)
 - CAB (Basaltos calcio-alcálicos de arcos magmáticos)
 - WAB (Basaltos de arcos vulcânicos)
 - UP Oceanico (Grandes províncias magmáticas ocenárias)
 - Rochas vulcânicas maficas e félicas
 - UP continental (Grandes províncias magmáticas continentais)
 - BADR (Suíte vulcânica expandida (Basalto-Andesito-Dacito-Riolito) de arcos magmáticos)
 - Rochas vulcânicas intermediárias
 - VAD (Dacitos de arcos vulcânicos)
 - VAA (Andesitos de arcos vulcânicos)
 - Rochas vulcânicas félicas
 - WPFV (Vulcânicas félicas de intraplaca continental)
 - VAR (Vulcânicas de arcos vulcânicos)
 - Rochas Ultramáficas
 - Diatlito MOR (Folhas maficas e ultramáficas relacionadas com cadeias médio-ocenárias)
 - Diatlito SSC (Folhas maficas e ultramáficas relacionadas com zonas de subducção)
 - Complexo Etelutimons
 - Complexo Aljoro

Solter dicionário | Nova classe | Editar classe | Solter classe | Cancelar edição

Nome: _____

Descrição: _____

Windows taskbar: Iniciar | KINGSTON (H:) | Microsoft PowerPoint - L... | Microsoft Excel - Dicionar... | Geologia e Recursos Min... | Mineropar - Sistema de Inf... | Relatório Ocasina com fig... | 15:11

Ambientes de sedimentação

Mineropar - Sistema de Informação Geográfica - [Editor de dados de classes - Ambientes de sedimentação] [Ajuda]

Dicionário: Ambientes de Sedimentação

- Ambientes de Sedimentação
 - Leque Aluvial
 - Éolico
 - Fluvial
 - Lacustre
 - Glacial
 - Transicional
 - Deltaico
 - Planície de maré
 - Lequeno
 - Marinho
 - Marinho litorâneo
 - Plataforma continental
 - Talude continental
 - Costeiro
 - Estruário
 - Margem continental
 - Bacia Litóclástica
 - Marinho profundo
 - Leques subaquáticos

Solter dicionário | Nova classe | Editar classe | Solter classe | Cancelar edição

Nome: Continental

Descrição: _____

Windows taskbar: Iniciar | KINGSTON (H:) | Microsoft PowerPoint - L... | Microsoft Excel - Dicionar... | Geologia e Recursos Min... | Mineropar - Sistema de Inf... | Relatório Ocasina com fig... | 15:11



Ambientes Geotectônicos

Microsoft Excel - Ambientes Geotectônicos - [Arquivo] [Editar] [Formatar] [Ferramentas] [Ajuda]

Arquivos: Ambientes Geotectônicos

Mais opções disponíveis | Lista subcategorias

- Ambientes Geotectônicos
 - Arco Magmático
 - Arco Continental
 - Arco Orogênico ou de Belt
 - Audocugero
 - Bacia (inclui classificação tectônica de bacia)
 - Foreland
 - Foreland de rochas (Mésicas)
 - Foreland ou Sobreeira de Molesca
 - Graben
 - Graben de Belt
 - Hinterland
 - Hot Spot
 - Impulsão
 - Intra-arco
 - Intra-arco
 - Intracontinental
 - Intracontinental
 - Intracontinental
 - Magmas Continental Alta
 - Magmas Continental Parva
 - Oleto MOR
 - Oleto S32
 - Ranamento tectônica
 - Ranamento Foreland
 - RA
 - RA continental
 - Transcontinental
 - Transcontinental ou PUA-Apud
 - Trenchia
 - Zonas de cisalhamento intra-arcos
 - Zonas de cisalhamento intra-arcos

Salvar diccionario | Novo classe | Editar classe | Salvar classe | Cancelar edição

Classe (Arquivo) (Novo):

Descrição:

16:44

Classificação de bacias sedimentares

Microsoft Excel - Classificação de bacias sedimentares - [Arquivo] [Editar] [Formatar] [Ferramentas] [Ajuda]

Arquivos: Tipos de Bacia Sedimentar

Mais opções disponíveis | Lista subcategorias

- Tipos de Bacia Sedimentar
 - Audocugero
 - Foreland de rochas (Mésicas)
 - Graben
 - Hinterland
 - Impulsão
 - Intra-arco
 - Intra-arco
 - Ranamento
 - Intracontinental
 - Intracontinental
 - Magmas Continental Parva
 - Oleto S32
 - Ranamento tectônica (Oleto)
 - RA
 - Foreland ou Sobreeira de Molesca
 - Transcontinental
 - Transcontinental ou PUA-Apud
 - Trenchia

Salvar diccionario | Novo classe | Editar classe | Salvar classe | Cancelar edição

Classe (Arquivo) (Novo):

Descrição:

16:45



Alguns exemplos de entrada de dados geológicos no Programa Mina

Dados gerais de estações de campo

Mina 0.15 - Sistema de informações da Mineropar - [Estação de campo]

Projeto Estações Perfil horizontal Dados Visualizar no mapa Visualizar no Google Earth Mapa Dados Visualizar IAP Usuário Dependentes

Dados externos Ferramentas Recursos Exportar

Estação **DM1430** 13467 de 13565

Descrição da estação Dados Mapa Morfologia do corpo Metadados

Data Técnico responsável

Projeto Tese de pós-doutorado Ossama Mohamed Miled Hasea

Tipo estação Levantamento geológico Tipo afloramento Rocha aflorante

Perfil horizontal Editar

Localização Descrição Características da paisagem Fotos da estação

Coordenadas

Digite coordenadas: **GARMIN 3 Plus**

Google Earth: Coordenadas de Base de dados

Datum: **SETUPS** Fuso: **21** Hemisfério: **N**

Unidade: **Graus decimais** **gr/min's ss"** Cota:

x: **73494E**

y: **712708C** Atualizar

Localidade

Município

Dados gerais de estações de campo

Mina 0.15 - Sistema de informações da Mineropar - [Estação de campo]

Projeto Estações Perfil horizontal Dados Visualizar no mapa Visualizar no Google Earth Mapa Dados Visualizar IAP Usuário Dependentes

Dados externos Ferramentas Recursos Exportar

Estação **DM1430** 13467 de 13565

Descrição da estação Dados Mapa Morfologia do corpo Metadados

Data Técnico responsável

Projeto Tese de pós-doutorado Ossama Mohamed Miled Hasea

Tipo est. **Levantamentos Geológicos**

Visualizar IAP

Perfil h. **Trabalhos acadêmicos**

Teses

Localiz. **Teses doutorado**

Teses pós-doutorado

Tese de pós-doutorado Ossama Mohamed Miled Hasea

Conce. **Dissertações**

Google **Monografias**

Datum: **SETUPS** Fuso: **21** Hemisfério: **N**

Unidade: **Graus decimais** **gr/min's ss"** Cota:

x: **73494E**

y: **712708C** Atualizar

Localidade

Município



Dados gerais de estações de campo

Mina 0.1B - Sistema de informações da Mineropar - [Estação de campo]

Projeto Estações Perfil horizontal Dados Visualizar no mapa Visualizar no Google Earth Mapa Dados Vistoria IAP Usuário
 Dicionários Dados externos Ferramentas Recursos Exportar

Estação **DM1430** 13467 de 13565 Mapa Google Metadados

Descrição da estação Dados Mapa Morfologia do corpo Metadados

Data Técnico responsável

Projeto Tese de pós-doutorado Ossama Mohamed Milad Harara

Tipo estação Levantamento geológico Tipo afloramento Rocha aflorante

Perfil horizontal Editar

Localização Descrição Características da paisagem Fotos da estação

Granitos cinzento fino com enclaves circulares e elipsoidais

Dados gerais de estações de campo

Mina 0.1B - Sistema de informações da Mineropar - [Estação de campo]

Projeto Estações Perfil horizontal Dados Visualizar no mapa Visualizar no Google Earth Mapa Dados Vistoria IAP Usuário
 Dicionários Dados externos Ferramentas Recursos Exportar

Estação **DM1430** 13467 de 13565 Mapa Google Metadados

Descrição da estação Dados Mapa Morfologia do corpo Metadados

Data Técnico responsável

Projeto Tese de pós-doutorado Ossama Mohamed Milad Harara

Tipo estação Levantamento geológico Tipo afloramento Rocha aflorante

Perfil horizontal Editar

Localização Descrição Características da paisagem Fotos da estação

Ocupação Cobertura vegetal Excluir características da paisagem

tipo	Σ	tipo	Σ

Exposição litológica
 Pedregosidade
 Rochosidade

Contexto geomorfológico da encosta Relevo Sistema de drenagem

Posição	Amplitude	Densidade
Forma	Inclinação	Padrão



Dados gerais de estações de campo

Mina 0.1B - Sistema de informações da Mineropar - [Estação de campo]

Projeto Estações Perfil horizontal Dados Visualizar no mapa Visualizar no Google Earth Mapa Dados História IAP Usuário

Dicionários Dados externos Ferramentas Recursos Exportar

Estação **OM1366** 13448 de 13565 Mapa Google Metadados

Descrição da estação **Dados** Mapa Morfologia do corpo Metadados

Unidade descritiva: 1 de 1 + Nova unidade Perfil vertical Estação 5028 idade 3871

Perfil vertical intervalo:

Litologia idEst 16028 idUnid 13871 idRo 3813

Estruturas tectônicas Grupo litológico Rocha metamórfica Rocha: Biotita-Anfibólio Gnaiss

Morfologia da unidade geológica Grupo protólito Rocha plutônica Quartzozonodiorito

Contato litológico Unidade litostratigráfica Idade: idEst 16028 idUnid

Mineralização e depósitos minerais Descrição e ensaios litológicos

Ambiente geotectônico Descrição litológica Texturas Estruturas Metamorfismo Alteração hidrotermal Análises de amostras Petrotectônica

Levantamento geofísico Petrografia Litoquímica Geologia isotópica Geocronologia Ensaio geotécnico Foto amostra

Levantamento geoquímico 1/1 amostra id: 2347 Amostra: OM1366 Nova amostra

Mineralização e depósitos minerais Ensaios disponíveis p/ a amostra

Mineralização e depósitos minerais Descrição macro Norma CIPW
Petrografia Análise química traço
Análise química maiores Análise química TR

Amostra	Tipo	material	Análises e ensaios	Motivo
OM1366	Mão	Rocha	11111100000000	

Dados gerais de estações de campo

Mina 0.1B - Sistema de informações da Mineropar - [Estação de campo]

Projeto Estações Perfil horizontal Dados Visualizar no mapa Visualizar no Google Earth Mapa Dados História IAP Usuário Dicionários

Dados externos Ferramentas Recursos Exportar

Estação **LM35** 1 de 13565 Mapa Google Metadados

Descrição da estação **Dados** Mapa Morfologia do corpo Metadados

Unidade descritiva: 2 de 7 + Nova unidade Perfil vertical Estação 1 idade 2

Perfil vertical intervalo:

Litologia idEst 1 idUnid 2 idRo 1

Estruturas tectônicas Grupo litológico Rocha plutônica Rocha: Clonítide Meta-granito

Morfologia da unidade geológica Grupo protólito Minerais modificadores Classe Granito

Contato litológico Unidade litostratigráfica Clonítide Nome Granito Jrid 2

Mineralização e depósitos minerais Idade: Proterozóico

Ambiente geotectônico Descrição litológica

Levantamento geofísico Tonalito
Plagiogranito
Granodiorito
Leuco-Granodiorito
Sienogranito
Leuco-Sienogranito
Monzogranito
Monzo-Sienogranito
Leuco-Monzo-Sienogranito

Levantamento geoquímico

Mineralização e depósitos minerais

Mineralização e depósitos minerais



Dados de minerais constituintes das rochas, porcentagens e descrições petrográficas

Análises petrográficas

Amostra: BP288 1/1 Tipo: Mão Material: Rocha

Grupo litológico: Rocha metamórfica Rocha: Gnaiss migmatítico sienogranítica

Nova lamina: Lamina BP288 Seção: 1 de 1 Ficha: Lote N° idEst:12286 idUnid:12512

Seção: 0 de 0 Tratamento: idlamina_delg:763

Descrição macroscópica da amostra Descrição microscópica Fotos e croquis

Descrição das relações mineralógicas e texturais

Textura

Descrição mineralogia

Mineralogia 4 de 9

Mineral	%	Importância
Quartzo	22	
Microclíneo	51	
Plagioclásio	16	
Tumalina	9	
Torita		
Tremolita		
Tridimita		
Tritomita		
Tschermakita		
Tungstato		
Tumalina		

Observações do mineral **Tumalina**

Cor/pleocroísmo
Forma cristais
Granulometria
Clivagem
Geminção
Alteração
Inclusões
Birefringência: ordem
Ângulo de Extinção: reta oblíqua - ângulo
Relevo: alto médio baixo

Descrição complementar
An15

Dados de texturas

Mina 0.1B - Sistema de informações da Mineropar - [Estação de campo]

Projeto Estações Perfil horizontal Dados Visualizar no mapa Visualizar no Google Earth Mapa Dados História IAP Usuário Dicionários

Dados externos Ferramentas Recursos Exportar

Estação: LM35 1 de 13565 Mapa Google Metadados

Descrição da estação: Dados Mapa Morfologia do corpo Metadados

Unidade descritiva: 2 de 7 Nova unidade Perfil vertical Estação: 1 idade: 2

Perfil vertical intervalo:

Litologia idEst 1 idUnid 2 idIta 1

Grupo litológico: Rocha plutônica Rocha: Clatôide Meta-granito

Grupo protólito

Unidade litoestratigráfica: Batólito Granítico Três Córregos

Idade: Proterozóico (2500-542 Ma) idEst1 idUnid2 idIta

Descrição e ensaios litológicos

Descrição litológica Texturas Estruturas Metamorfismo Alteração hidrotermal Análises de amostras Petrotectônica

Textura

Anti-Rapakivi

- Defomação em estado sólido
- Dinâmica dos magmas
- Densidade
- Mistura (Mixing) de Magmas
 - Orbicular
 - Anti-Rapakivi
 - Ocular
 - Biotita acicular
 - Anfibólio acicular
 - Apatita acicular



Dados de Análises Químicas de rochas (óxidos)

Amostra DM298 1/1 Tipo 335 Material Rocha Salvar

Grupo litológico Rocha metamórfica Rocha: Biotita-Arribólio Gneisse granulítico

Ensaio 1 de 1 Material analisado Rocha total

Observação

Laudo analítico
Laboratório
Identificação
Lote N° Data
Responsável DicioEdr2

Preparação da amostra
Tipo de tratamento DicioEdr5
Secagem Incineração
Fração Separação
Digestão DicioEdr6

Rocha total - elementos maiores Elementos traço Terras raras Norma CIPW Determinações específicas

Composto 1/11

Composto	Teor
LOI	0,01
P2O5	0,47
K2O	1,02
Na2O	3,72
CaO	5,71
MgO	4,79
MnO	0,17
Fe2O3T	11,57
AL2O3	16,43
TiO2	1,35

Parâmetros analíticos p/ LOI
Método
Unidade de medida
Limite detecção
Erro
Unidade

Dados de Análises Químicas (traços)

Amostra DM298 1/1 Tipo 335 Material Rocha Salvar

Grupo litológico Rocha metamórfica Rocha: Biotita-Arribólio Gneisse granulítico

Ensaio 1 de 1 Material analisado Rocha total

Observação

Laudo analítico
Laboratório
Identificação
Lote N° Data
Responsável DicioEdr2

Preparação da amostra
Tipo de tratamento DicioEdr5
Secagem Incineração
Fração Separação
Digestão DicioEdr6

Rocha total - elementos maiores Elementos traço Terras raras Norma CIPW Determinações específicas

Elemento 1 de 23

Elemento	Teor
Ag	0,5
Be	2
Cd	0,5
Bi	5
Zn	130
Pb	19
Cu	31
V	143
Sc	27
Ni	88
Cr	394

Parâmetros analíticos p/ Ag
Método analítico
Unidade de medida
Limite detecção
Erro Unidade



Dados de Análises Químicas (Terras Raras)

Amostra: OM298 | 1/1 | Tipo: | Material: Rocha | Salvar

Grupo litológico: Rocha metamórfica | Rocha: Biotita-Anfíbólio Gnaiss granítico

Ensaio 1 de 1 | Material analisado: Rocha total

Observação

Laudo analítico

Laboratório: | Preparação da amostra

Identificação: | Tipo de tratamento: DicioEdit5

Lote N°: | Data: | Secagem: | Incineração: |

Responsável: DicioEdit2 | Fração: | Separação: |

Digestão: DicioEdit6

Rocha total - elementos maiores | Elementos traço | **Terras raras** | Norma CIPW | Determinações específicas

Elemento 1/8

Elemento	Teor
La	58,4
Ce	140
Nd	62
Sm	9,5
Eu	2,23
Tb	1,3
Yb	3,4
Lu	0,45

Parâmetros analíticos p/ La

Método analítico

Unidade de medida

Limite detecção

Erro | Unidade

Dados de estruturas (foliações)

Projeto: Estações | Perfil horizontal | Dados | Visualizar no mapa | Visualizar no Google Earth | Mapa | Dados | História | Usuário | Dicionários

Estação: MJ435 | 3 de 14 | Mapa | Google | Metadados

Descrição da estação: Dados | Mapa | Morfologia do corpo | Metadados

Unidade descritiva: 1 de 1 | + Nova unidade | Perfil vertical | Estação: 4685 | idade: 2522

Perfil vertical intervalo:

Litologia: idEst 14685 | idUnid 12522 | idItm 2454

Grupo litológico: Rocha metamórfica | Rocha: Biotita-Anfíbólio Gnaiss

Grupo protólito:

Unidade tectonoestratigráfica: Embasamento Arqueano Paleoproterozóico

Idade: | idEst 14685 | idUnid 12522 | idItm

Descrição e ensaios litológicos

Descrição litológica | Texturas | Estruturas | Metamorfismo | Alteração hidrotermal | Análises de amostras | Petrotectônica

Foliação Gnássica

Estruturas pós-formacionais

Estruturas reliquias

Estruturas ígneas | Estruturas sedimentares | Estruturas metamórficas



Dados de direção e mergulho de foliações

Mina 0.16 - Sistema de informações da Mineropar - [Estação de campo]

Projeto Estações Perfil horizontal Dados Visualizar no mapa Visualizar no Google Earth Mapa Dados História IAP Usuário

Dicionários Dados externos Ferramentas Recursos Exportar

Estação MJ452 17 de 19

Descrição da estação Dados Mapa Morfologia do corpo Metadados

Unidade descritiva: 1 de 1

Perfil vertical intervalo: Estação 4694 idade 2531

Litologia idEst 14694 idUnid 12531 idItm

Estruturas tectônicas Estruturas tectono-metamórficas foliações e lineações Fraturas Falhas Dobras Indicadores cinemáticos

Morfologia da unidade geológica

Contato litológico

Mineralização e depósitos minerais

Ambiente geotectônico

Levantamento geofísico

Levantamento geoquímico

Mineralização e depósitos minerais

Mineralização e depósitos minerais

Tipos e medidas estruturais

Selecionar estruturas: Foliação Gnáissica Nova

Estrutura	Azimute	Mergulho	Fase	Obs
Foliação Gnáissica	276	76		

Dados de direção e mergulho de fraturas

Mina 0.16 - Sistema de informações da Mineropar - [Estação de campo]

Projeto Estações Perfil horizontal Dados Visualizar no mapa Visualizar no Google Earth Mapa Dados História IAP Usuário

Dicionários Dados externos Ferramentas Recursos Exportar

Estação MJ246 1 de 19

Descrição da estação Dados Mapa Morfologia do corpo Metadados

Unidade descritiva: 1 de 1

Perfil vertical intervalo: Estação 4670 idade 2515

Litologia idEst 14678 idUnid 12615 idItm

Estruturas tectônicas Estruturas tectono-metamórficas foliações e lineações Fraturas Falhas Dobras Indicadores cinemáticos

Morfologia da unidade geológica

Contato litológico

Mineralização e depósitos minerais

Ambiente geotectônico

Levantamento geofísico

Levantamento geoquímico

Mineralização e depósitos minerais

Mineralização e depósitos minerais

Medidas de fraturas

Azimute	Mergulho	Fase	Preenchimento



Dados de Falhas

Mina 0.16 - Sistema de informações da Mineropar - [Estação de campo]

Projeto Estações Perfil horizontal Dados Visualizar no mapa Visualizar no Google Earth Mapa Dados História IAP Usuário

Dados externos Ferramentas Recursos Exportar

Estação MJ246 1 de 19

Descrição da estação Dados Mapa Morfologia do corpo Metadados

Unidade descritiva: 1 de 1 + Nova unidade + Perfil vertical Estação 4678 idade 2515

Perfil vertical intervalo:

Litologia idEst 14678 idUnid 12515 idRto

Estruturas tectônicas Estruturas tectono-metamórficas foliações e lineações Fraturas Falhas Dobras Indicadores cinemáticos

Morfologia da unidade geológica

Contato litológico Padrão de falha

Mineralização e depósitos minerais

Ambiente geotectônico

Levantamento geofísico

Levantamento geoquímico

Mineralização e depósitos minerais

Mineralização e depósitos minerais

Plano de falha

Azimute	Mergulho

Rejeito de falha

Azimute	Mergulho	Rejeito (m)	Observação

Dados de Dobras

Mina 0.16 - Sistema de informações da Mineropar - [Estação de campo]

Projeto Estações Perfil horizontal Dados Visualizar no mapa Visualizar no Google Earth Mapa Dados História IAP Usuário

Dados externos Ferramentas Recursos Exportar

Estação MJ246 1 de 19

Descrição da estação Dados Mapa Morfologia do corpo Metadados

Unidade descritiva: 1 de 1 + Nova unidade + Perfil vertical Estação 4678 idade 2515

Perfil vertical intervalo:

Litologia idEst 14678 idUnid 12515 idRto

Estruturas tectônicas Estruturas tectono-metamórficas foliações e lineações Fraturas Falhas Dobras Indicadores cinemáticos

Morfologia da unidade geológica

Contato litológico Padrão de interferência de dobramento

Mineralização e depósitos minerais

Ambiente geotectônico

Levantamento geofísico

Levantamento geoquímico

Mineralização e depósitos minerais

Mineralização e depósitos minerais

Medidas

Flancos de dobra

Azimute flanco 1	Mergulho flanco 1	Azimute flanco 2	Mergulho flanco 2

Plano axial e eixo de dobras

Azimute plano	Mergulho plano	Azimute eixo	Mergulho eixo



Dados de indicadores cinemáticos

Miner 0.1B - Sistema de informações da Mineropar - [Estação de campo]

Projeto Estações Perfil horizontal Dados Visualizar no mapa Visualizar no Google Earth Mapa Dados Vitória IAP Usuário

Dicionários Dados externos Ferramentas Recursos Exportar

Estação OM1279 13360 de 13565

Descrição da estação Dados Mapa Morfologia do corpo Metadados

Unidade descritiva: 1 de 1 Estação 5940 idade 3783

Perfil vertical intervalo

Litologia idEst 15940 idUnid 13783 idItm

Estruturas tectônicas

Morfologia da unidade geológica

Contato Biológico

Mineralização e depósitos minerais

Ambiente geotectônico

Levantamento geofísico

Levantamento geoquímico

Mineralização e depósitos minerais

Mineralização e depósitos minerais

Litologia Estruturas tectono-metamórficas foliações e Eneações Fraturas Falhas Dobras Indicadores cinemáticos

Indicadores cinemáticos

- Arfivólio fish
- Assimetria de dobra
- Boudin
- Cauda de recristalização
- Desvio de trajetória de foliação
- Estria e Sten de falha
- Foliação Obliqua

Dados geocronológicos: Exemplo U-Pb

EstacaoGeocronologia

Amostra OM298 1/1 Tipo Mão Material Rocha

Material de origem Rocha metamórfica

Biotita-Anfibólio Gnaiss granulítico

Determinação 1 de 3

Posição na escala do tempo geológico Rhyaciano (2300-2050 Ma)

Método U-Pb (U, Convencional, TIMS) Tipo de material Mineral Material analisado Zircão

Datação Idade 2068 Erro 15

Idades concordantes

Intercepto superior Erro

Intercepto inferior Erro

Intervalo de idade inferior superior

Observações

Zircão elipsoidal



Dados de isótopos estáveis

Geologia isotópica

Amostra: 1/0 Tipo: Material

Material de origem: Rocha metamórfica

Biotita-Anfíbólio Gnaiss Tonalítico

Indicador petrogenético: isótopos estáveis

0/0

Método	Tipo de material	Material analisado	Valor	Erro
δO^{18} (‰) Interpretação	Aqua			
	Fóssil			
	Gás			
	Laterita			
	Mineral			
	Óleo			
	Rocha Total (RT)			

Dados de indicadores petrogenéticos

Geologia isotópica

Amostra: 1/0 Tipo: Material

Material de origem: Rocha metamórfica

Biotita-Anfíbólio Gnaiss Tonalítico

Indicador petrogenético: isótopos estáveis

0/0

Método	Tipo de material	Material analisado
$Sr^{87}/Sr^{86}(T)$ Sr/Sr		
Nd/Nd		
Nd		
Sr		
Os/Os		
Os		
Hf		



Dados de morfologia de unidades geológicas

Mina 0.1B - Sistema de informações da Mineropar - [Estação de campo]

Projeto Estações Perfil horizontal Dados Visualizar no mapa Visualizar no Google Earth Mapa Dados História IAP Usuário Dicionários

Dados externos Ferramentas Recursos Exportar

Estação MJ246 1 de 19

Descrição da estação Dados Mapa Morfologia do corpo Metadados

Unidade descritiva: 1 de 1 Estação 4678 Idade 2515

Perfil vertical intervalo:

Litologia idEst 14678 idUnid 12515 idItó

Estruturas tectônicas Abrangência dos dados -> Aplicar para a unidade geológica Aplicar para a estação de campo

Morfologia da unidade geológica Forma e dimensões Visualizar geometria

Contato litológico Forma do corpo 0/0

Mineralização e depósitos minerais

Ambiente geotectônico

Levantamento geofísico

Levantamento geoquímico

Mineralização e depósitos minerais

Mineralização e depósitos minerais

Dimensões do corpo

Extensão longitudinal m

Extensão transversal média m

Espessura média m

Área superficial m²

Volume estimado m³

Tipos de intrusões ígneas

Dados de unidades geológicas

Mina 0.1B - Sistema de informações da Mineropar - [Estação de campo]

Projeto Estações Perfil horizontal Dados Visualizar no mapa Visualizar no Google Earth Mapa Dados História IAP Usuário Dicionários

Dados externos Ferramentas Recursos Exportar

Estação LM35 1 de 13565

Descrição da estação Dados Mapa Morfologia do corpo Metadados

Unidade descritiva: 2 de 7 Estação 1 Idade 2

Perfil vertical intervalo:

Litologia idEst 1 idUnid 2 idItó 1

Estruturas tectônicas Grupo litológico Rocha plutônica Rocha: Cronóide Meta-granito

Morfologia da unidade geológica Grupo protótipo

Contato litológico Unidade litoestratigráfica Batólito Granítico Três Córregos

Idade: Proterozóico (2500-54)

Descrição litológica Texturas

- ± Batólito Granítico Cunhaporanga
- Batólito Granítico Cunhaporanga
- Unidade Granítica São Sebastião
- Unidade Granítica Conceição
- Unidade Granítica Arrieros-Cerro Azul
- Unidade Granítica Pains
- Suites Graníticas do Domínio Paranaguá
- Suite Granítica Rio do Poço
- Suite Granítica Morro Inglês
- Suite Granítica Canavieiras-Estrela



Dados de petrotectônica (ou litopetrotectônica): Classificação tectônica de rochas ígneas e metamórficas

Perfil vertical intervalo:

Litologia idE:st 14631 idUnid 12520 idItm 2470

Grupo litológico: Rocha metamórfica **Rocha:** Bixita-Actinolito Gnaiss

Grupo protólito:

Unidade litostratigráfica: Embasamento Arqueano-Paleoproterozoico

Idade: idE:st 14631 idUnid 12520 idItm

Descrição e ensaios litológicos

Descrição litológica | Texturas | Estruturas | Metamorfismo | Alteração hidrotermal | Análises de amostras | **Petrotectônica**

Tipologia ígnea

Tipologia litopetrotectônica

TTG (Tronjêmites-Tonalitos-Granodioritos) Arqueana e/ou Paleoproterozoico

- Granito tipo A (Granito Alcalino ou Anorogênico)
- Granito tipo S (Granito de origem sedimentar)
- Granito tipo PA (Granito peralcalino)
- Granito tipo M (Granito de origem mantélica)
- Granito tipo C
- Granito de tipologia indefinida
- TTG (Tronjêmites-Tonalitos-Granodioritos)
- TTG (Tronjêmite-Tonalito-Granodiorito de arco magmático)
- TTG (Tronjêmites-Tonalitos-Granodioritos) Arqueana e/ou Paleoproterozó

Dados de ambientes geotectônicos

Perfil vertical intervalo:

Litologia idE:st 14670 idUnid 12515 idItm

Ambiente geotectônico

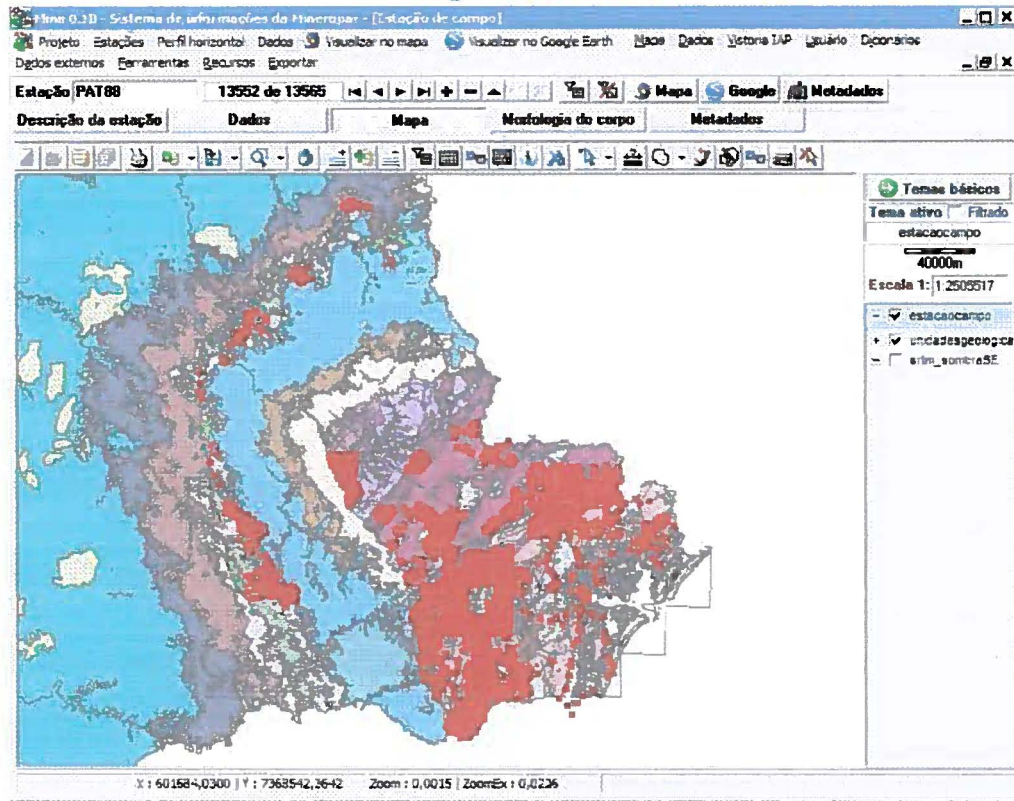
Arco Magmático

Selecionar: Arco Magmático

- Arco Magmático Continental
- Arco Magmático Océanico (Arco de Ilha)
- Andacógeno
- Bacia (escolher classificação tectônica de bacias)
- Foreland
- Foreland de retroarco (Molássica)
- Foreland ou Sobrecarga ou Molássica)
- Graben



Dados geológicos de estações de campo de projetos Mineropar e de algumas dissertações, teses e pesquisas acadêmicas inseridas no Programa Mina





Organização dos Projetos Mineropar

- **Organização dos relatórios dos projetos da Mineropar (tabela a seguir) de acordo com:**
 - Nome do projeto
 - Unidade geológica
 - Tipos de minérios e substâncias minerais investigadas.
- **Seleção dos mapas geológicos dos projetos para georreferenciamento e posterior utilização na atualização do Mapa geológico do estado**

Relação dos projetos de pesquisas geológicas da Mineropar e de outros convênios com outras instituições.

1	PROJETOS REGIONAIS DE LEVANTAMENTO DE DADOS, AVALIAÇÃO, SÍNTESES E PESQUISAS BIBLIOGRÁFICAS NO PRÉ-CAMBRIANO PARANAENSE
1.1	Lineamentos tectônicos e possíveis mineralizações associadas no Pré-Cambriano paranaense
1.2	Estudos geológicos integrados do Pré-Cambriano paranaense: texto final
1.3	Relatório de compilação e síntese sobre as rochas graníticas no estado do Paraná
1.4	Anteprojeto kimberlitos: reconhecimento da região diamantífera do Estado do Paraná
1.5	Estudo preliminar dos mármore e granitos
1.6	Aspectos estruturais e estratigráficos do Grupo Açungui e da Formação Itaiacoca no estado do Paraná
2	PROJETOS NA SERRA DO MAR
2.1	Reconhecimento geológico e avaliação de potencialidades das ocorrências minerais da Serra da Prata, Guaratuba – PR
2.2	Estudos geoquímicos orientativos na área da Serra da Prata-PR
2.3	Projeto ferro (Antônia) : relatório final da primeira fase
2.4	Geologia e prospecção mineral na região do Rio da Serra Negra
2.5	Pesquisa mineral na região do Rio da Serra Negra – Guaraqueçaba
2.6	Geologia e prospecção mineral em áreas do complexo cristalino nas regiões de Campo Largo, Contenda e Quitandinha
	Projeto Guaraqueçaba prospecção de Cu Pb Ni Ag Zn Co Relatório de Pesquisa DNPM 82037379
3	PROJETO CAPIVARI-PARDO
3.1	Geologia e potencial econômico da área Capivari/Pardo
3.2	Projeto Capivari Pardo: Prospecção geoquímica regional
3.3	Reconhecimento geológico da região da anticlinal do Setuva
3.4	Verificação de anomalias geoquímicas nas áreas Capivari-Pardo e Antiforme do Setuva
3.5	Considerações e recomendações acerca da metodologia de prospecção por Geoquímica de Solos, no projeto Estanho
3.6	Prospecção de semidetalhe para Sn, W, Ta e Nb na área Capivari-Pardo: Relatório de etapa – texto e anexos



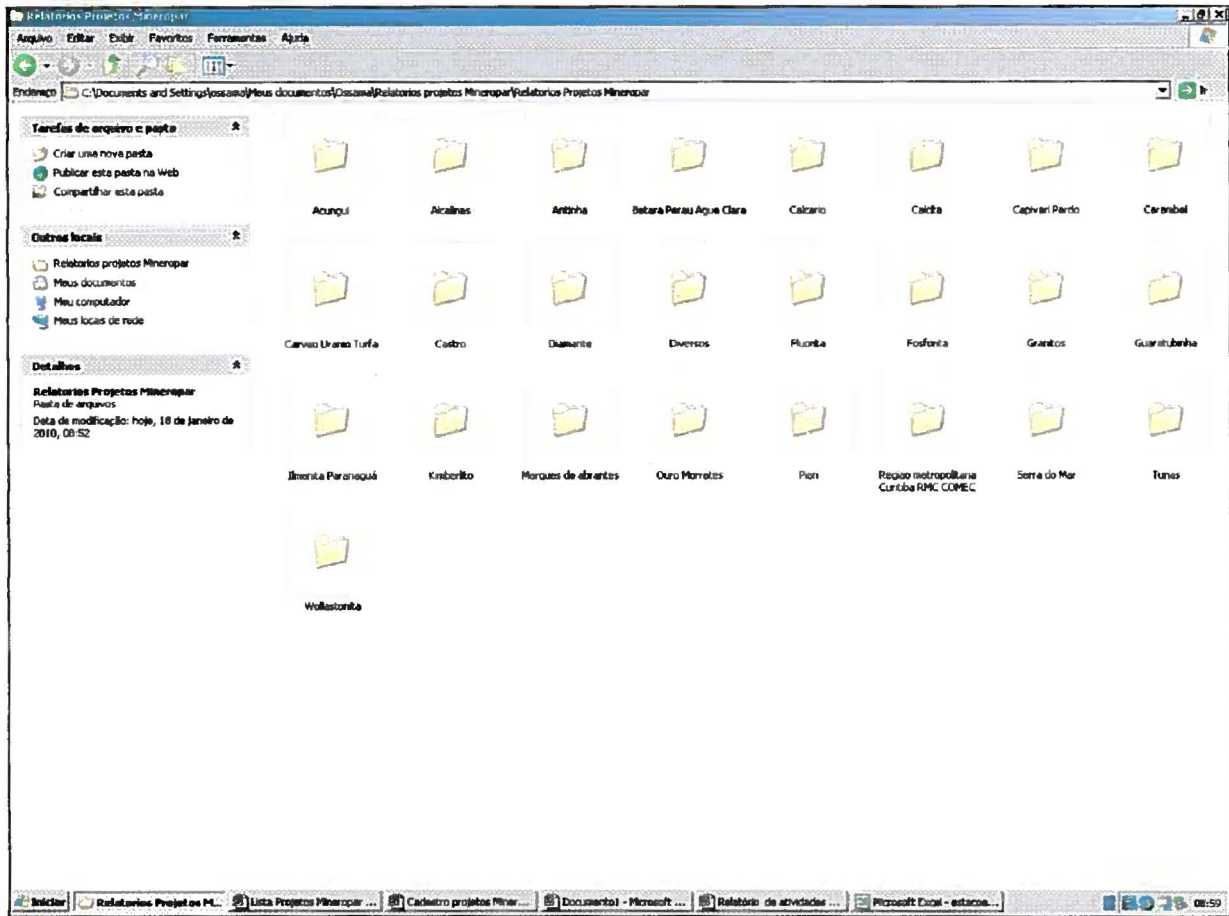
3.7	Prospecção de detalhe no Alvo Sn – Cantagalo, fase 1, relatório de etapa
3.8	Prospecção de detalhe no Alvo Sn Cantagalo: relatório de etapa, fase II
3.9	Prospecção de detalhe no Alvo Sn – Paraíso: fase 1
3.10	Interpretação dos dados de geoquímica de solos – Projeto Estanho -Cantagalo
3.11	Marquês de Abrantes (Au e Pb): relatório de etapa, pesquisa de alvo geológico - geoquímico
3.12	Projeto Marquês de Abrantes: prospecção de detalhe
3.13	Projeto Nagib Silva: etapa de semidetalhe, Volume I, relatório final, texto e anexos. Projeto Marques de Abrantes: Interpretação dos dados de geoquímica de detalhe
3.14	Estudos geoquímicos orientativos na área de Águas Claras, PR Projeto Águas Claras Relatório de etapa geoquímica de solos e escavações
4	PROJETOS NA FORMAÇÃO (SEQUÊNCIA) PERAU
4.1	Geologia e potencial econômico da sequência Perau
4.2	Avaliação de alvos na Faixa Perau
4.3	Levantamento geoquímico de semidetalhe nas áreas dos núcleos Alto-Açungui, Betara e Tigre, Sequência Perau – PR
4.4	Projeto ultramorfitos programa de interpretação de anomalias
4.5	Projeto Betara: relatório de etapa 01
4.6	Projeto Betara: Relatório de etapa 02
4.7	Mapeamento geológico na região dos rios Capivara, Conceição e Meia Lua
5	PROJETOS NA FORMAÇÃO ÁGUA CLARA
5.1	Geologia e potencialidades econômicas da Formação de Água Clara-PR
5.2	Reconhecimento geoquímico regional na área da Formação Água Clara
5.3	Geologia e potencialidades econômicas da região de São Silvestre (PR)
5.4	Relatório de etapa do prospecto São Silvestre, cheque de anomalias. Arroio Belisário (Santa Quitéria) (Au e Sn), Arroio Bela Vista (Pb), Arroio das Pedras e Pavãozinho (Co, Cu, Pb e Zn)
5.5	Relatório de etapa - prospecto São Silvestre Alvo Arroio do Bugio (AN IX-3)
5.6	Relatório final do Projeto São Silvestre (Alvo Arroio do Bugio)
5.7	Prospecção de detalhe, para Pb-Zn no Alvo Bugio Formação Água Clara –Paraná.
5.8	Pesquisa geológica na região de Caçador-Jacuí: relatório de progresso
5.9	Geologia e potencialidade econômica da Sequência Antinha
5.10	Levantamento geoquímico de semi-detalhe na área da Sequência Antinha – PR
5.11	Levantamento geoquímico de semidetalhe na área de Caçador-Jacuí Levantamento geoquímico de semidetalhe na área de São Silvestre
6	PROJETOS GRANITOS
6.1	Projeto granitos Serra do Carambeí: Relatório de pesquisa
6.2	Reconhecimento geológico da Faixa Três Córregos
6.3	Reconhecimento geológico do bordo sudeste do granodiorito São Sebastião
6.4	Reconhecimento regional do Complexo granítico Cunhaporanga
6.5	Reconhecimento dos granitos Taici e Rio Abaixo
6.6	Estudo geoquímico orientativo de solos na área do Granito Rio Abaixo - Rio Branco do Sul
6.7	Reconhecimento do potencial da área Norte de Volta Grande
6.8	Ante projeto Ribeirão da Lagoa: relatório de fase Classificação de granitóides síntese preliminar aplicação em exploração Relatório de compilação e síntese sobre rochas graníticas do estado do Paraná volume 1
7	PROJETOS FLUORITA
7.1	Estudos geoquímicos orientados na área de Volta Grande, PR
7.2	Relatório preliminar da fluorita da Volta Grande, etapa 1
7.3	Relatório de etapa: escavações do Alvo Volta Grande 1
7.4	Fluorita de Volta Grande: descrição das trincheiras corpo 1
7.5	Fluorita Volta Grande Relatório Final de Pesquisa DNPM 82021480 DNPM 820214/80 Vol. I e II
7.6	Fluorita Lageado Grande: relatório de etapa DNPM n. 820.141/84



7.7	Mapeamento geológico e avaliação de anomalias geoquímicas de flúor e ouro: relatório de etapa
7.8	Projeto fluorita-Itapirapuã: relatório parcial de etapa prospecção de detalhe
	Análise Econômica Fluorita Volta Grande
	Fluorita Volta grande Segunda Avaliação
	Fluorita de volta grande Parte I
	Reconhecimento do potencial da área norte de Volta Grande
8	PROJETOS ALCALINAS
8.1	Complexo alcalino de Tunas
8.2	Reconhecimento da folha Vila Branca
8.3	Geologia do maciço alcalino Banhadão – Parte I
8.4	Geologia do maciço alcalino Banhadão: Estudos de pré-avaliação geoquímica, parte 2
8.5	Geologia preliminar da região da Barra do Itapirapuã
8.6	Prospecção geoquímica de semidetalhe na região da Barra do Itapirapuã-PR
8.7	Estudos geoquímicos orientativos na área de Mato Preto, PR
8.8	Levantamento geoquímico de detalhe na área da Barra do Itapirapuã, PR
8.9	Projeto Barra do Itapirapuã: relatório de etapa
8.10	Projeto vermiculita Itapirapuã: relatório final
8.11	Projeto Barra do Itapirapuã: Relatório de etapa alvo 3
9	PROJETOS OURO
9.1	Área I - Relatório final de pesquisa
9.2	Área II - Relatório final de pesquisa
9.3	Relatório final de pesquisa áreas 820.229/84
9.4	Lavra experimental do pantanal relatório de projeto
9.5	Prospecto Ouro Batatal – Etapa de prospecção de detalhe
10	PROJETOS DIAMANTE
10.1	Projeto Diamante: Reconhecimento Regional. Relatório de fase
10.2	Relatório final – projeto de pesquisa mineral com lavra experimental DNPM 820.261/82
	Diamante aluvionar, projeto Campina dos Pupos
	Projeto Diamantes
11	OUTROS PROJETOS
11.1	Pesquisa preliminar da falha da Ribeira Adrianópolis
11.2	Projeto Canha-Carumbé: Fase regional e semidetalhe, relatório de etapa
11.3	Relatório de etapas projeto Canha-Carumbé: Alvo Canha Pb e Au
11.4	Geologia e avaliação da área de Palmeirinha/Itararé
11.5	Geologia da área de Palmeirinha – Sengés-PR
11.6	Investigação geológica preliminar na região de Itaiacoca – PR
11.7	Projeto Castro: relatório de etapa
11.8	Relatório de progresso área Barra do Açungui
11.9	Levantamento geoquímico de detalhe na área da Barra do Açungui-PR
11.10	Projeto Piên: Relatório final integrado, texto e anexos
11.11	Projeto Fosforita: relatório da primeira fase
11.12	Projeto Fosforita: etapa de semidetalhe da Área Campo Magro – Marmeleiro
11.13	Projeto Fosforita: prospecção de semidetalhe área Pacas – Fazenda Primavera. Relatório de etapa do projeto
11.14	Projeto Fosforita: Mapeamento geológico de detalhe área Pacas - Fazenda Jobar: relatório de etapa
11.15	Relatório de etapa do plano operacional São José dos Pinhais
11.16	Relatório de etapa do prospecto São Francisco
11.17	Gabro José Fernandes: Relatório parcial de pesquisa
11.18	Levantamento geoquímico de semidetalhe na sequência vulcano-sedimentar Guaratubinha - PR
11.19	Projeto metais preciosos: Prospecto Rio do Ouro, etapa de pesquisa mineral preliminar



11.20	Projeto metais preciosos: prospecto São João etapa de avaliação de semidetalhe
11.21	Projeto calcário Distrito Mineiro Capiru
11.22	Projeto Irati: mapeamento geológico/ sub - programa de prospecção de minerais energéticos
11.23	Carvão Campina dos Pupos - relatório final de pesquisa Projeto Campina dos Pupos Volume 1
11.24	Calcário de Sapopema - relatório final de pesquisa
11.25	Projeto minerais industriais - prospecto argilas de São Mateus do Sul
11.26	Prospecto Argilas do Grupo Castro: relatório de etapa
11.27	Relatório final de pesquisa, processos 820.110/88, 820.136/88, 820.157/88, 820.191/88, 820.192/88, 826.396/91
11.28	Plano de aproveitamento econômico - áreas DNPM 820.110/88, 20.136/88, 820.157/88, 826.396/91
11.29	Relatório de avaliação de areia da Formação Rio Bonito
11.30	Relatório final de pesquisa mineral positivo.
11.31	Projeto Carvão - Projeto José Lacerda Norte de Monjilinho.
11.32	Calcita Arroio do Tanque, relatório parcial de pesquisa.
11.33	Relatório parcial de pesquisa e plano para definição da potencialidade econômica do calcário da formação Irati na fazenda Santa Laura, no município de Guapirama.
11.34	Projeto Fazendas - Hulha e São Geraldo. Relatório de etapa. Análise Preliminar de Viabilidade Econômica, Calcário Guapirama Formação Irati. Avaliação preliminar do prospecto Calcáreo Formação Irati região figueira sapopema
11.35	Projeto Mina do Cedro Reconhecimento superficial de campo, calcário para cimento Carvão da fazenda Marçal estimativa econômica preliminar Projeto Carvão Relatório Final Integrado Volume 1 Projeto Integração e Avaliação Regional Área São Mateus do Sul a Siqueira Campos Potencial Carvão (dois relatórios I e II) Projeto Oeste de Ipiranga Vol I Relatório do Projeto. Potencial para carvão Projeto Oeste de Ipiranga. Mapeamento faciológico para pesquisa de carvão volume 2 Projeto Integracao Avaliação Regional Telêmaco Borba-Figueira Projeto Turfa diagnostico preliminar Paraná Tecnotema Mineropar. Área de Ribeirão das Antas Carvão Relatório Parcial Projeto minerais pesados Ilmenita Paranaguá relatório de atividades Wollastonita, relatório de etapa.
12	PROJETOS EXECUTADOS POR OUTRAS EMPRESAS
12.1	Geologia do Vale de São Sebastião e áreas vizinhas, Adrianópolis-PR
12.2	Relatório de etapa - projeto Açungui - Mapeamento geológico
12.3	Relatório sintético Mato Preto
12.4	Geofísica orientativa em Açungui - PR
12.5	Projeto Harmonia. Mapeamento geológico. Relatório Final
12.6	Projeto Marins. Mapeamento de semi detalhe para carvão - Relatório final do projeto
12.7	Avaliação metalogenética - Distrito mineiro do talco - Relatório Final
12.8	Estudos geofísicos na avaliação metalogenética do Distrito mineiro do talco Projeto: Mapeamento geológico-geotécnico da Região Metropolitana de Curitiba (4 relatórios) Inventário das Rochas Carbonatadas no Paraná Areia de Fundação. Análise da Oportunidade de Investimento no Estado do Paraná Levantamento das Potencialidades Minerais de Rio Negro delimitação de jazidas diamictitos e conglomerados para saibreiras Magnesita relatório de etapa Prata: Avaliação estatístico-econômica de oportunidade de prospecção





Organização dos dados geológicos dos projetos Mineropar e das pesquisas acadêmicas

Os dados geológicos são organizados e transferidos para o programa Mina contendo, dependendo de cada projeto ou pesquisa acadêmica, as seguintes informações:

- Número de controle da estação de campo e estação equivalente,
- Localização UTM (X e Y) da estação,
- Dados adicionais e/ou anotações em cada estação,
- Tipo de afloramento,
- Litologia (classificação de campo e estimativa visual, petrografia microscópica e estimativa por contagens em lâminas ou fatias de rochas e por análises químicas),
- Cor da rocha,
- Grau de intemperismo,
- Índice de cor,
- Granulação e granulometria,
- Mineralogia e porcentagens dos minerais,
- Número de fichas petrográficas, petrografia microscópica (quantidade lâminas),
- Texturas,
- Estruturas indicando tipo, direção (por azimute ou quadrante) e mergulho,



- Cronologia das foliações (S1, S2..), lineações (L1, L2,..) e deformações (D1, D2..),
- Tipos de indicadores cinemáticos,
- Tipos de zonas de cisalhamento,
- Tipologia ígnea,
- Tipo de intrusão ígnea,
- Tipo de metamorfismo, grau metamórfico, zona metamórfica, facies metamórfica, cronologia do eventos metamórficos (M1, M2..),
- Geocronologia U-Pb, Pb-Pb, Rb-Sr, K-Ar, Ar-Ar, Sm-Nd, Re-Os, Lu-Hf, $\text{Th}^{230}/\text{U}^{234}$, Pb^{210} , C^{14} , Be^{10} ,
- Geologia isotópica: **Radiogêncios:** $\text{Sr}^{87}/\text{Sr}^{86}(\text{T})$, $\epsilon\text{Sr}(\text{T})$, $\text{Nd}^{143}/\text{Nd}^{144}(\text{T})$, $\epsilon\text{Nd}(\text{O})$, $\epsilon\text{Nd}^{(\text{T}1)}$, $\epsilon\text{Nd}^{(\text{T}2)}$, $\text{Os}^{187}/\text{Os}^{186}(\text{T})$, $\epsilon\text{Os}^{(\text{T})}$, $\epsilon\text{Hf}^{(\text{T})}$, **estáveis:** $\delta\text{O}^{18}(\text{‰})$, $\delta\text{D}(\text{‰})$, $\delta\text{C}^{13}(\text{‰})$, δN^{15} , δS^{34} , δB^{11} ,
- Tipo de alteração hidrotermal,
- Ocorrência mineral, tipo da mineralização, geometria de mineralização, tipo do depósito mineral,
- Paleontologia,
- Ambiente de sedimentação, tipo de bacia sedimentar,
- Tipologia litoprotectônica e ambiente geotectônico,
- Unidade litoestratigráfica, domínio tectônico,
- Análises mineralógicas,
- Geoquímica de rocha, geoquímica de sedimento de corrente, geoquímica

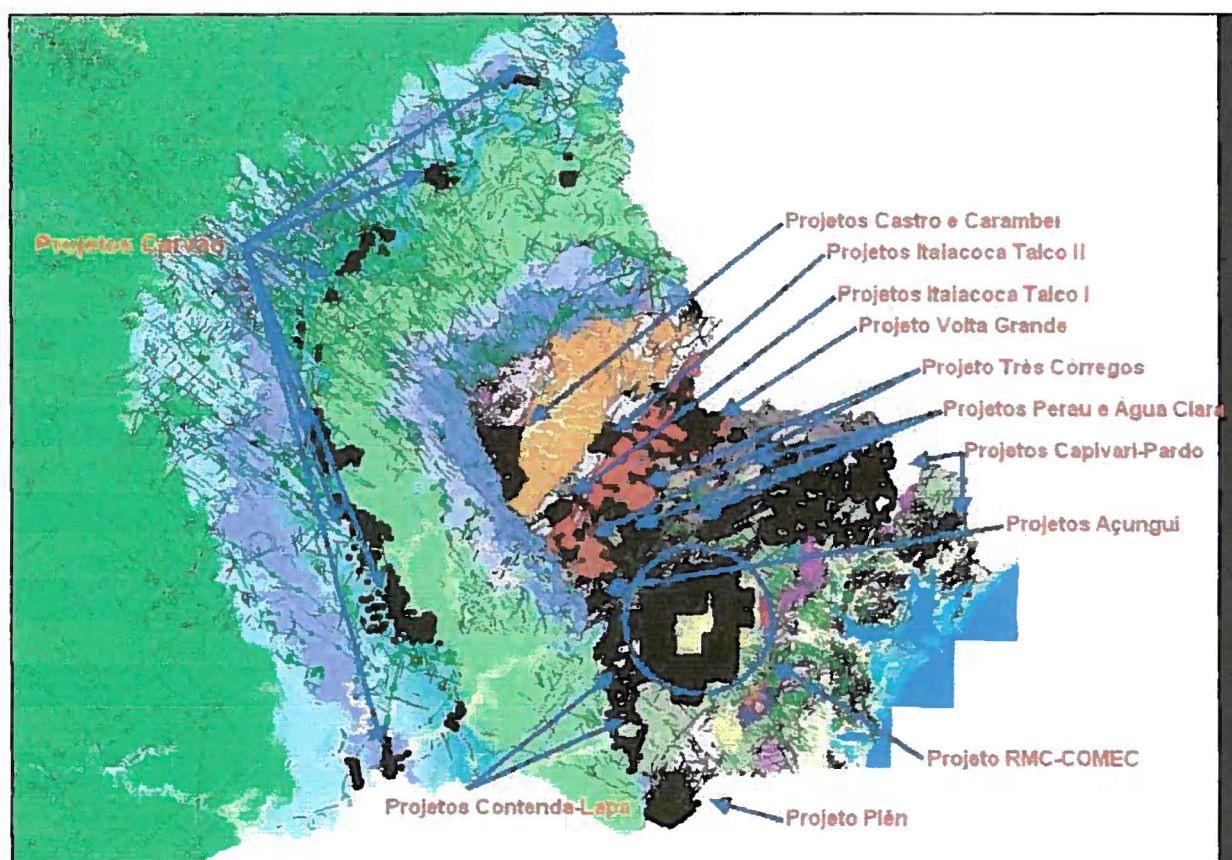


concentrado de bateia, geoquímica de solo,
geoquímica de água, geoquímica de
inclusões fluidas,

- Geofísica com dados de magnetometria,
gama-espectrometria,..outros
- Dados de Trincheiras, poços e sondagens.

Organização de dados geológicos das estações de campo da Mineropar e levantamento bibliográfico de pesquisas acadêmicas sobre a geologia do Paraná

- Organização dos dados geológicos de 14.918 estações de campo dos projetos da Mineropar (Figura abaixo);
- Dados organizados de acordo com os termos geológicos estabelecidos no programa MINA
- Dados inseridos no programa Mina.





- Levantamento das pesquisas geológicas realizadas por outras instituições (UFPR, USP, UNESP, UNICAMP, UNB e CPRM) sobre a geologia do Paraná (tabela a seguir). São trabalhos de graduação, mestrado, doutorado, pós-doutorado e livre docência e pesquisas publicadas em simpósios, congressos e revistas de geociências nacionais e internacionais.
- Os dados levantados são de mineralogia, petrologia, mapeamento geológico, estratigrafia, análise estrutural, geoquímica, geocronologia, geologia isotópica e geotectônica.



Nome	Tipo de Pesquisa / Ano	Unidade Geológica Investigada	Instituição	Estações: Dados geológicos	Shape: Mapa geológico	Shape: Legenda do Mapa Geológico
Ossama Mohamed Milad Harara	Pós-Doutorado, 2005	Complexos Luis Alves (incluindo Serra Negra) e Atuba, Suíta Granítica Piên-Mandirituba, Suíta Granítica da Serra do Mar, Domínio Paranaguá	USP	✓	✓	✓
Maria José Maluf de Mesquita	Pós-Doutorado, 2005	Núcleo Setuva	UFRGS	x	x	x
Vicente Antonio Vitorio Girardi	Livre-Docência, 1974	Complexo Máfico-Ultramáfico de Piên	USP	x	x	x
Excelsio Ruberti	Livre-Docência, 1998	Carbonatitos Mato Preto e Barra de Itaiprapuá	USP	x	x	x
Fabio Ramos Dias de Andrade	Livre-Docência, 2008	Meta-dolomitos, Formação Itaiacoca	USP	x	x	x
Vicente Antonio Vitorio Girardi	Doutorado, 1969	Morretes (Domínios Atuba e Luiz Alves)	USP	x	x	x
Excelsio Ruberti	Doutorado, 1984	Macijo Alcalino do Banhadão	USP	x	x	x
José Manoel dos Reis Neto	Doutorado, 1994	Faixa Itaiacoca e Complexo Granítico Três Córregos	USP	x	x	x
Oswaldo Siga Júnior	Doutorado, 1995	Complexos Atuba e Luis Alves, Suíta Granítica Serra do Mar, Bacias Campo Alegre e Guaratubinha	USP	x	✓	✓
Eleonora Maria Gouvêa Vasconcellos	Doutorado, 1995	Diques e "plugs" alcalinos, Vale do Ribeira	USP	x	x	x
Elvo Fassbinder	Doutorado, 1996	Formação Água Clara no Paraná	USP	x	x	x
Vanderlei Maniesi	Doutorado, 1997	Metabásicas dos Grupos Setuva e Açungui	UNESP	x	x	x
Eduardo Salamuni	Doutorado, 1998	Bacia de Curitiba	UNESP	x	x	x
Fabio Ramos Dias de Andrade	Doutorado, 1998	Carbonatito da Barra do Itaiprapuá	UNESP	x	x	x
Gilson Burigo Guimarães	Doutorado, 2000	Complexo Granítico Cunhaporanga	USP	x	✓	✓
Jefferson Picanzo	Doutorado, 2000	Granito Passa Três	USP	x	x	x
Renata de Paulo Xavier Moro	Doutorado, 2000	Formação Camarinha	USP	x	✓	✓
Ossama Mohamed Milad Harara	Doutorado, 2001	Suíta Máfica-Ultramáfica Piên, Suíta Granítica Piên-Mandirituba, Granitos Agudos do Sul, Palermo e Rio Negro e Domínio Luis Alves	USP	✓	✓	✓
Werner Weber	Doutorado, 2004	Metabásicas, formação Água Clara	USP	x	x	x
Hálcio José dos Prazeres Filho	Doutorado, 2005	Batólitos Graníticos Cunhaporanga e Três Córregos	USP	x	✓	✓
Sandra Boeira Guimarães	Doutorado, 2005	Rochas carbonáticas da Formação Capiru (PR)	UFPR	x	x	x
Frederico Meira Faleiros	Doutorado, 2008	Formação Turvo-Cajati	USP	x	x	x
Leonardo Fadel Cury	Doutorado, 2009	Terrano Paranaguá	USP	✓	✓	✓
Frederico Castro Jobim Vilalva	Doutorado, início 2007, em andamento	Granito Morro Redondo	USP	x	x	x
Excelsio Ruberti	Mestrado, 1977	Anfibolitos de Morretes, Domínios Atuba e Luiz Alves.	USP	x	x	x
Elvo Fassbinder	Mestrado, 1990	Falha da Lancinha	USP	x	x	x
Eduardo Salamuni	Mestrado, 1991	Núcleo Betara	UNESP	x	x	x
Eleonora Maria Gouvêa Vasconcellos	Mestrado, 1991	Macijo Alcalino Tunas	USP	x	x	x
Gil Francisco Pekarz	Mestrado, 1992	Granito Passa Três	UNICAMP	x	x	x
Oscar Salazar Junior	Mestrado, 1992	Ouro em Domínios Atuba e Luiz Alves	UNB	x	x	x
Sérgio Maurus Ribas	Mestrado, 1993	Complexo Máfico-Ultramáfico Piên-Tijucas	UNICAMP	x	✓	✓
Renata de Paulo Xavier Moro	Mestrado, 1993	Grupo Castro	UNESP	x	x	x
Donaldô Cordalro da Silva	Mestrado, 1994	Espectrometria Granitoides Paraná	USP	x	x	x
Gilson Burigo Guimarães	Mestrado, 1995	Granito Joaquim Nurtinho	USP	x	✓	✓
José Roberto de Góis	Mestrado, 1995	Granito Morro Redondo	USP	x	x	x
Ossama Mohamed Milad Harara	Mestrado, 1996	Suíta Máfica-Ultramáfica Piên, Suíta Granítica Piên-Mandirituba, Granito Agudos do Sul, Domínio Luis Alves.	USP	✓	✓	✓
Arlindo Akio Yamato	Mestrado, 1999	Parte da Folha Sociativa do Sul 1:50.0000	USP	x	x	x
Rodolton Stevanato	Mestrado, 1998	Depósitos de Pb e Zn na Faixa Itaiacoca - PR/SP	UFPR	x	x	x
Hálcio José dos Prazeres Filho	Mestrado, 2000	Batólitos Graníticos Cunhaporanga e Três Córregos	USP	x	✓	✓
Guilherme Augusto Rosa Guaiê	Mestrado, 2001	Granito Graciosa	USP	x	x	x
Gilberto Alexander Kaufuss	Mestrado, 2001	Núcleos Setuva, Tigra e Betara	USP	x	x	x
Sandra Boeira Guimarães	Mestrado, 2001	Os Metadolomitos da Região de Morro Azul (PR)	UFPR	x	x	x
Leonardo Fadel Cury	Mestrado, 2003	Granitos Passa Três e Chacrinha	USP	x	✓	✓
Frederico Meira Faleiros	Mestrado, 2003	Zona de cisalhamento Ribeira	USP	x	x	x
Frederico Castro Jobim Vilalva	Mestrado, 2005	Granito Morro Redondo	USP	x	x	x
Joselma Aline da Silva	Mestrado, 2005	Partes do Domínio Atuba	USP	x	x	x
Uglia Maria de Almeida Leite Ribeiro	Mestrado, 2006	Núcleo Betara	USP	x	x	x
Pedro Rabello Crisma	Mestrado, início 2010 em andamento	Granitos Palermo e Rio Negro	USP	✓	✓	✓
Edir Ademir Arioli	Doutorado, 2008	Formação Serra Geral	UFPR	x	✓	✓

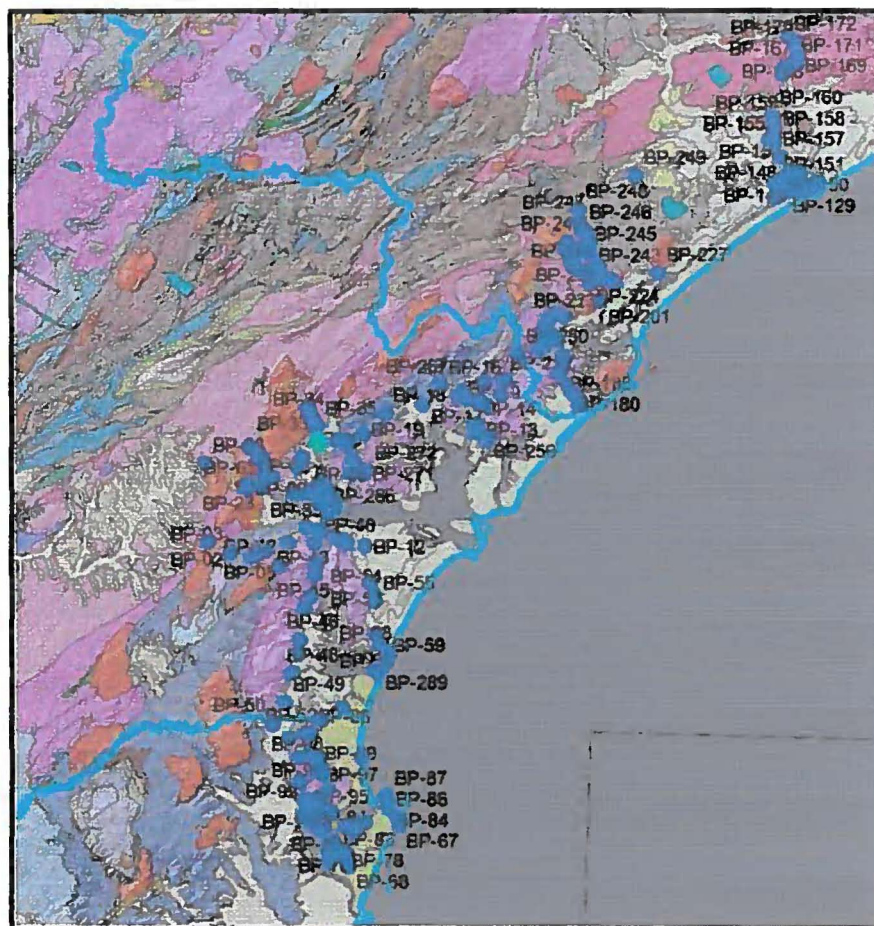


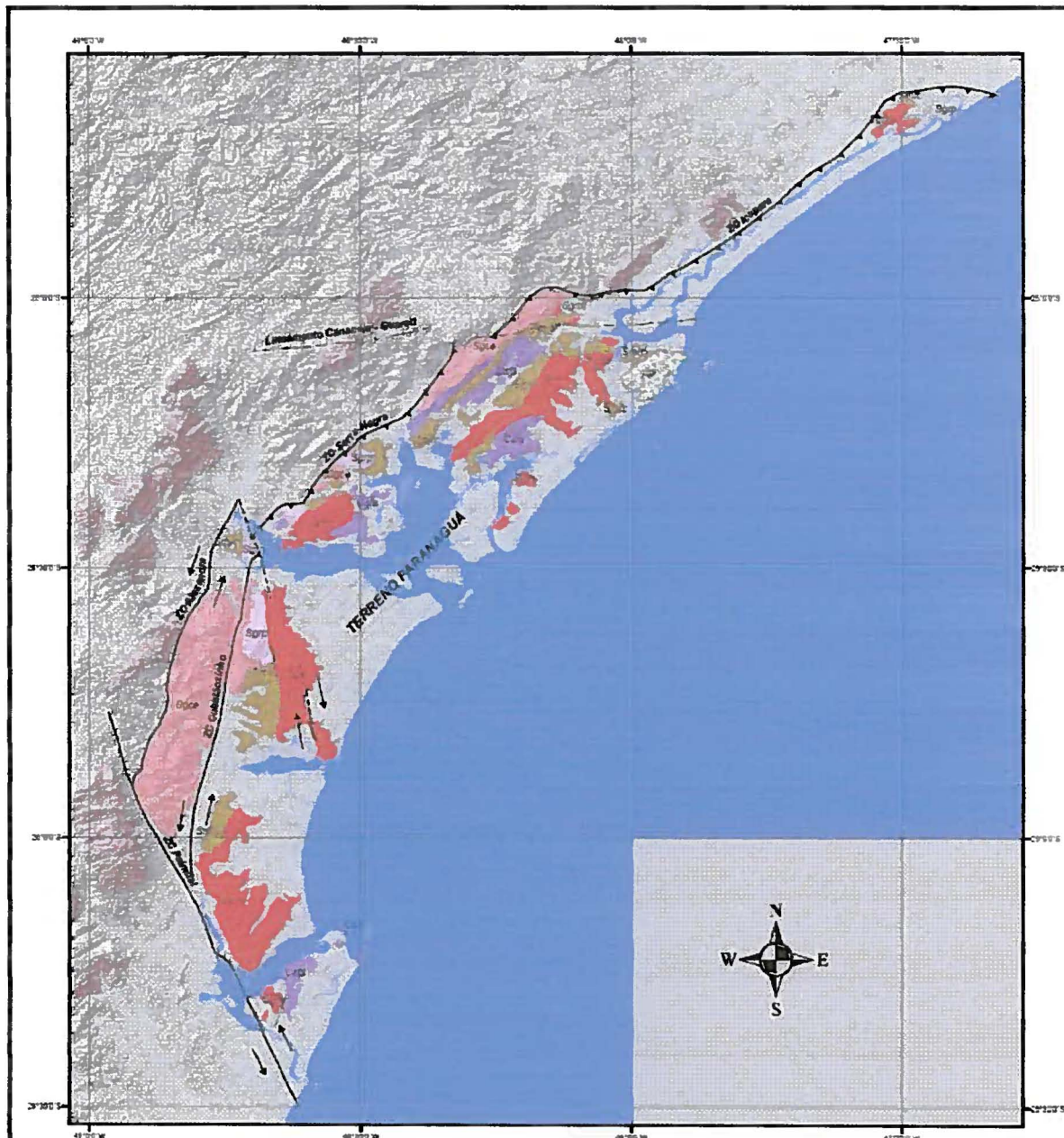
Organização de parte de dados geológicos de estações de campo de pesquisas acadêmicas

- Organizamos inicialmente dados de pesquisas acadêmicas da região leste dos terrenos pré-cambrianos do estado (Complexos Luis Alves e Atuba e o Domínio Paranaguá, designados antigamente de Complexo Costeiro). Isso se deve a dois motivos:
 - Informações desta região são desatualizadas no mapa geológico da Mineropar
 - São pesquisas recentes com dados digitais cartográficos, estruturais, petrográficos, litogeoquímicos, geocronológicos e isotópicos que facilitam a organização e permitem testar os dicionários do programa Mina.
- Organização dos dados geológicos das estações de campo e dos mapas geológicos e estruturais (arquivos *Shapefile* e tabelas em formato *Excel*), da tese de doutorado do Leonardo Fadel Cury (2009) sobre o Domínio Paranaguá (Figuras a seguir).



- São 289 estações de campo sendo 72 estações contendo dados litogeoquímicos. Os dados em geral são: petrográficos, estruturais, litogeoquímicos, geocronológicos e isotópicos.
- Dados transferidos para o programa Mina.
- Mapa geológico foi incorporado ao mapa do estado em atualização.





GEOLOGIA DO TERRENO PARANAGUÁ

- 0,58 Ga **Sgrp** *Suíte Rio do Peço - sienogranitos rapakivi com assinatura do tipo A, metaluminosos a fracamente peraluminosos. Leucogranitos com duas micas, caráter marginalmente peraluminoso.*
- Sgce** *Suíte Canaveiras-Estrela - quartzo-monzodioritos, leuco-granodioritos e monzogranitos, com termos porfíricos e inequigranulares, com máficos representados por biotita e anfibólio (biotita ± anfibólio).*
- Sgmi** *Suíte Morro Inglês - sienogranitos e monzogranitos porfiríticos, cálcio-alcálicos de alta K a shoshoníticos, localmente com feições de mixing e mingling com magmas máficos.*
- 0,63 Ga **Sgrc** *Seqüência Rio das Cobras - biotita-quartzo-xisto, uscovita-quartzo-xisto, calcó-xisto, ganada silmanita-senôcia-quartzo-xisto, quartzito, gnaíse granatífero, mármore e anfibólitos.*
- 2,1 Ga **Csfs** *Complexo São Francisco do Sul -rochas gnaíse compostas por hornos, quartzo-monzodioritos, granodioritos, brônzeiros e monzogranitos, localmente com feições de migmatização.*

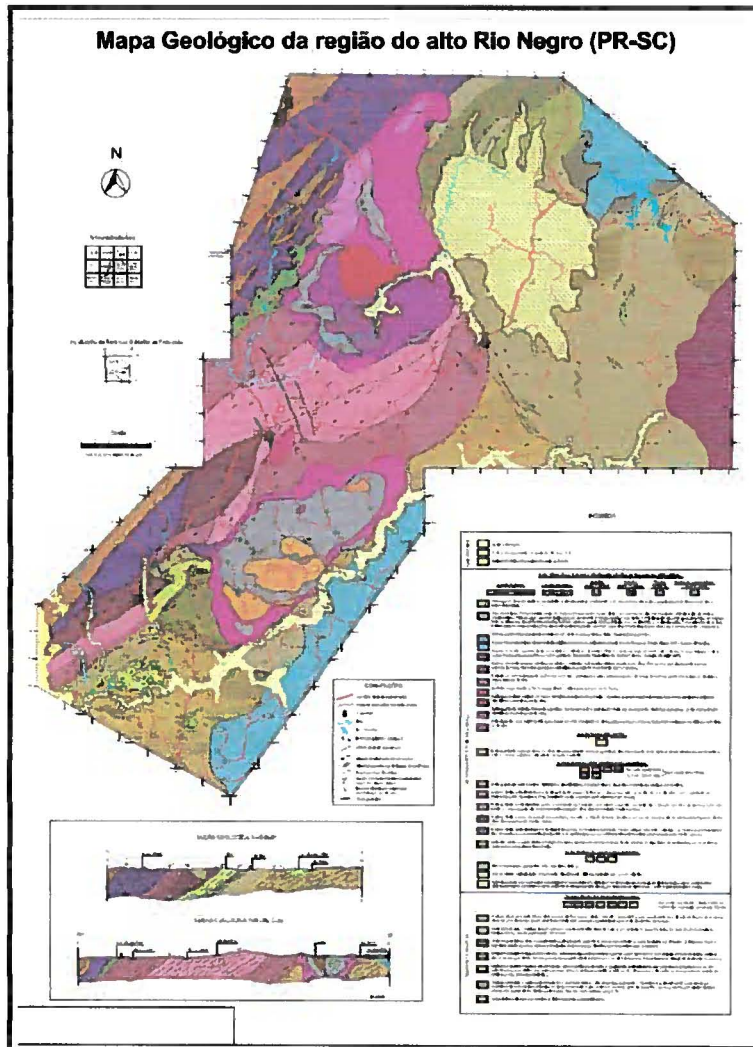
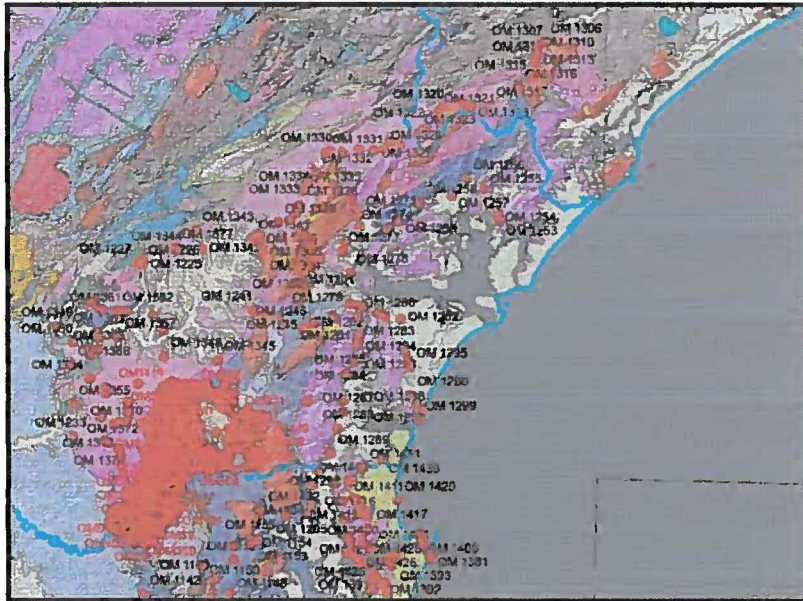


0,62 Ga Alcalina da ilha do Cardoso

GEOLOGIA DO TERRENO PARANAGUÁ - TESE DE DOUTORAMENTO
Programa de Geoquímica e Geotectônica
INSTITUTO DE GEOCIÊNCIAS DA UNIVERSIDADE DE SÃO PAULO
Doutorando
Leonardo Fadel Cury
Orientador
Prof. Dr. Oswaldo Siga Júnior

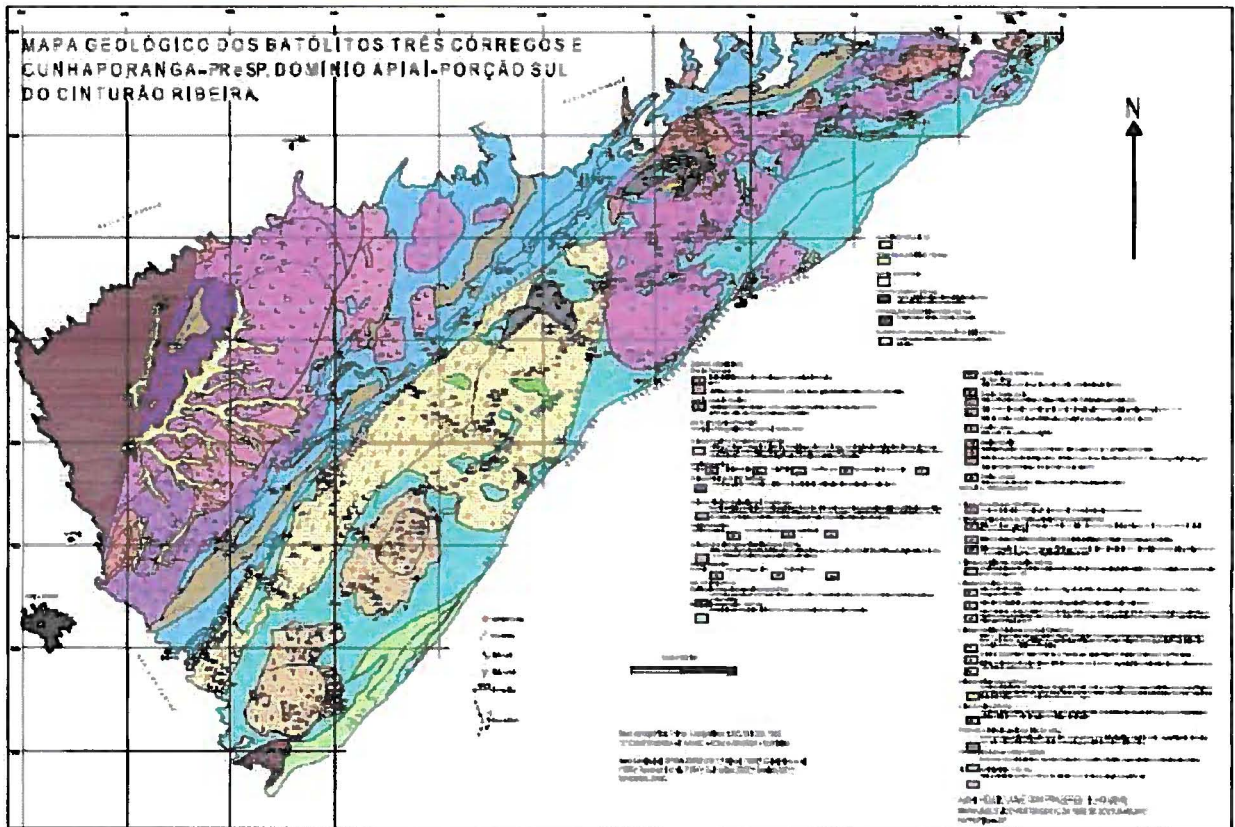
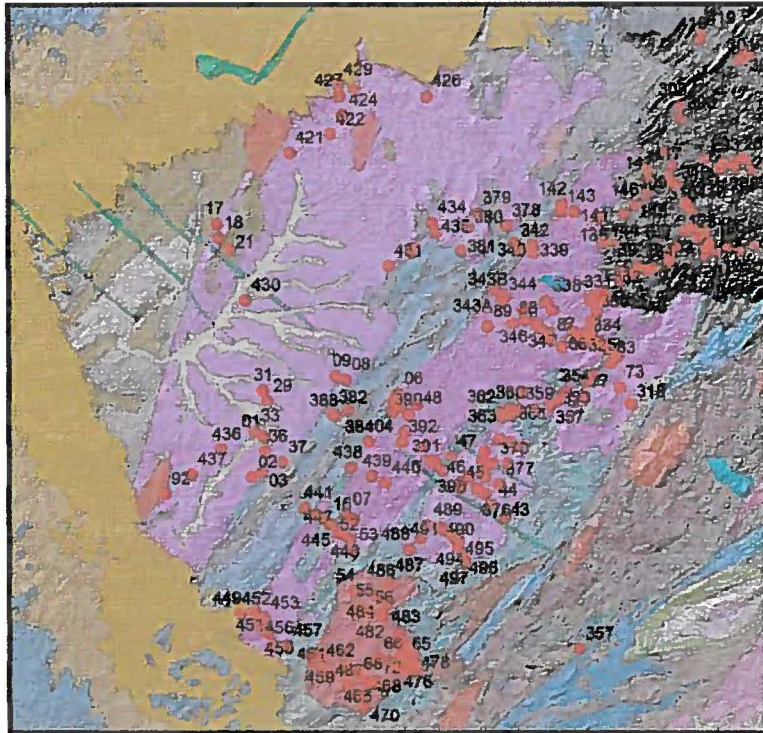


- Organização dos dados geológicos das estações de campo e dos mapas geológicos e estruturais (arquivos *Shapefile* e tabelas *Excel*), da tese de doutorado (2001) e do relatório final de pós-doutorado (2005) de Ossama Mohamed Milad Harara. Os dados são dos Complexos Atuba e Luis Alves, Domínio Paranaguá, Cinturão Granítico Piên-Mandirituba, a Suíte Granítica da Serra do Mar e a Suíte Máfica-Ultramáfica de Piên (Figura a seguir).
- 1548 estações de campo sendo 297 estações com dados litogeoquímicos. Os dados em geral são: petrográficos, estruturais, litogeoquímicos, geocronológicos e isotópicos.
- Dados transferidos para o programa Mina;
- Mapa geológico foi incorporado ao mapa geológico do estado em atualização.





- Organização dos dados geológicos das 370 estações de campo e dos mapas geológicos e estruturais (arquivos *Shapefile* e tabela em formato *Excel*), da tese de doutorado do Hércio José dos Prazeres Filho (2005) sobre os Batólitos Graníticos Cunhaporanga e Três Córregos e os stocks graníticos adjacentes nos estados do Paraná e São Paulo (Figuras a seguir) .
- A tabela com os dados geológicos das estações de campo continua em elaboração e deverá ser inserida no programa Mina.
- Os dados litogeoquímicos de 54 estações foram inseridos no programa Mina.
- Mapa geológico foi incorporado ao mapa do estado em atualização.



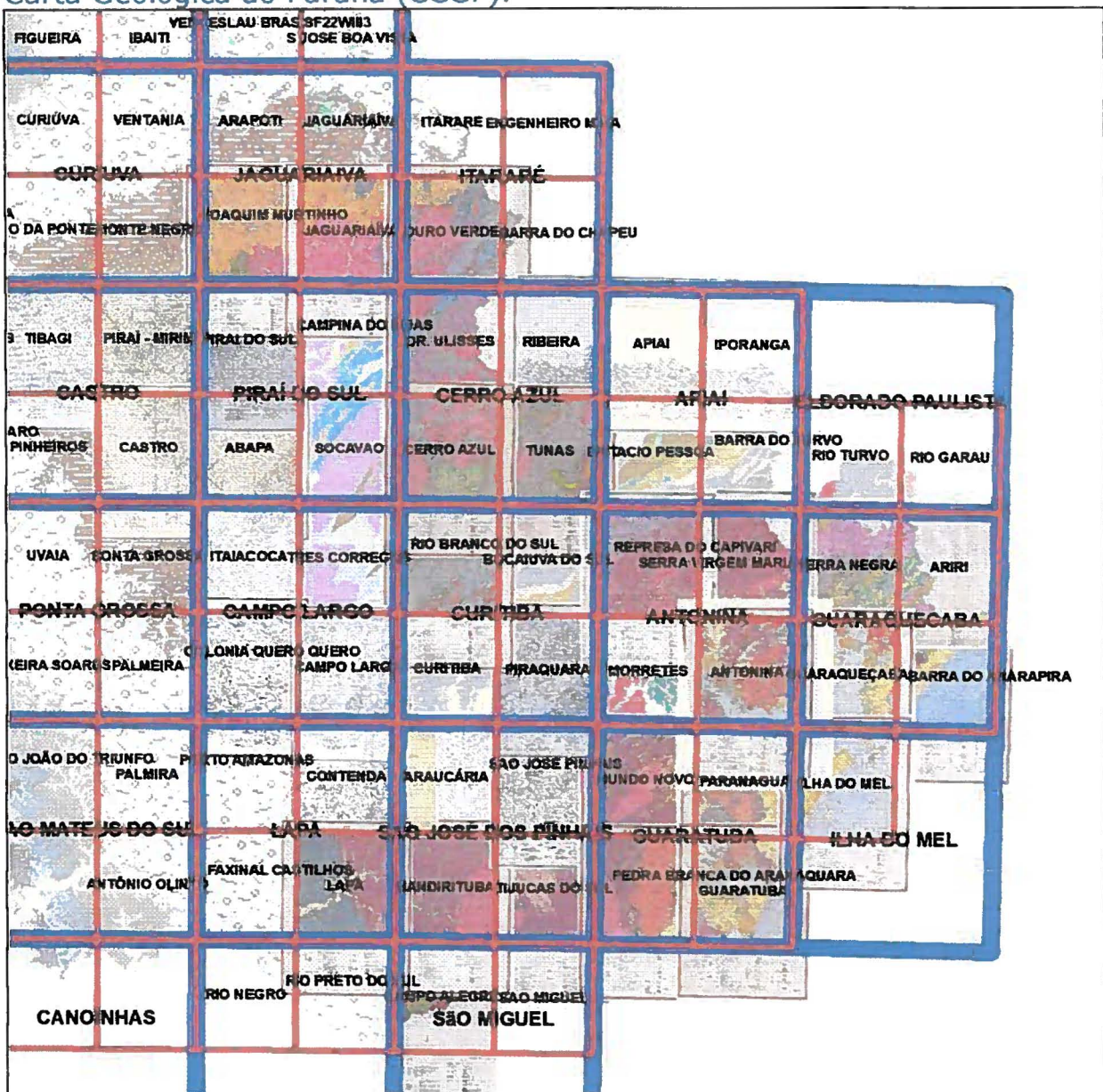


- Organização dos dados geológicos das estações de campo e dos mapas geológicos e estruturais, em arquivos no formato *Shapefile* e em tabelas (formato *Excel*), da tese de Mestrado (2003) do Leonardo Fadel Cury sobre os *stocks* graníticos do Cerne, Passa Três e Rio Abaixo.
- A tabela com os dados geológicos e estruturais completos das referidas estações de campo continua em elaboração.
- O mapa geológico foi incorporado parcialmente ao mapa do estado em atualização.
- A Tabela com os dados litogeoquímicos disponíveis está em elaboração.



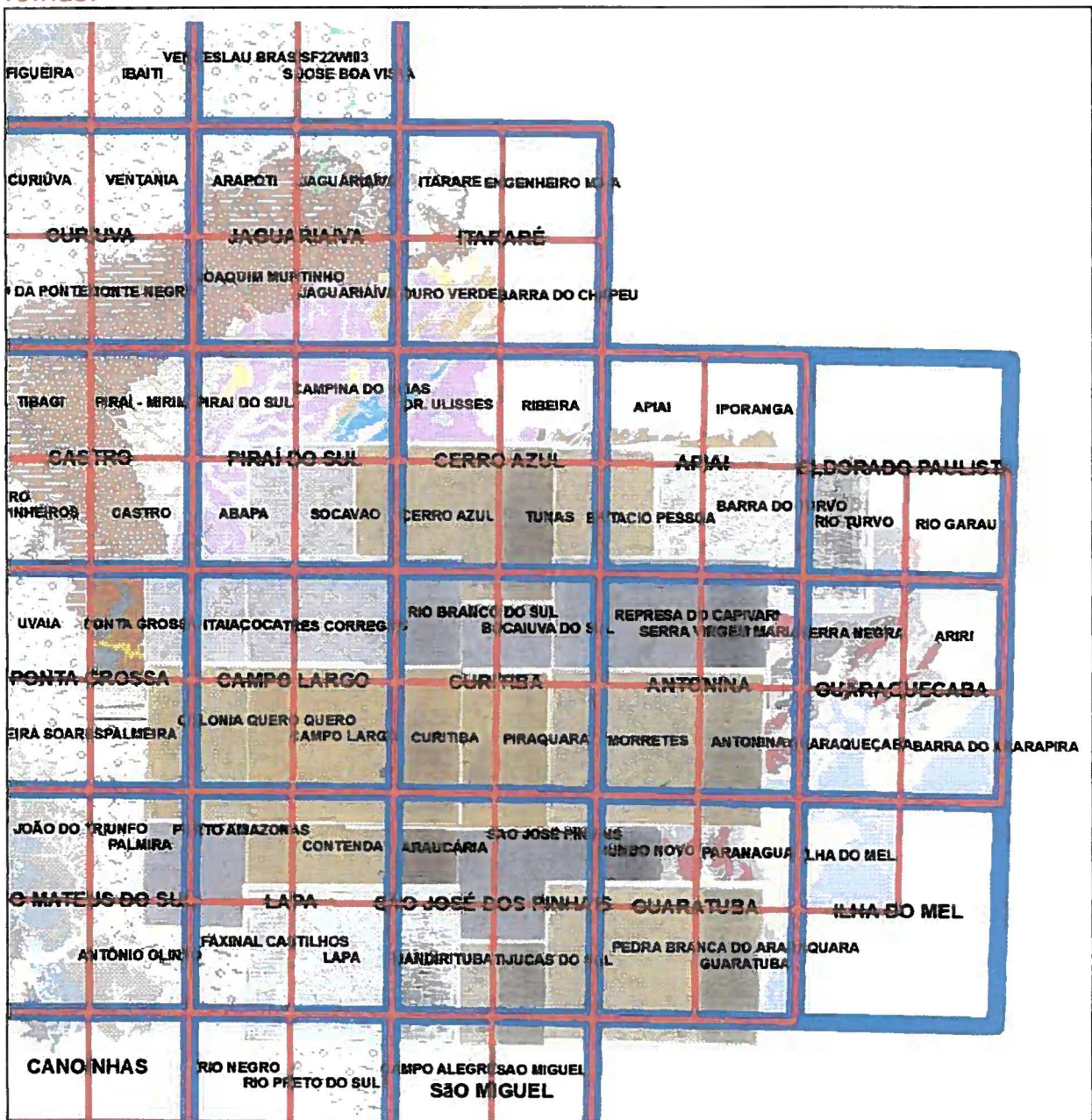
Georreferenciamento dos mapas geológicos da Comissão da Carta Geológica do Paraná (CCGP), do Serviço Geológico do Brasil (CPRM), da Mineropar e das pesquisas acadêmicas

Mapas geológicos (Escala 1:50.000 e 1:70.000) da comissão da Carta Geológica do Paraná (CCGP).



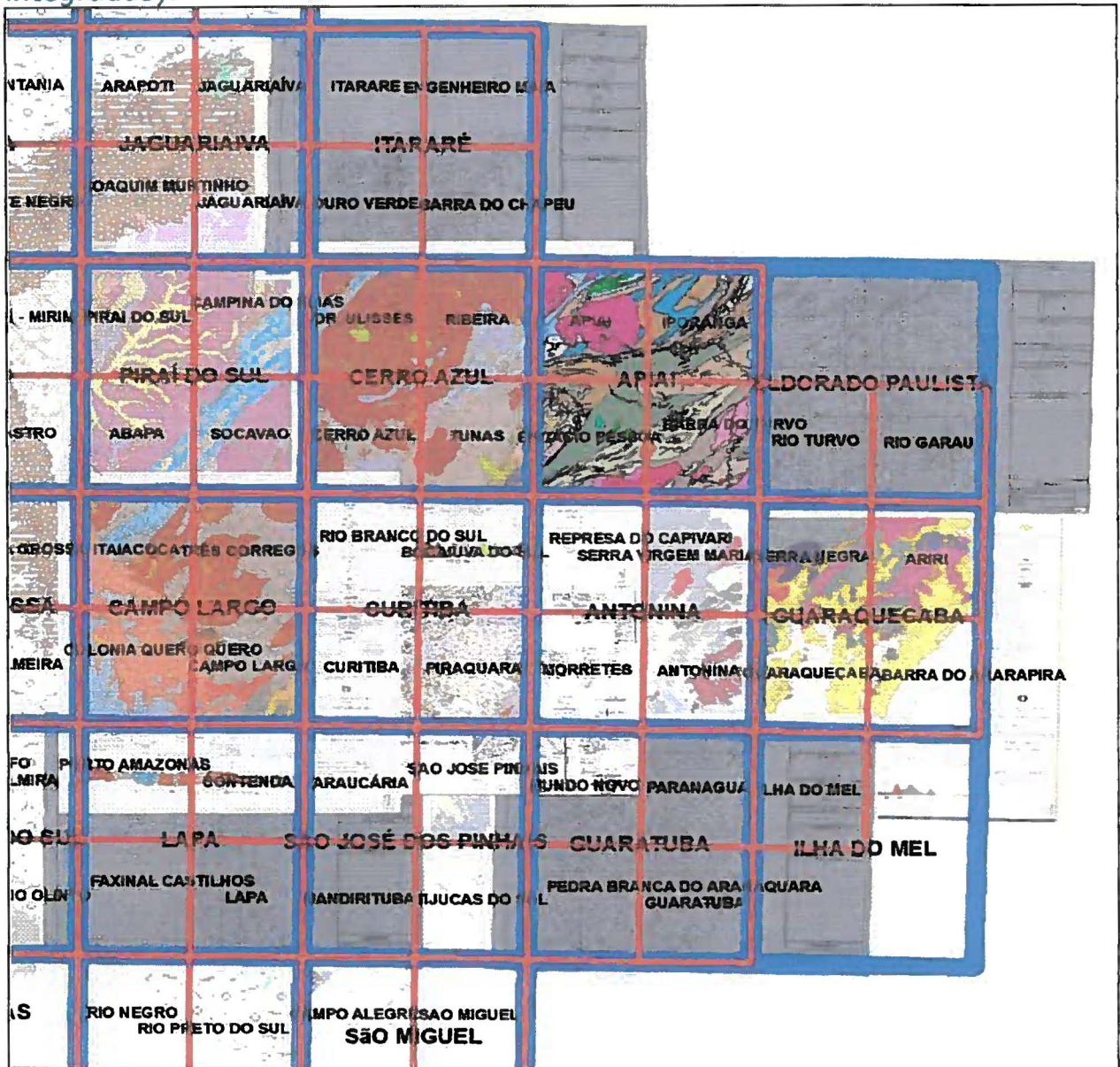


Mapas geológicos (Escala 1:50.000, 1989) do Serviço Geológico do Brasil (CPRM). Mapa da Mineropar (edição 2006) é baseado nestas folhas.



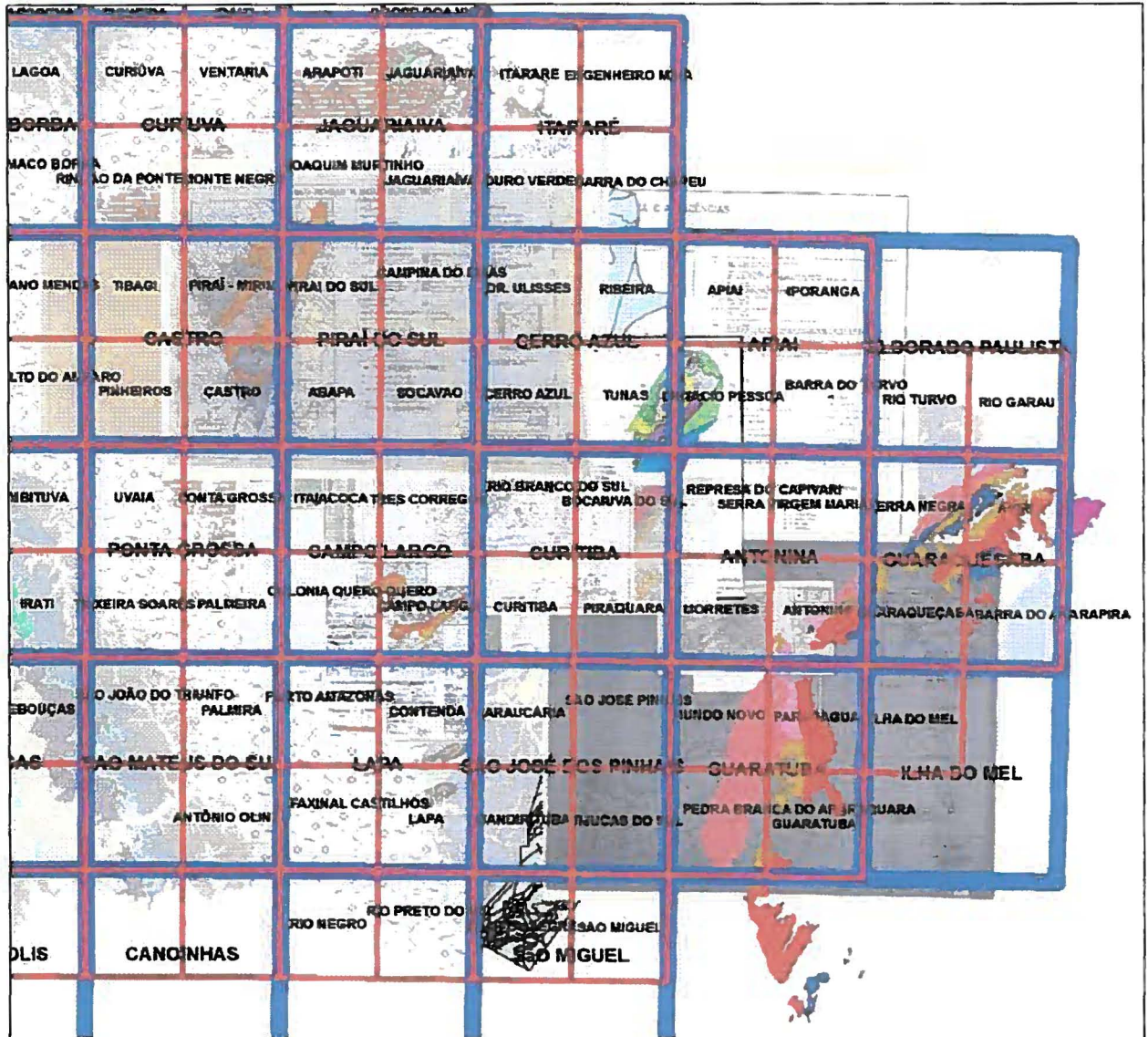


Mapas geológicos (Escala 1:100.000, anos 1977, 1989, 1991, 1999) do Serviço Geológico do Brasil (CPRM) e da Mineropar (1991, integradas).



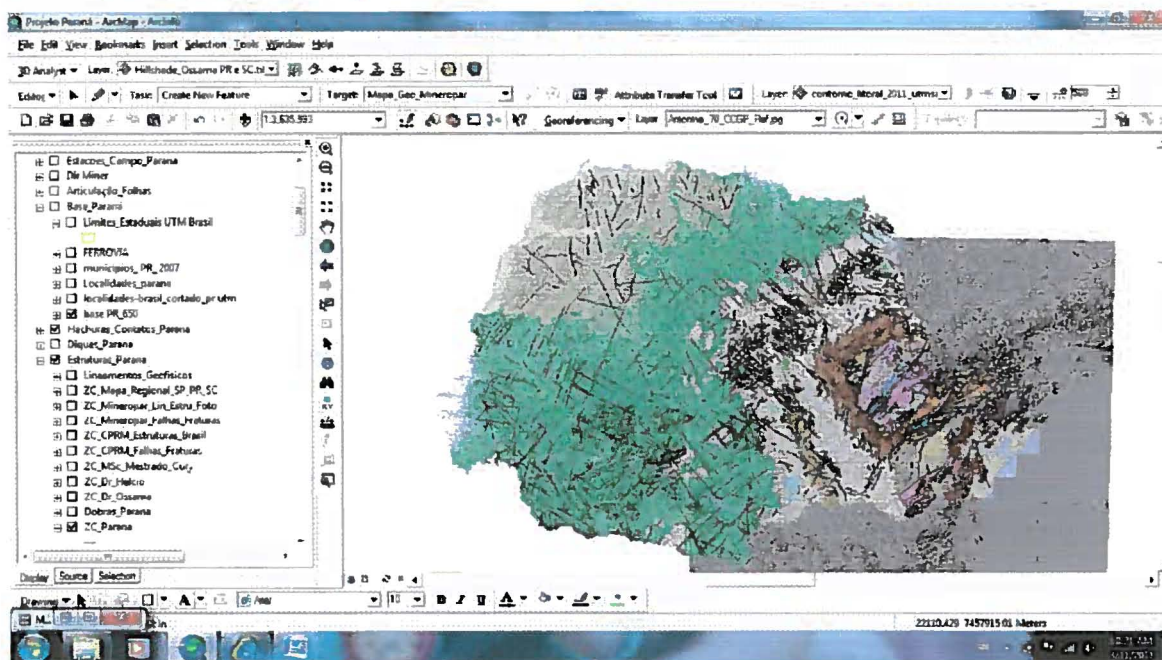


Mapas geológicos em diversas escalas provenientes dos projetos da Mineropar e das pesquisas acadêmicas (mestrado, doutorado, pós-doutorado e livre docência)

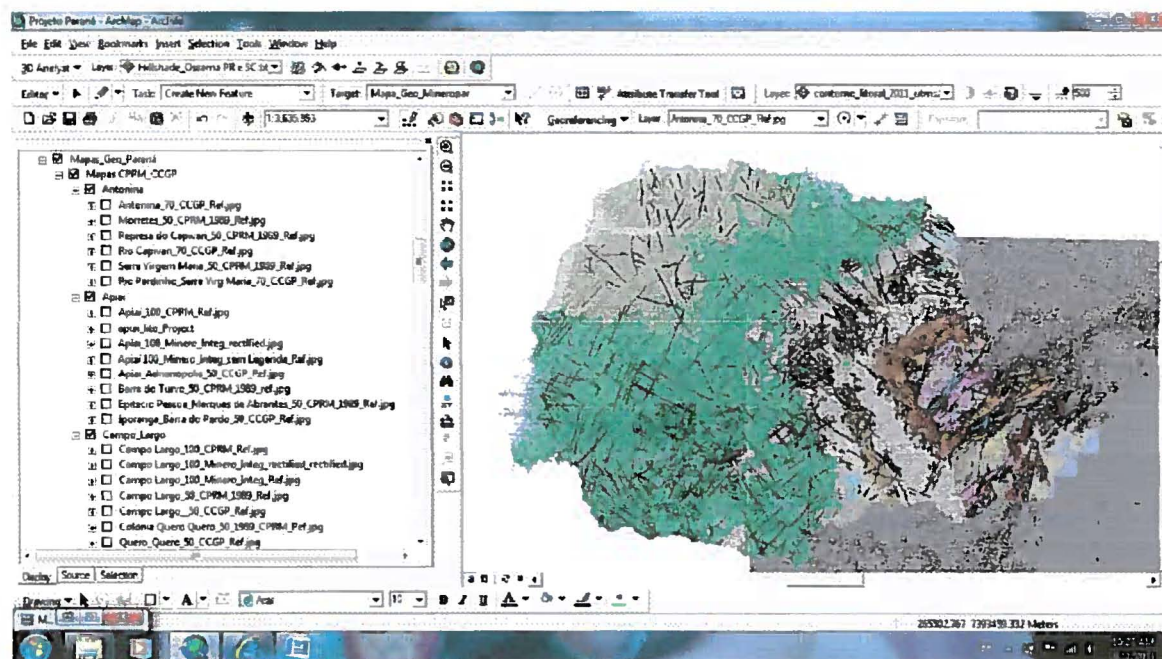


Montagem de base GIS para o estado do Paraná (Projeto Paraná, programa ArcGIS 9.2)

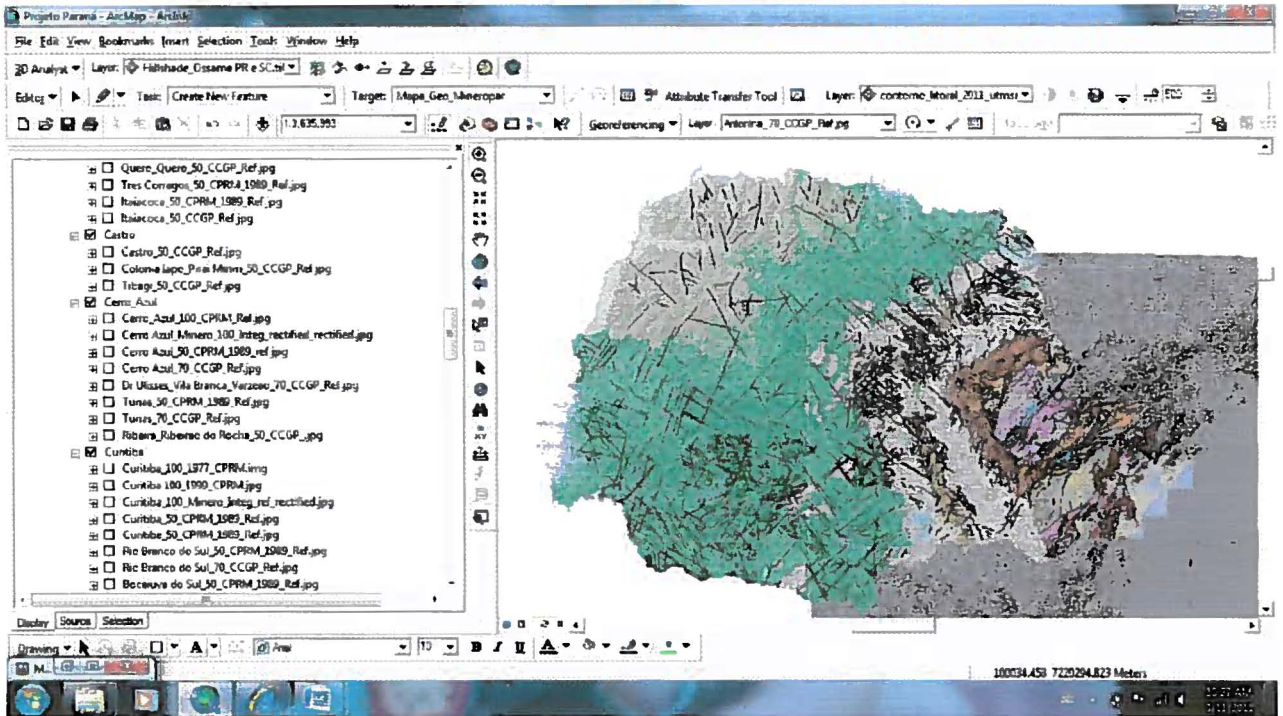
Lista dos principais níveis de informações em formatos *shapefile* e imagens *raster* georeferenciadas (Ver à esquerda relação dos principais *shapes*, usar *zoom* para ampliar imagem e visualizar).



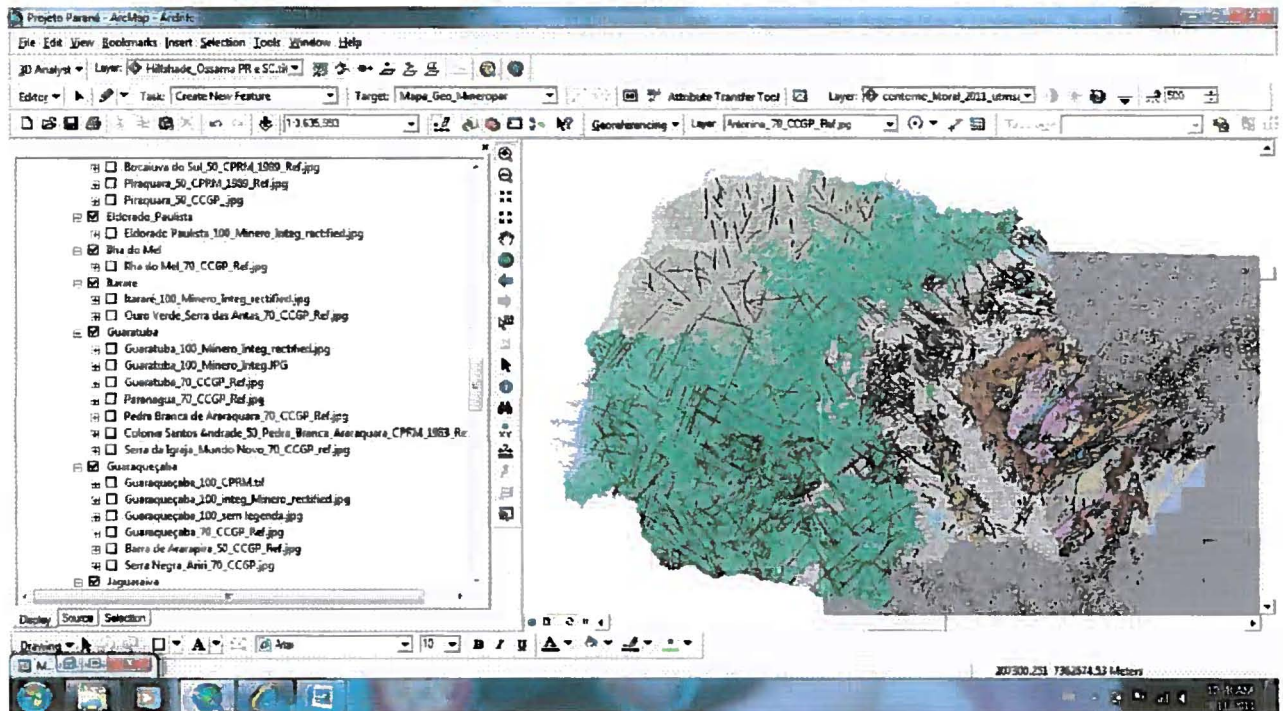
Base GIS (continuação). (Ver à esquerda relação dos principais *shapes*, usar *zoom* para ampliar imagem e visualizar).



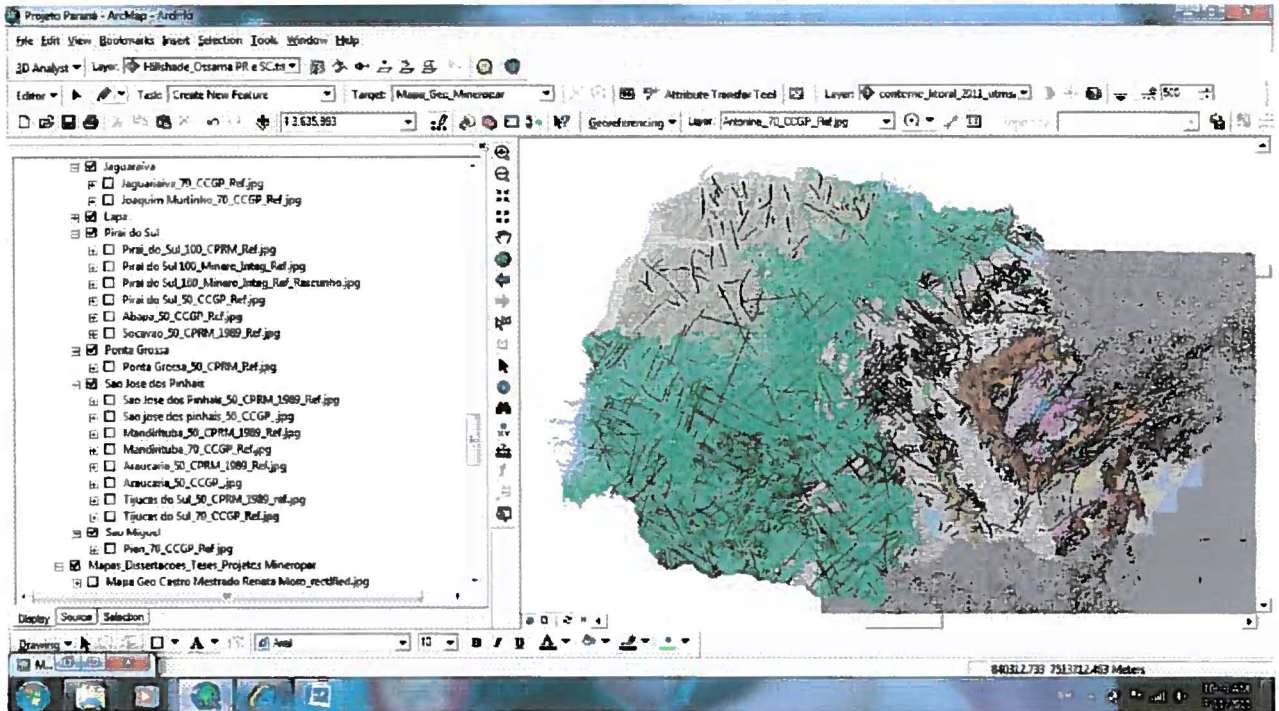
Base GIS (continuação)



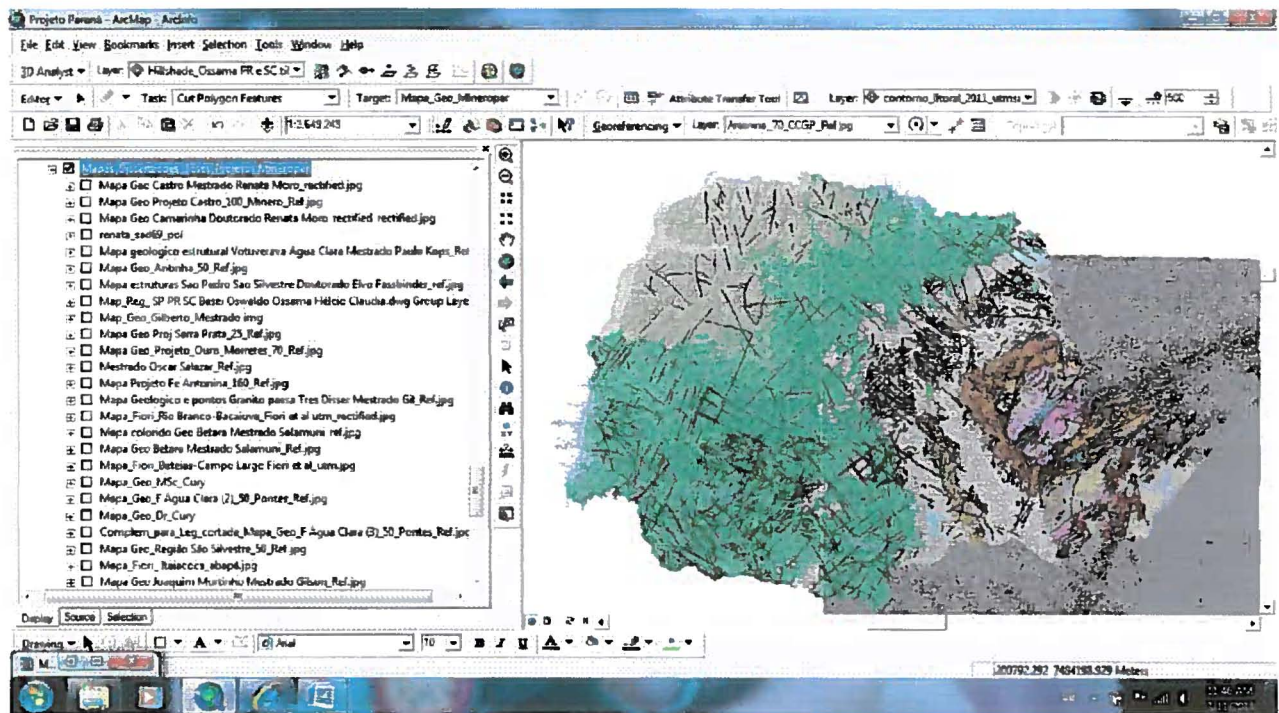
Base GIS (continuação)



Base GIS (continuação)

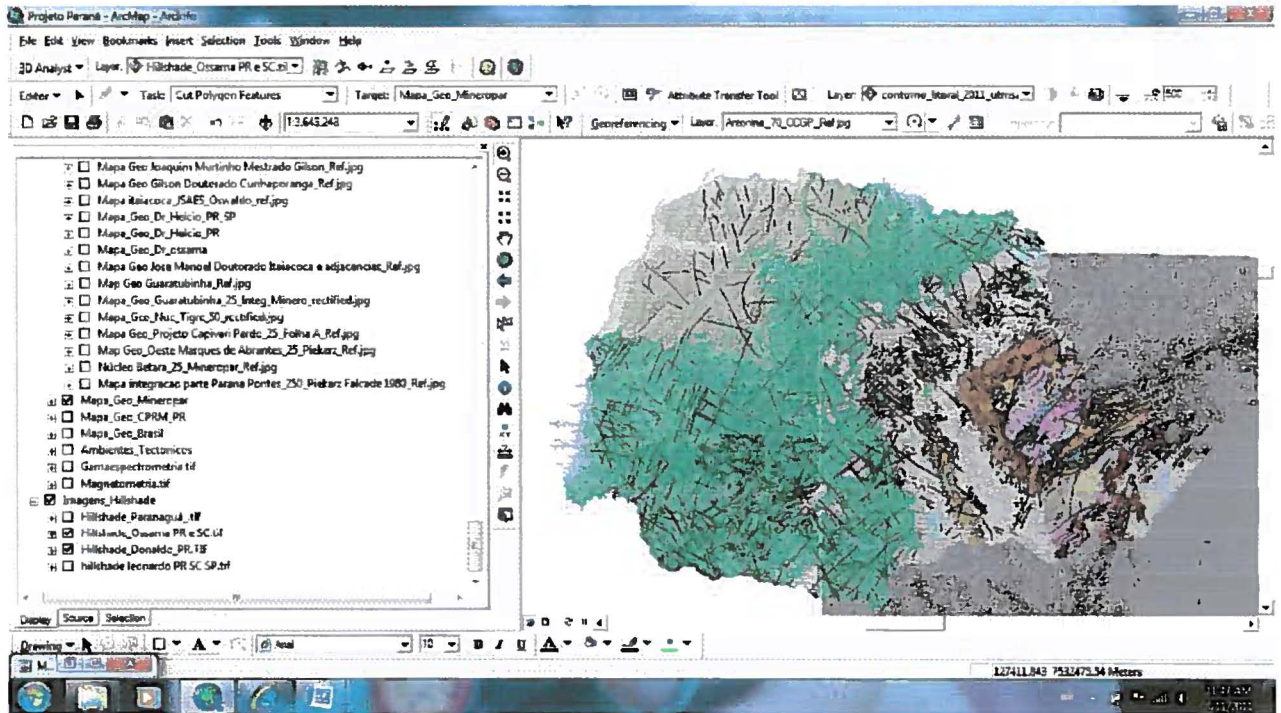


Base GIS (continuação)



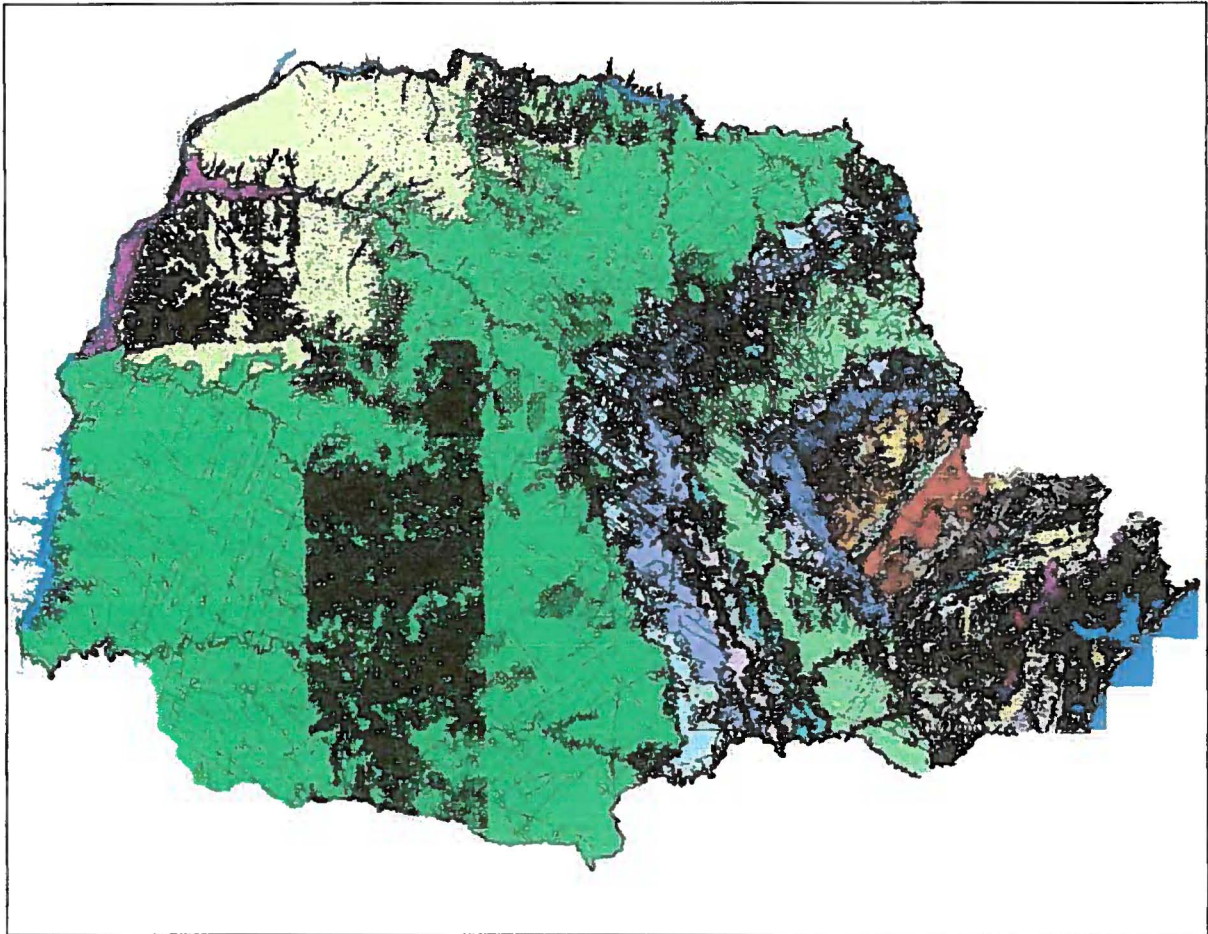


Base GIS (continuação)



Avaliação dos principais erros no mapa geológico anterior (Mineropar edição 2006)

Importante: ver arquivo em pdf com nome: Avaliação do Mapa Geológico Paraná 1650000 edição 2006 Mineropar



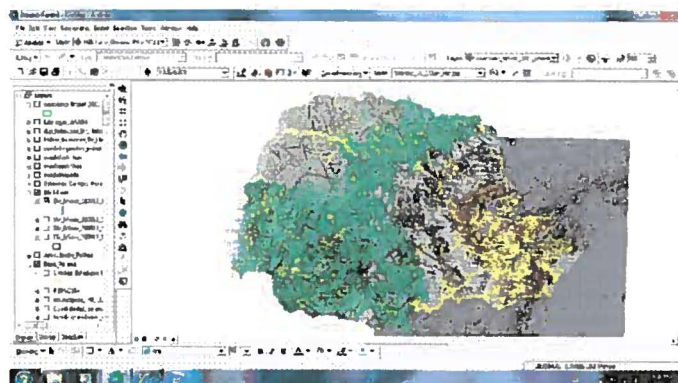
- Mapa com informações desatualizadas e incompletas desde 1996 apesar de ser de 2006,
- Diversos erros de posicionamento e de nomes de unidades geológicas na coluna cronolitoestratigráfica;
- Descrições incompletas e nomes desatualizados de várias unidades geológicas;



- Ausência de subdivisões de unidades geológicas,
- Limites e áreas inadequadas de unidades geológicas;
- Repetições de descrições de unidades geológicas.
- Erros nos traçados e falta de simbologia correta das zonas de cisalhamento, falhas, fraturas e dobras;
- Ausência de dados geocronológicos (e isotópicos) que auxiliam e confirmam o posicionamento crono-litoestratigráfico;
- Distribuição de texturas e cores inadequadas das unidades geológicas;

As principais atividades para atualização do mapa geológico do estado do Paraná

- Todos os mapas geológicos existentes (CCGP, CPRM, Mineropar e de pesquisas acadêmicas) foram georeferenciados;
- Trabalhos de atualização do Mapa Geológico do Estado do Paraná estão sendo feitos com base nos dados geológicos da MINEROPAR, CPRM, CCGP e as pesquisas acadêmicas.
- Início dos trabalhos para atualização dos mapas dos terrenos pré-cambrianos pelos seguintes motivos:
 - Representarem a parte mais complexa e a mais desatualizada da geologia do estado;
 - Concentração de mais de 90% dos direitos minerários de pesquisa e lavra do estado nestes terrenos (Figura abaixo);



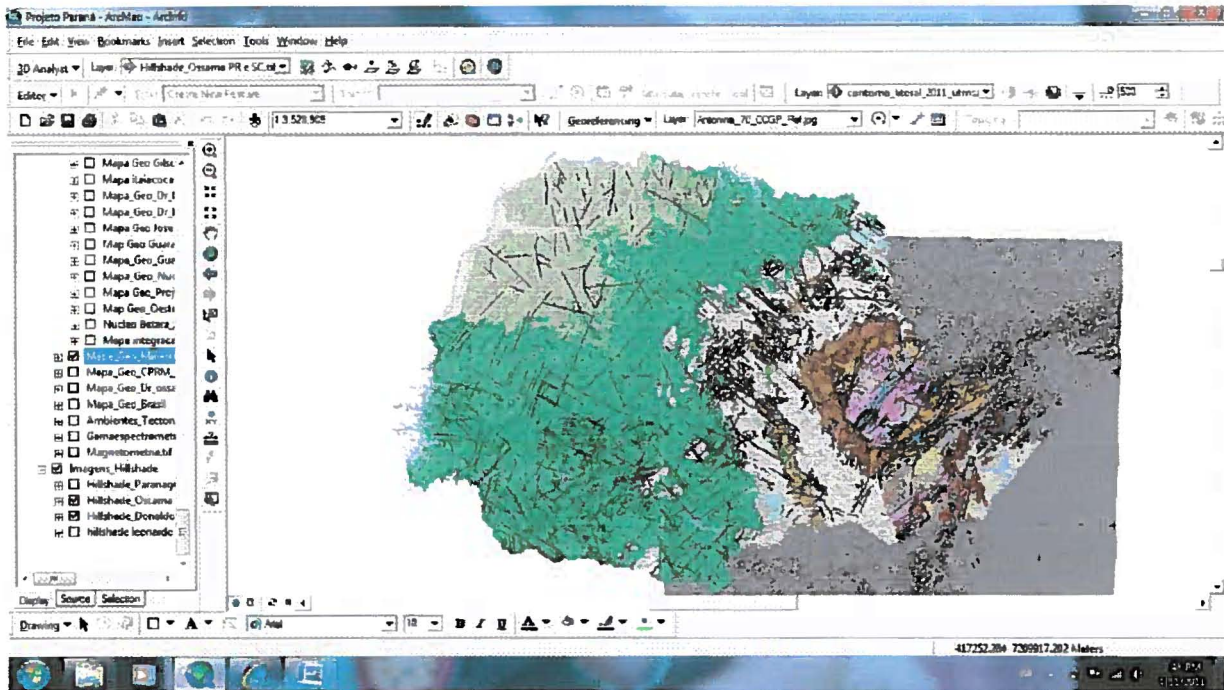


- CPRM se comprometeu atualizar o mapa geológico da Bacia do Paraná, exceto o mapa geológico do Grupo Serra Geral (Projeto Mineropar, Licht & Arioli)

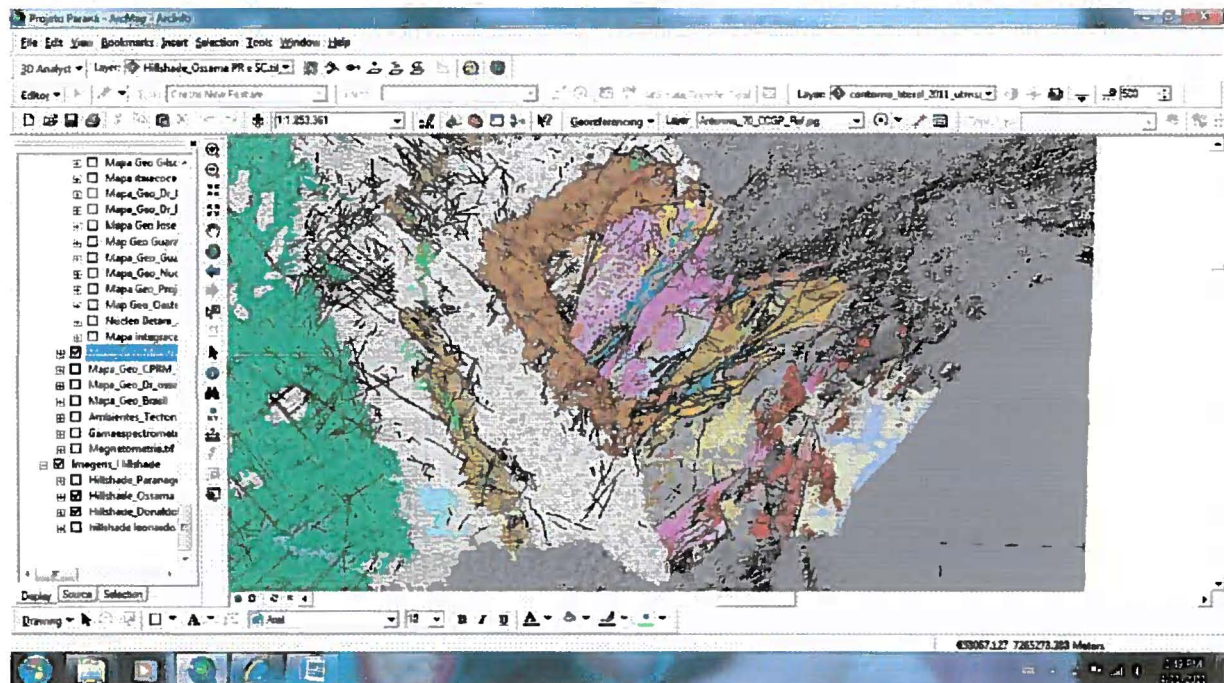
- Correções de nomes, limites (contatos) e extensões das unidades geológicas,
- Descrições de litologias, estruturas e texturas em cada unidade
- Tipologias petrotectônicas
- Adição somente de dados geocronológicos U-Pb em zircões e titanitas. Os demais dados geocronológicos K-Ar, Ar-Ar e Sm-Nd e isotópicos de Sr, Nd, O, C) não foram incorporados;
- Elaboração e correção dos traçados e nomes das zonas de cisalhamento, falhas, dobras fraturas,
- Traçar e nomear as zonas de cisalhamento, falhas, dobras e fraturas com o auxílio de imagens de satélite (*Hillshade*) e dos mapas geológico-estruturais existentes.

Mapa geológico em atualização

Visão Geral do mapa

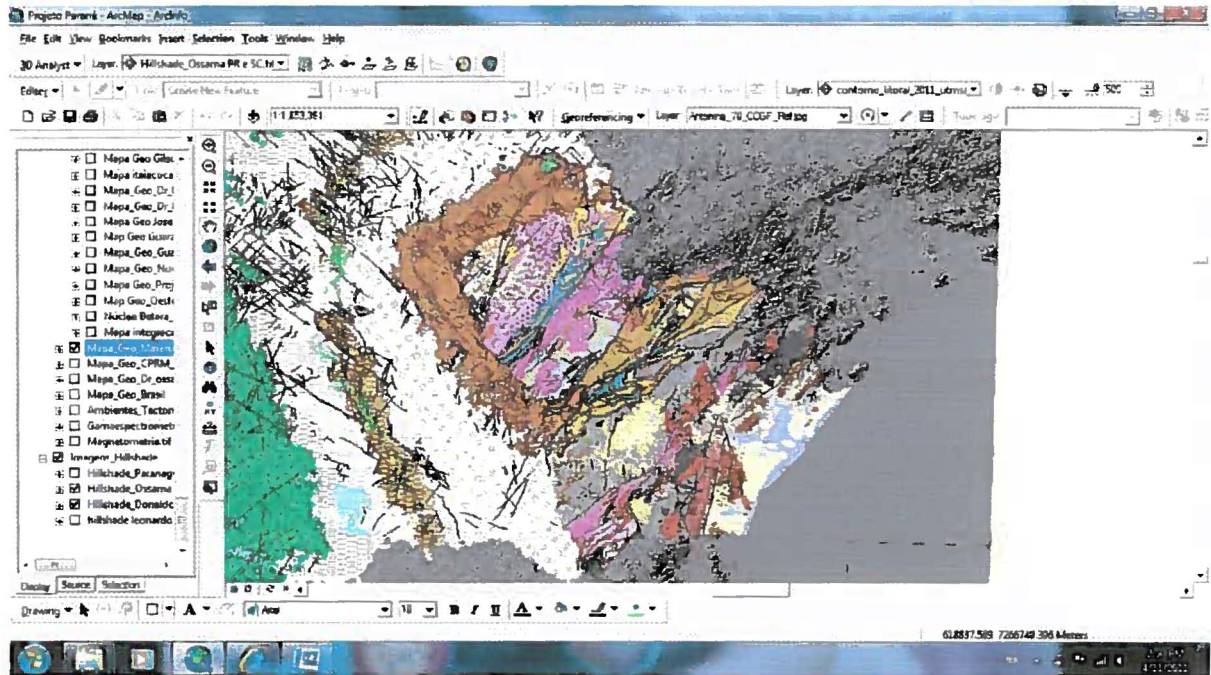


Detalhe dos terrenos pré-cambrianos com imagens *hillshade*





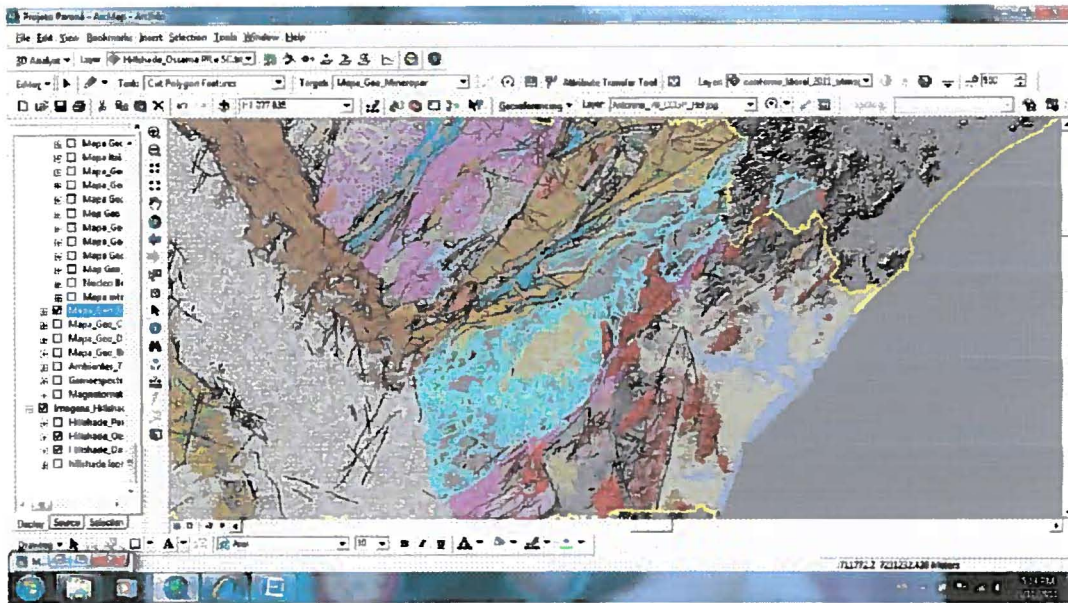
Detalhe dos terrenos pré-cambrianos



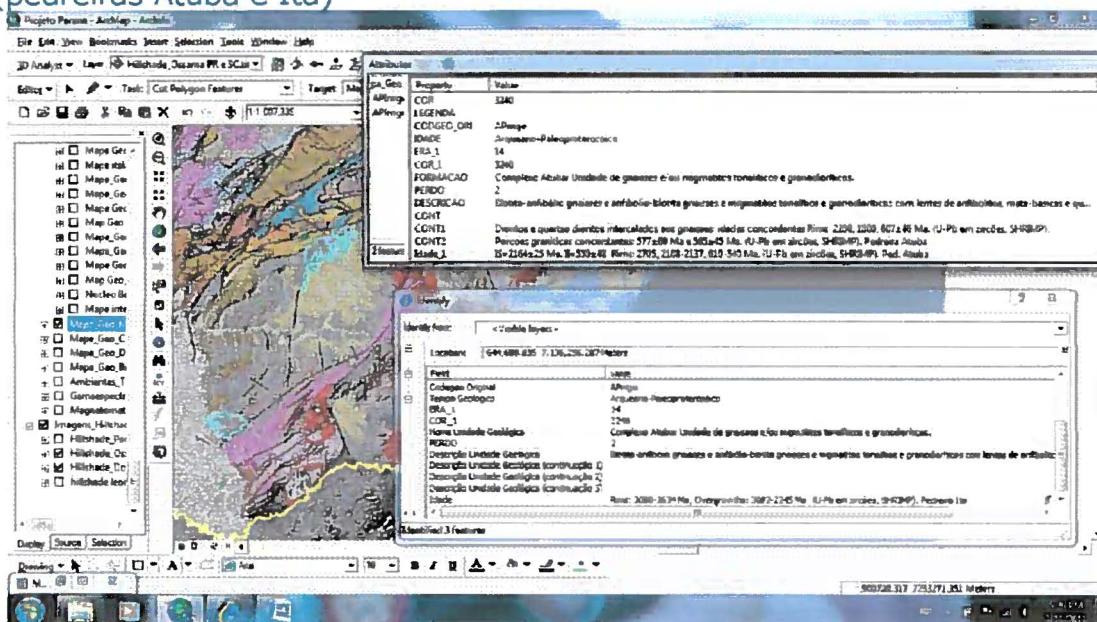
Exemplos de atualizações realizadas no mapa geológico

Importante: para comparações com mapa da Mineropar (2006) destes exemplos de atualizações apresentados a seguir, ver arquivo em pdf com nome: *Avaliação do Mapa Geológico Paraná 1650000 edição 2006 Mineropar*

Complexo Atuba (unidade selecionada no mapa)

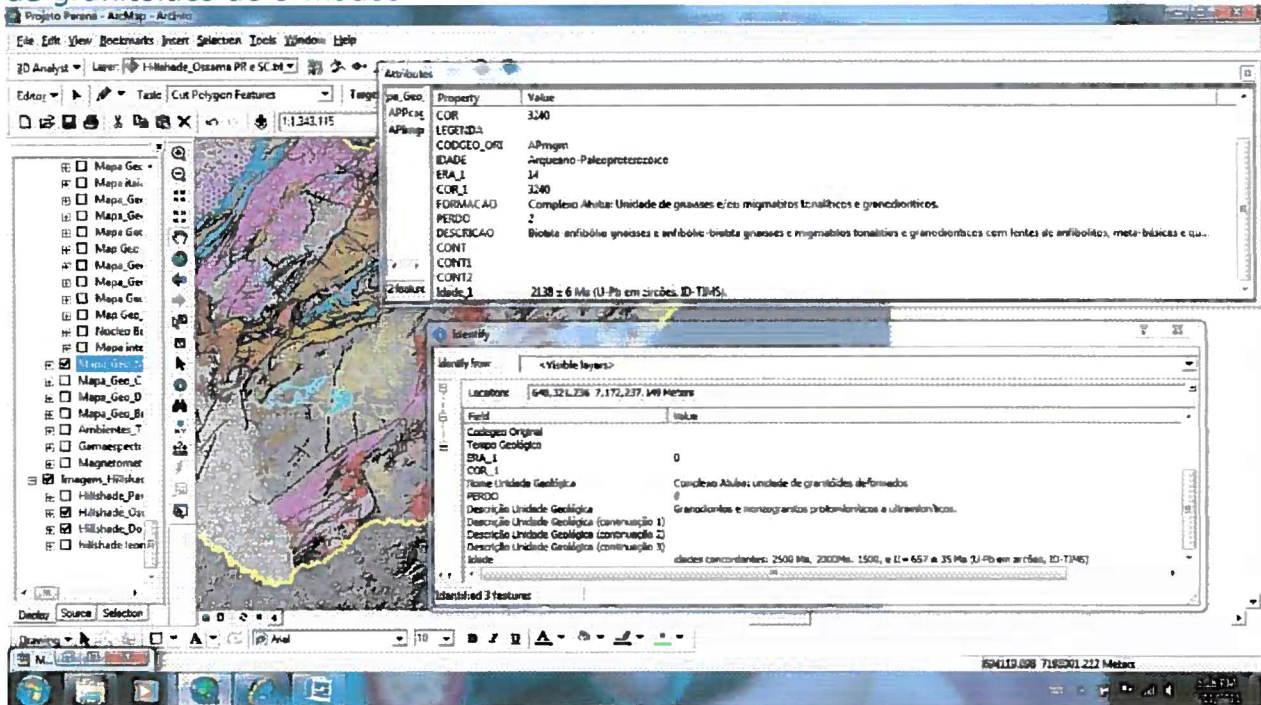


Exemplos de descrições de litologias, estruturas, texturas e dados geocronológicos do Complexo Atuba: unidade de gnaisses e migmatitos (pedreiras Atuba e Ita)

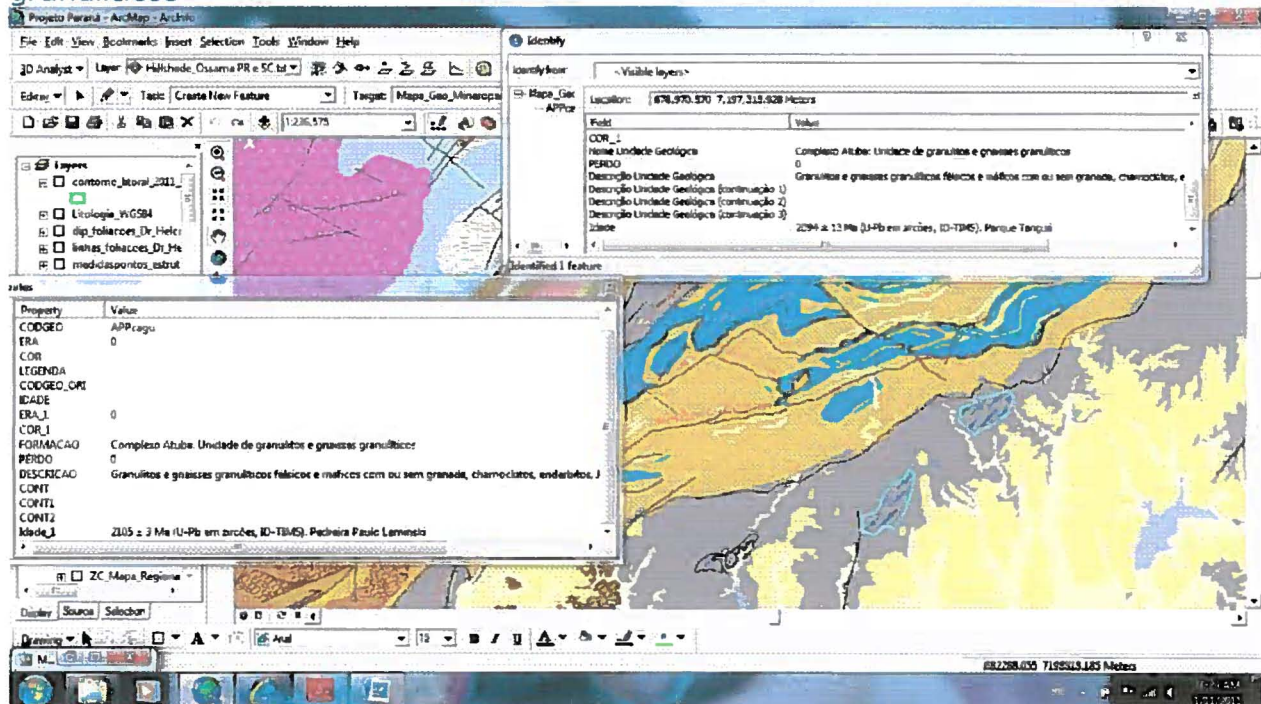




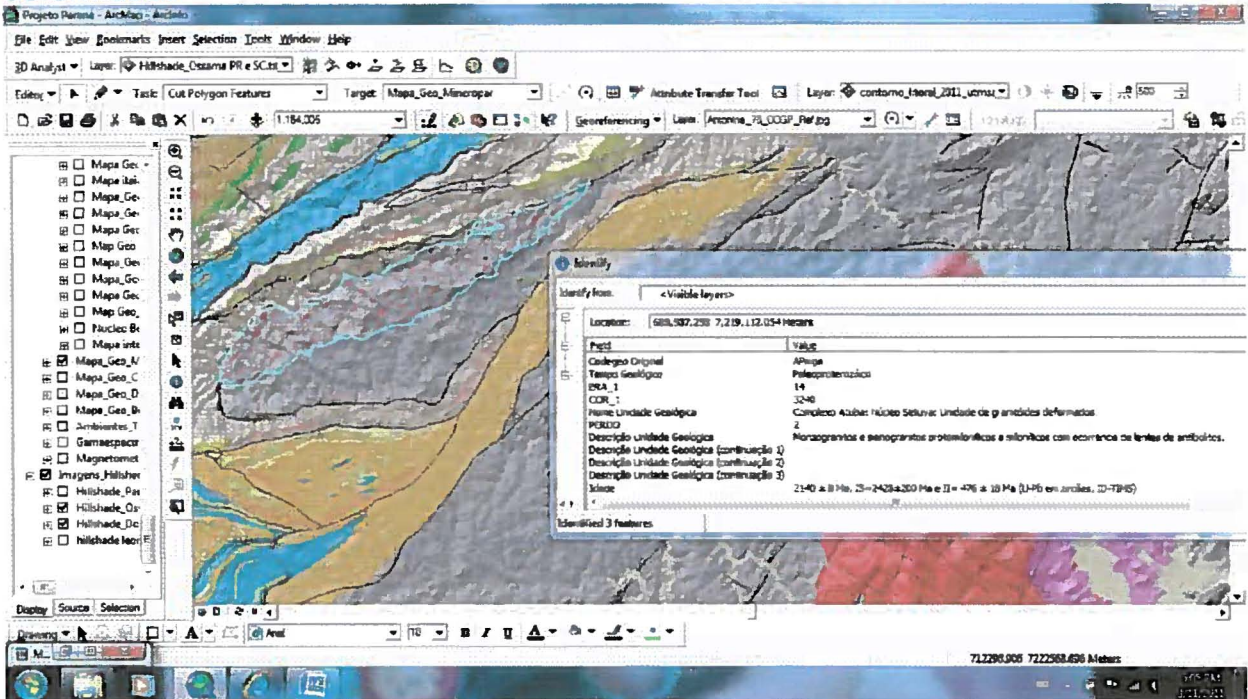
Exemplos de descrições de litologias, estruturas, texturas e dados geocronológicos do complexo Atuba: Unidade de gnaisses e migmatitos e de granitóides deformados



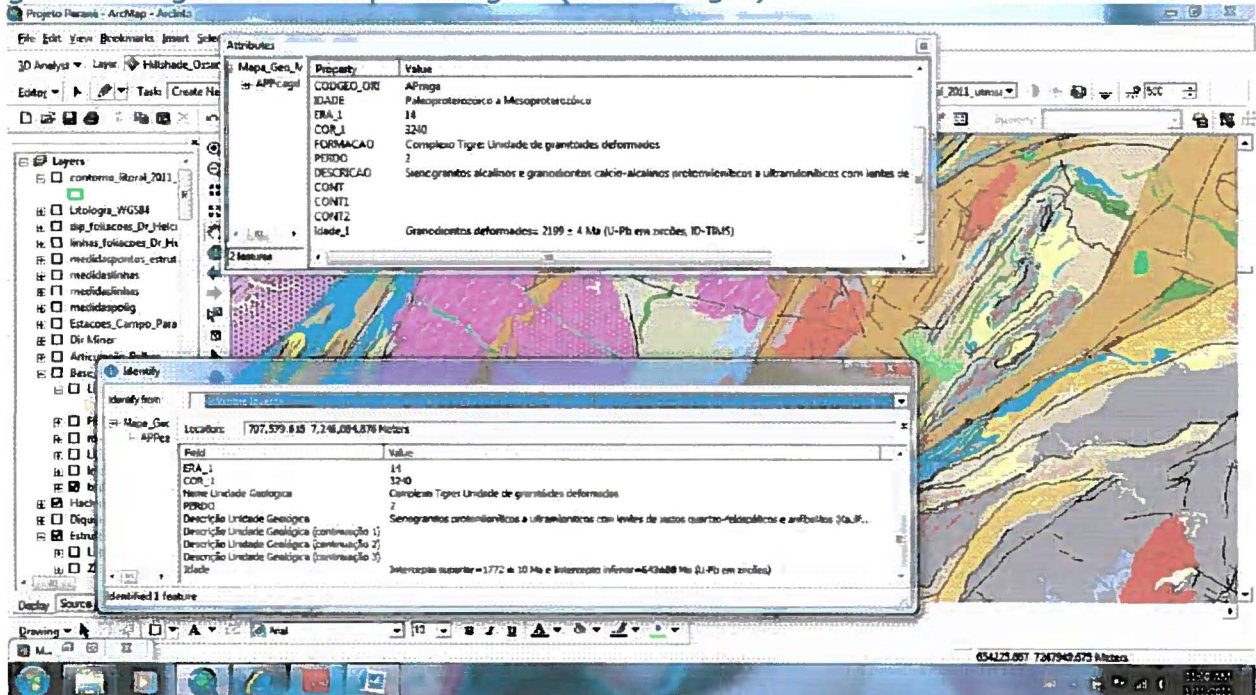
Exemplos de descrições de litologias, estruturas, texturas e dados geocronológicos do complexo Atuba: Unidade de granulitos e gnaisses granulíticos



Exemplos de descrições de litologias, estruturas, texturas e dados geocronológicos do complexo Atuba: Núcleo Setuva, unidade de granitóides deformados

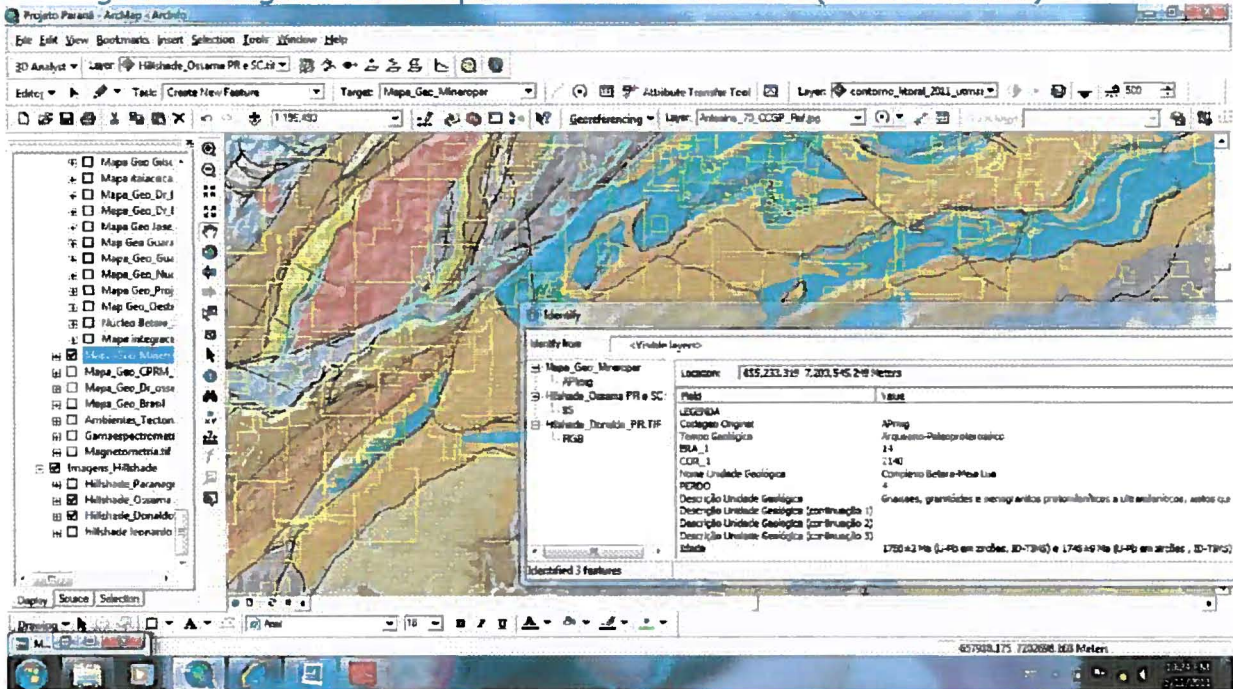


Exemplos de descrições de litologias, estruturas, texturas e dados geocronológicos do Complexo Tigre: (Núcleo Tigre)

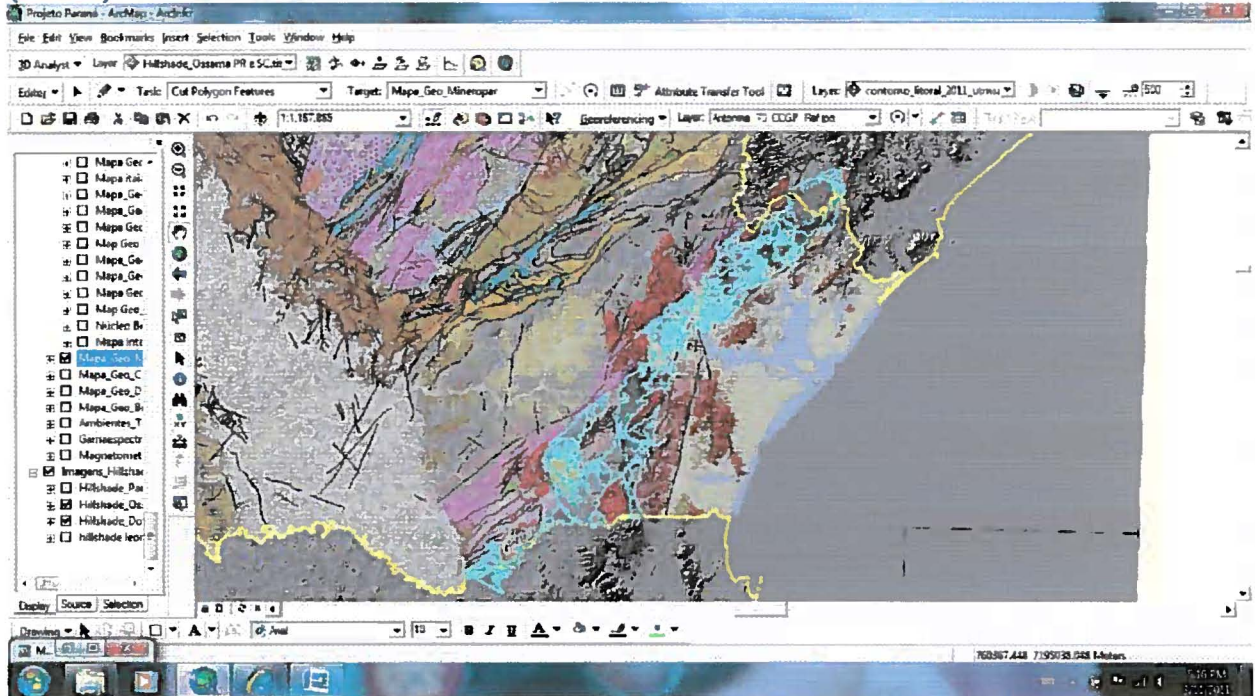




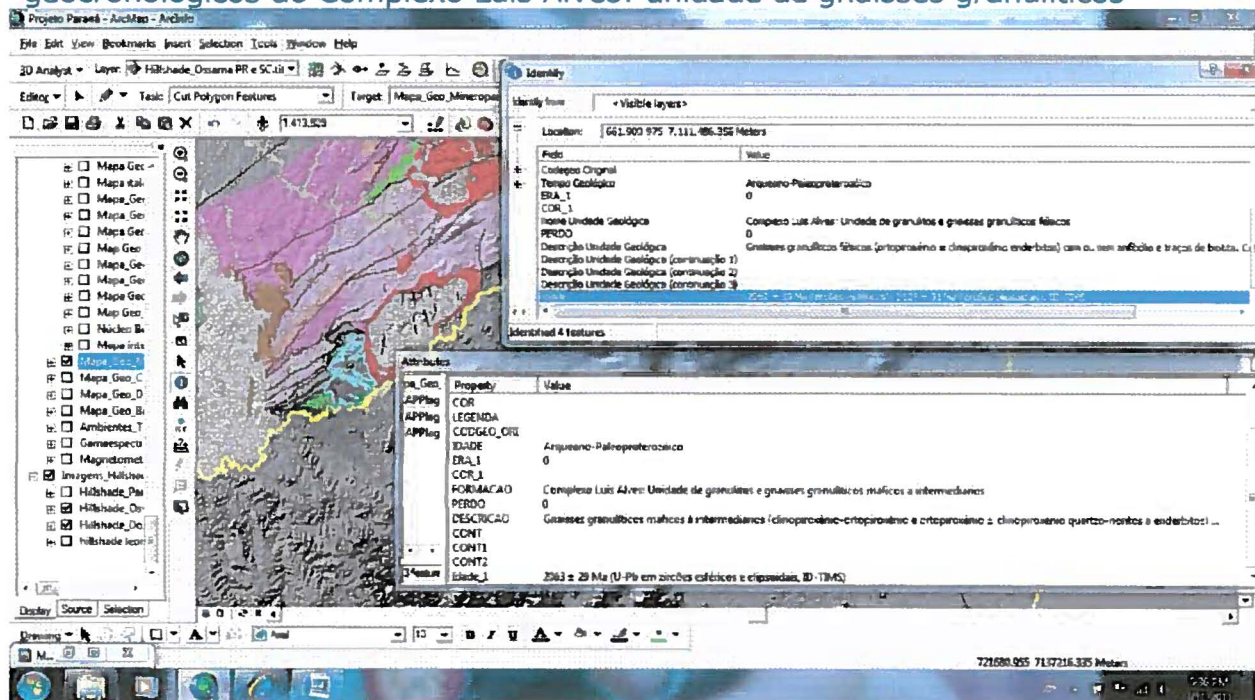
Exemplos de descrições de litologias, estruturas, texturas e dados geocronológicos do Complexo Betara-Meia Lua: (Núcleo Betara)



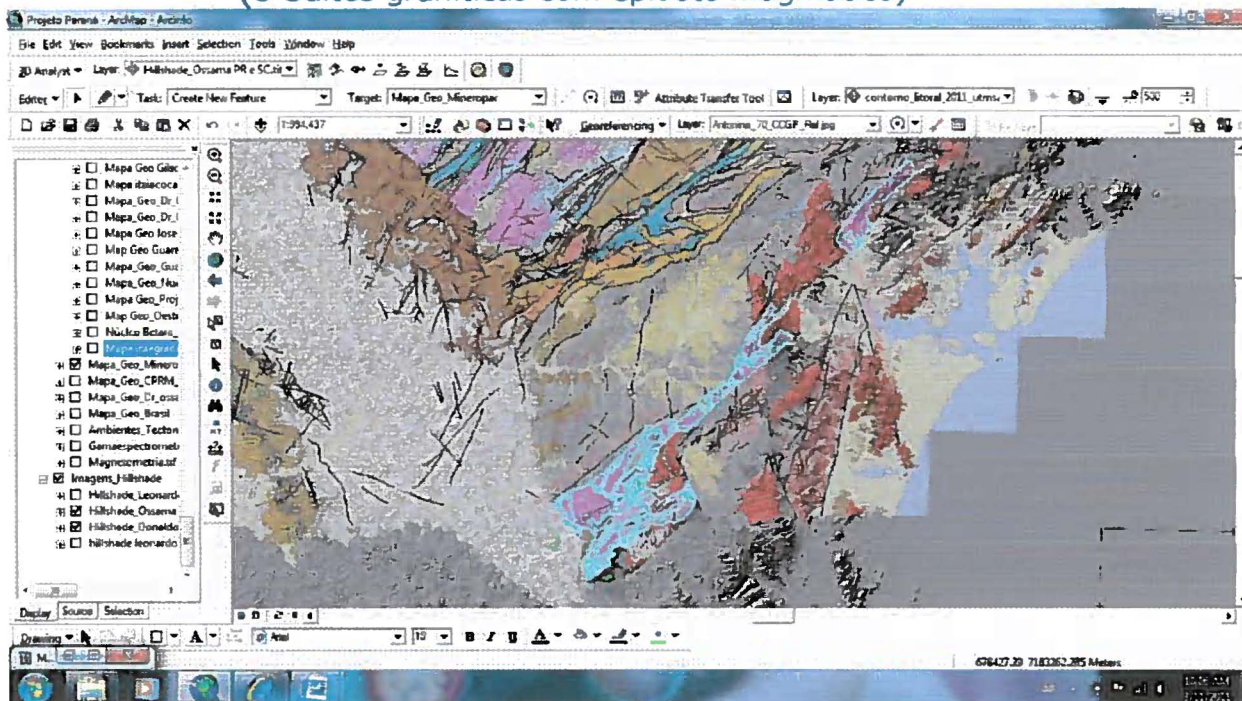
Complexo Luis Alves (unidade selecionada no mapa) Entre Domínio Paranaguá (leste) e o Cinturão Granítico Piên-Mandirituba (oeste)



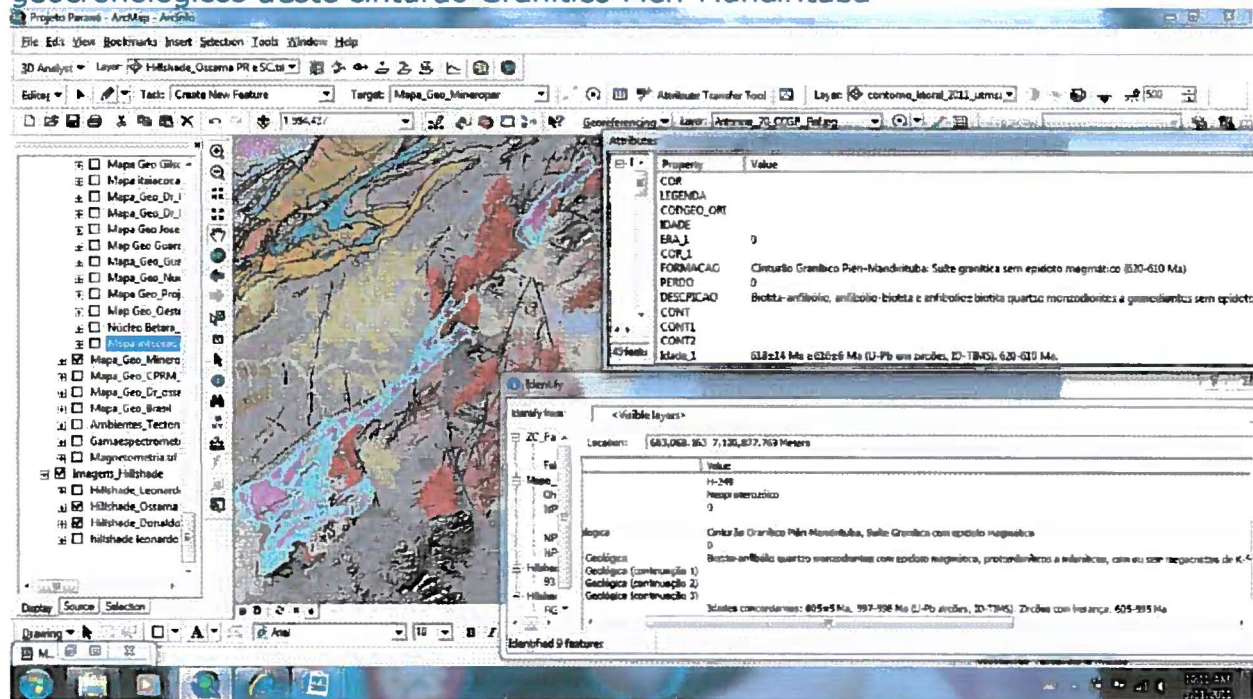
Exemplos de descrições de litologias, estruturas, texturas e dados geocronológicos do Complexo Luis Alves: unidade de gnaisses granulíticos



Cinturão Granítico Piên-Mandirituba (unidade selecionada no mapa) (entre Complexo Atuba ao norte e o Complexo Luis Alves ao sul) (3 Suítes graníticas com epidoto magmático)



Exemplos de descrições de litologias, estruturas, texturas e dados geocronológicos deste cinturão Granítico Piên-Mandirituba



Suíte Máfica-Ultramáfica Piên: (unidade selecionada em verde no mapa)

Exemplos de descrições de litologias, estruturas, texturas e dados geocronológicos desta suíte.

The screenshot shows the ArcGIS interface with the following windows and data:

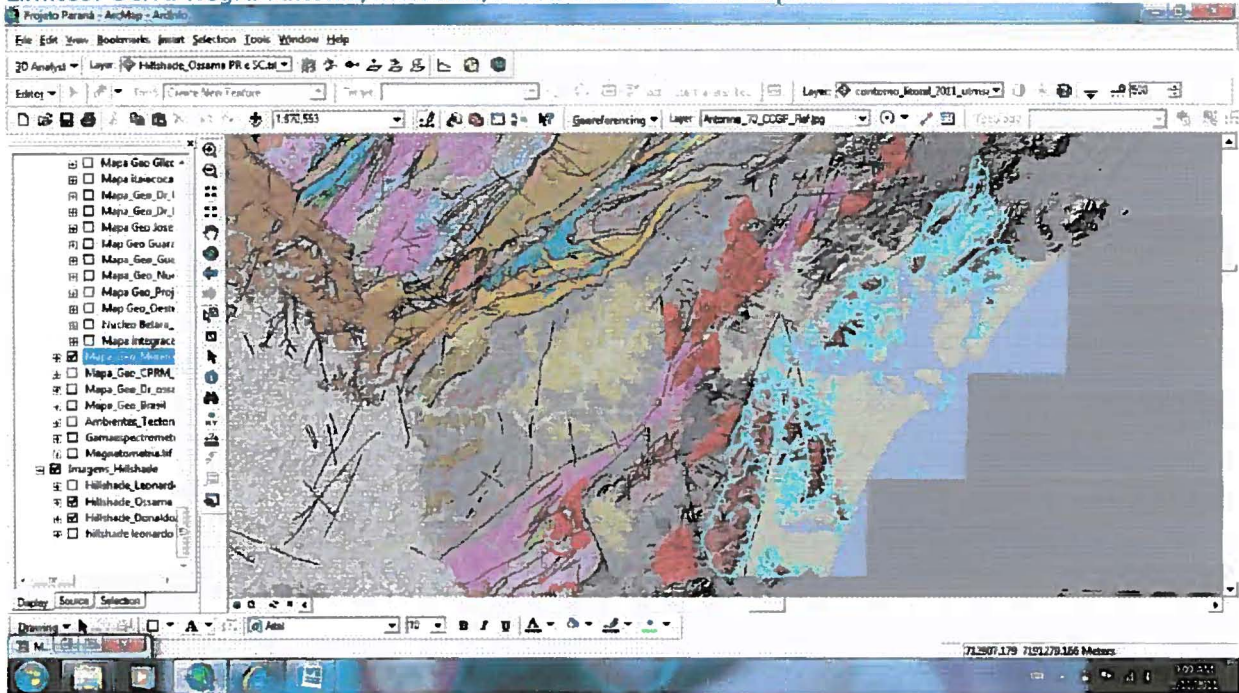
- Identify Window:**
 - Location: 657,881,279 7.107,863,842 Meters
 - Field: name
 - COR_1: Suíte Máfica-Ultramáfica Piên: unidade de peridotitos serpentinitizados
 - Nome Unidade Geológica: 0
 - Descrição Unidade Geológica: Peridotitos (olivinos e hornblendas serpentinizados e serpen-ivinos) com intercalações de
 - Descrição Unidade Geológica (continuação 1):
 - Descrição Unidade Geológica (continuação 2):
 - Descrição Unidade Geológica (continuação 3):
 - Idade: 631 Ma (U-Pb em zircões)
- Attributes Window:**

Map	Property	Value
0	CODGEO	NPommapg
0	ERA	0
0	COR	0
0	LEGENDA	0
0	LEGENDA_ORI	0
0	IDADE	Neoproterozoico
0	ERA_L	0
0	COR_L	0
0	FORMACAO	Suíte Máfica-Ultramáfica Piên: Unidade de gabros
0	PERDO	0
0	DESCRICAO	Olivina-espinélio gabros textóicos com e sem anfibólio
0	CONTI	0
0	CONTL	0
0	CONTZ	0
0	Idada_L	631 ± 17 Ma (U-Pb em zircões, SH-UBAP)
- Layers Window:** Shows a list of map layers, including 'contorno_terral_2013_ultima'.
- Map:** Displays a geological map with various units. A unit is highlighted in green, corresponding to the data in the windows above.
- Scale:** 674752,398 7149211,917 Meters

Domínio Paranaguá: (unidade selecionada no mapa)

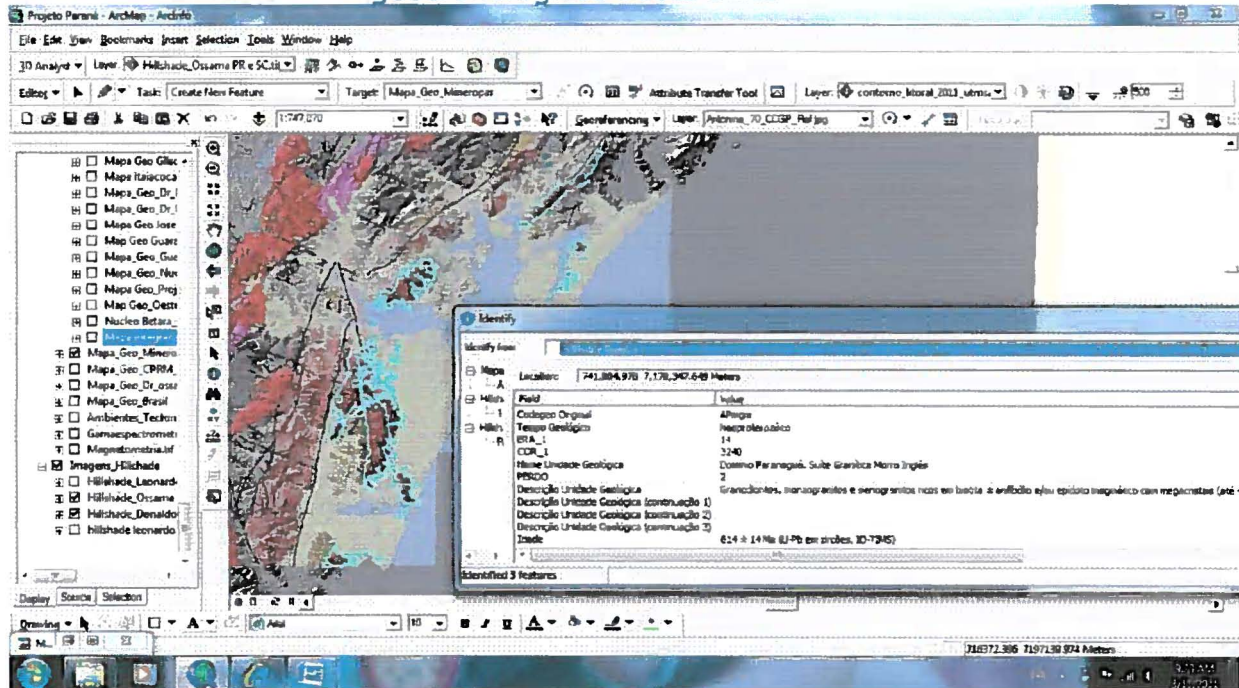
Constituído de: 3 Suítes Graníticas, Formação Rio das Cobras e Complexo São Francisco do Sul

Limites: Serra Negra-Antonia/morretes/Pedra Branca do Araraquara



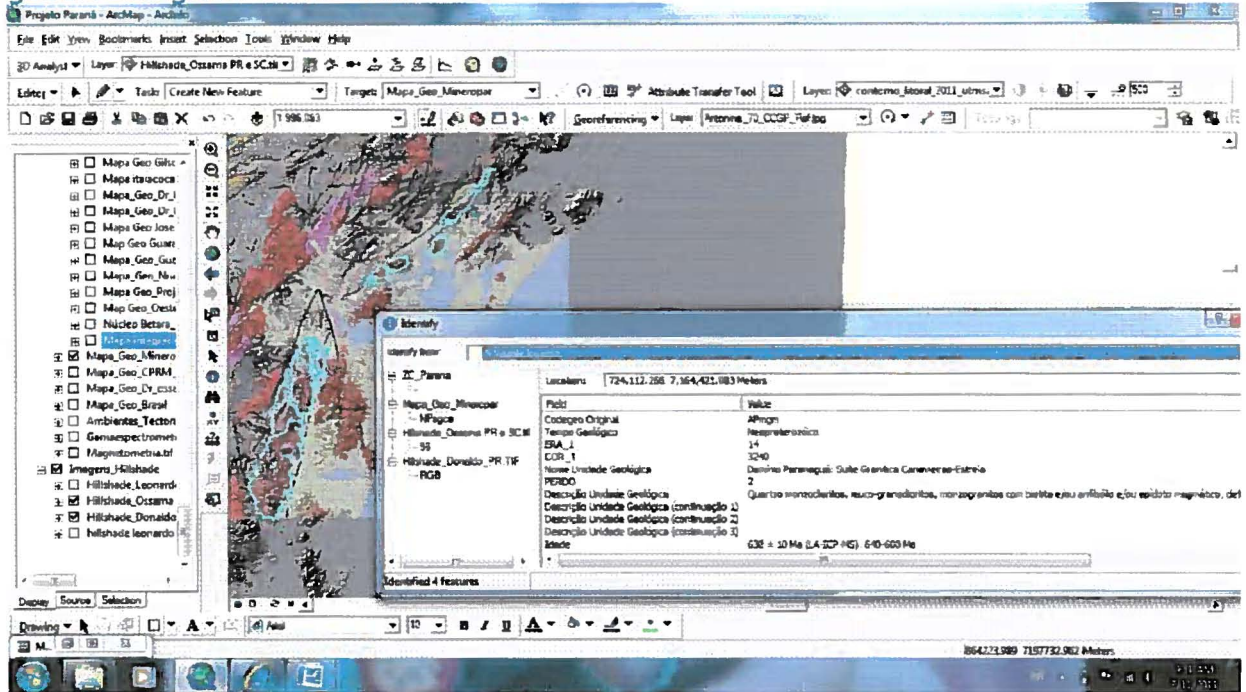
Domínio Paranaguá: Suíte Granítica Morro Inglês (oriental)

Exemplos de descrições de litologias, estruturas, texturas e dados geocronológicos desta suíte



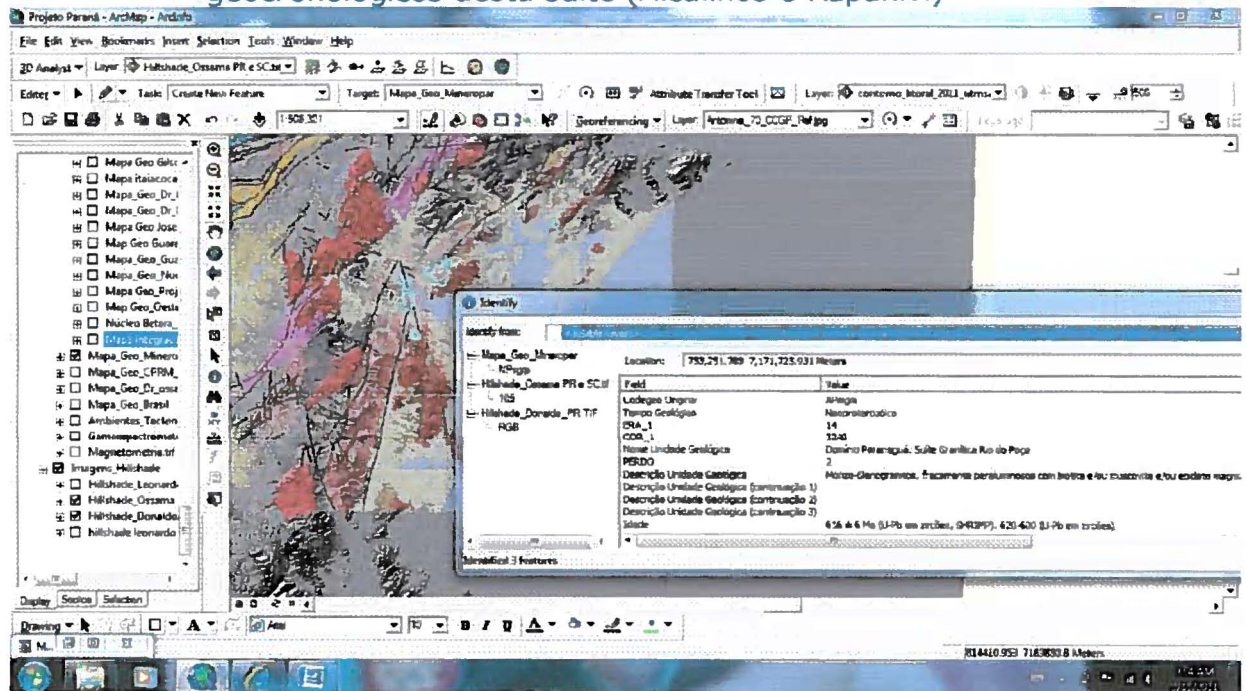
Domínio Paranaguá: Suíte Granítica Canavieiras-Estrela (ocidental)

Exemplos de descrições de litologias, estruturas, texturas e dados geocronológicos desta suíte



Domínio Paranaguá: Suíte Granítica Rio do Poço

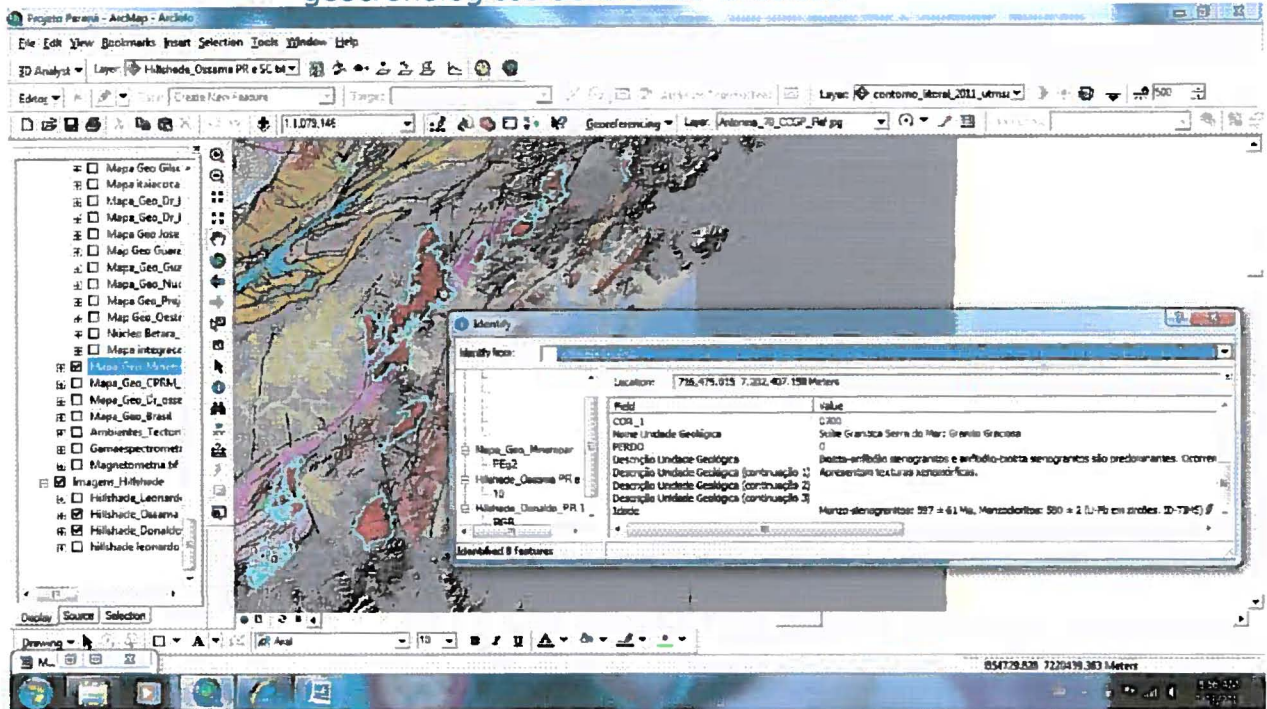
Exemplos de descrições de litologias, estruturas, texturas e dados geocronológicos desta suíte (Alcalinos e Rapakivi)



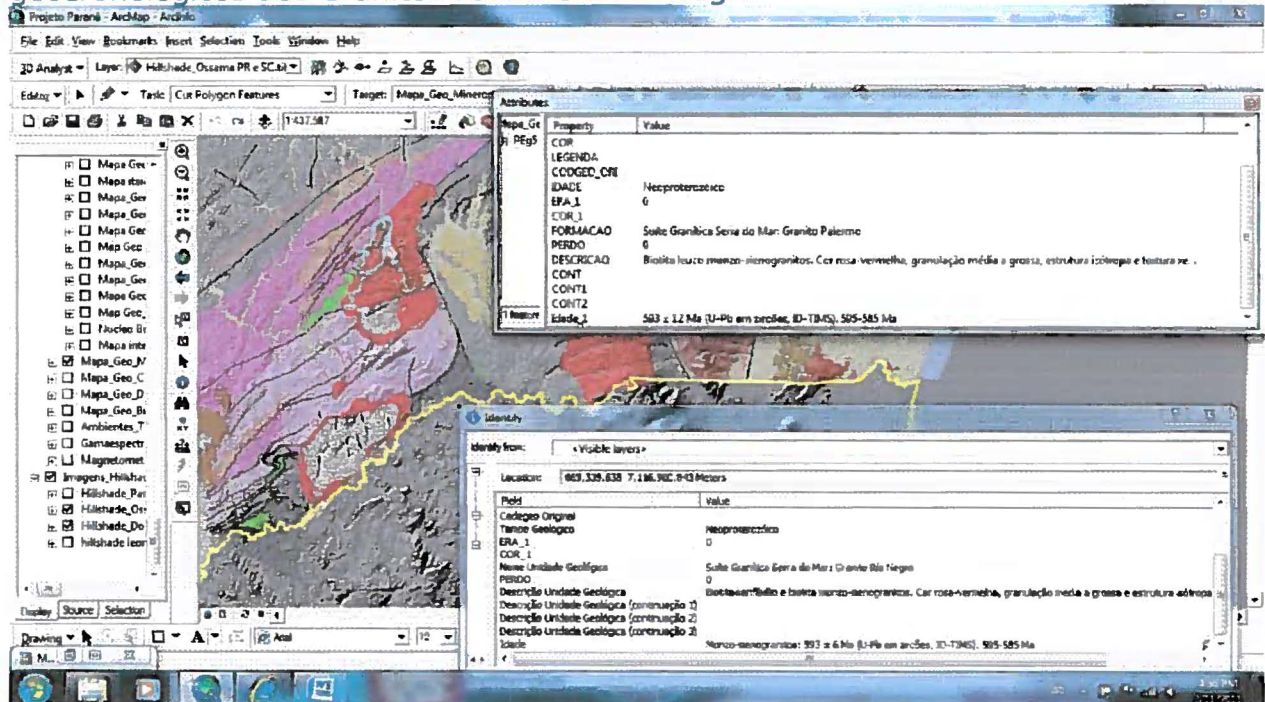


Suíte Granítica Serra do Mar (granitos selecionados no mapa)

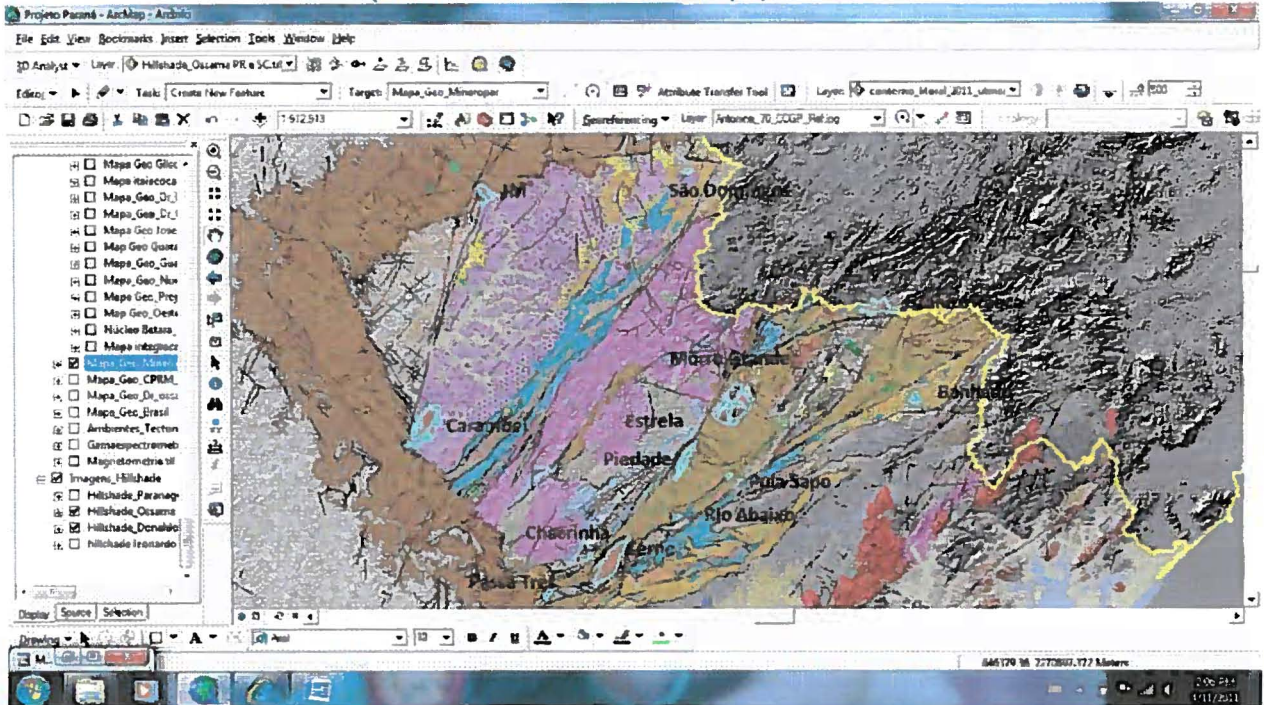
Exemplos de descrições de litologias, estruturas, texturas e dados geocronológicos do Granito Graciosa



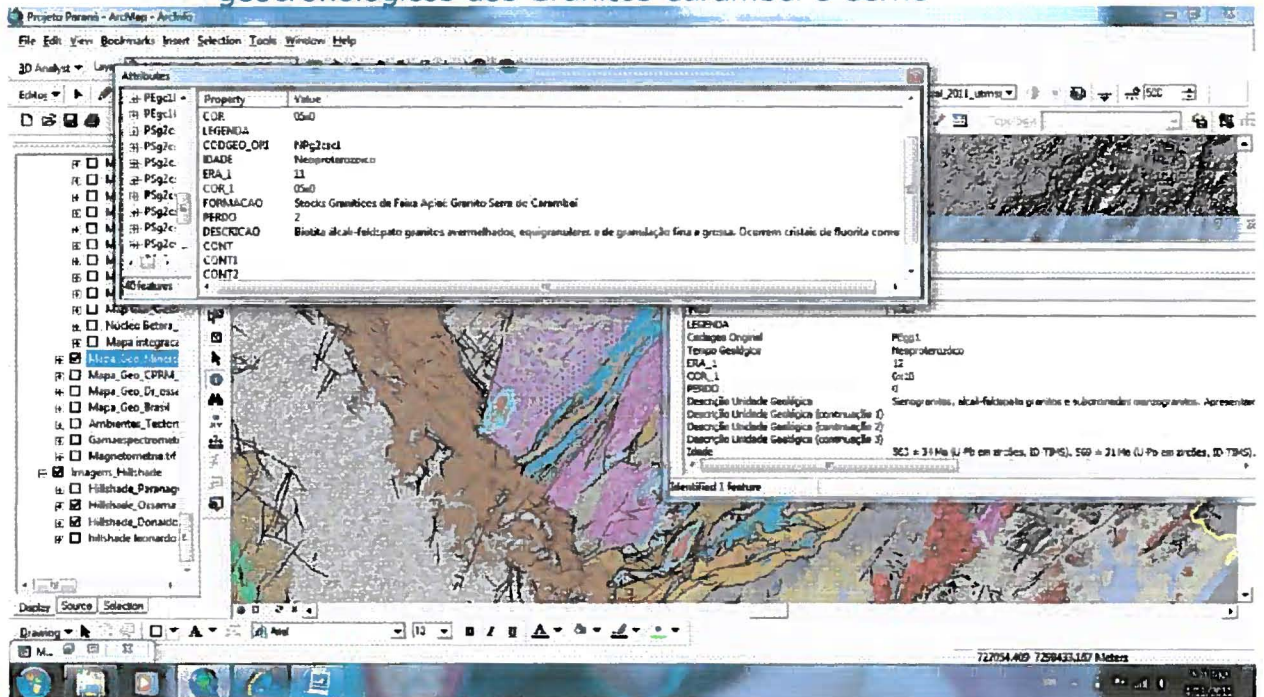
Exemplos de descrições de litologias, estruturas, texturas e dados geocronológicos dos Granitos Palermo e Rio Negro



Stocks Graníticos da Faixa Apiaí (Ribeira Sul) (Granitos selecionados no mapa)

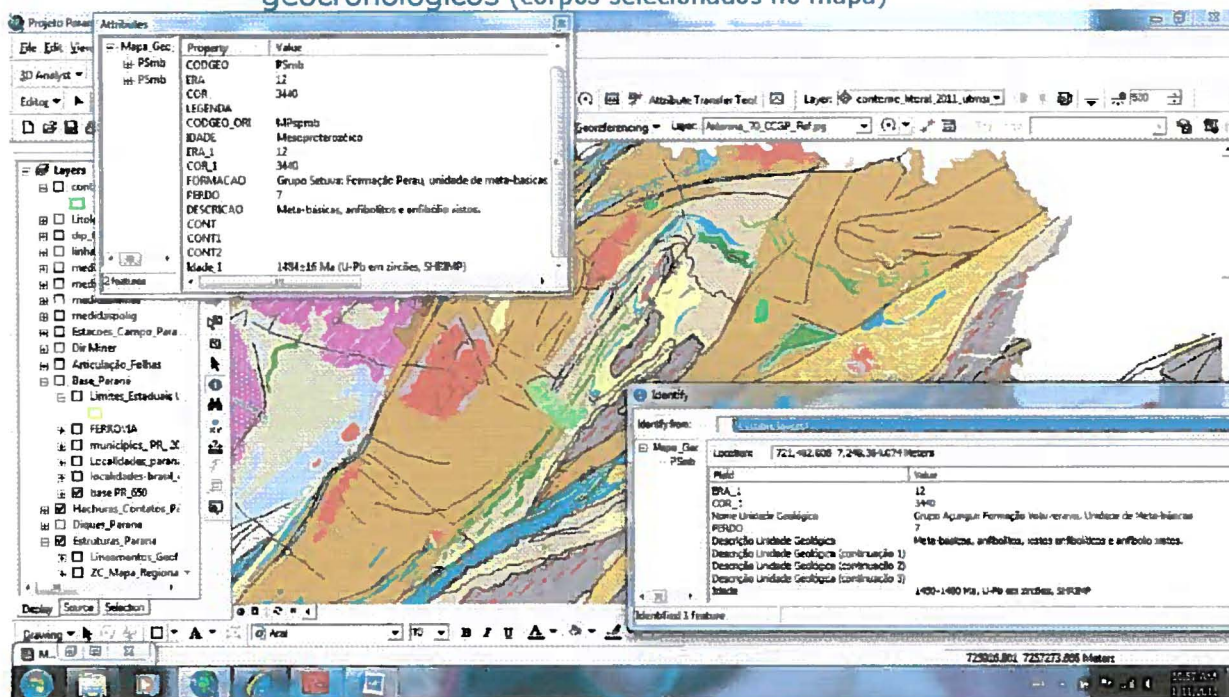


Exemplos de descrições de litologias, estruturas, texturas e dados geocronológicos dos Granitos Carambeí e Cerne



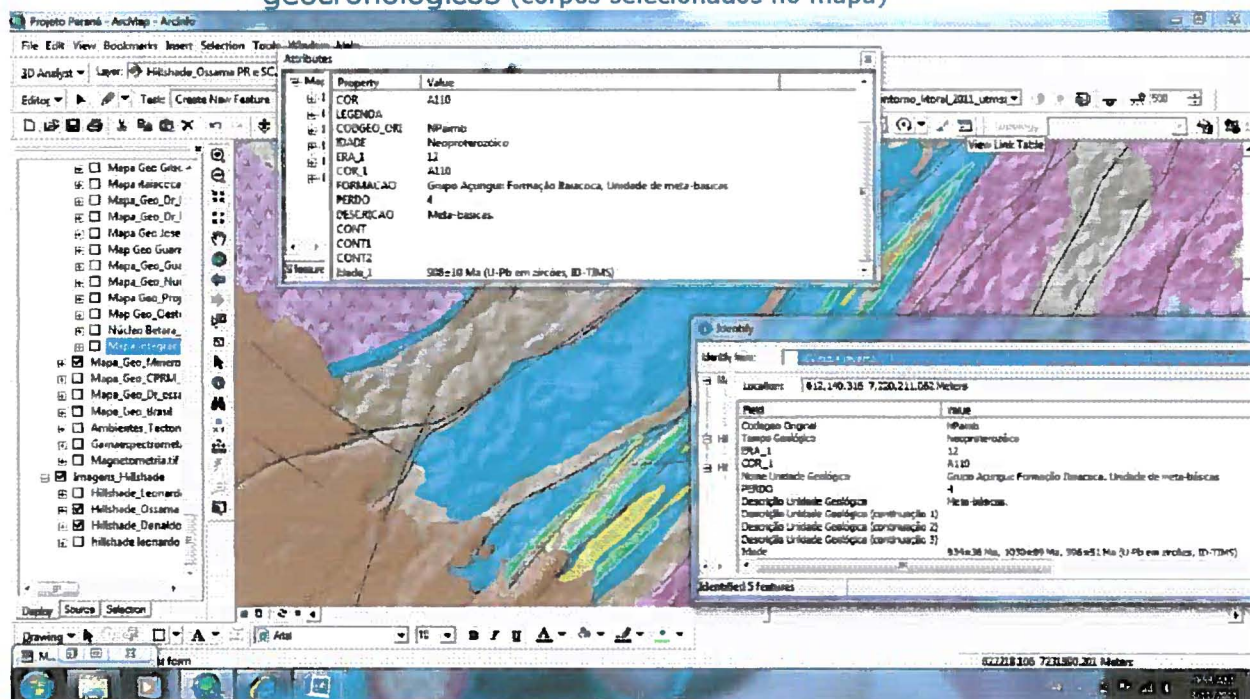
Meta-básicas das formações Votuverava (Grupo Açungui) e Perau (Grupo Setuva)

Exemplos de descrições de litologias, estruturas, texturas e dados geocronológicos (corpos selecionados no mapa)



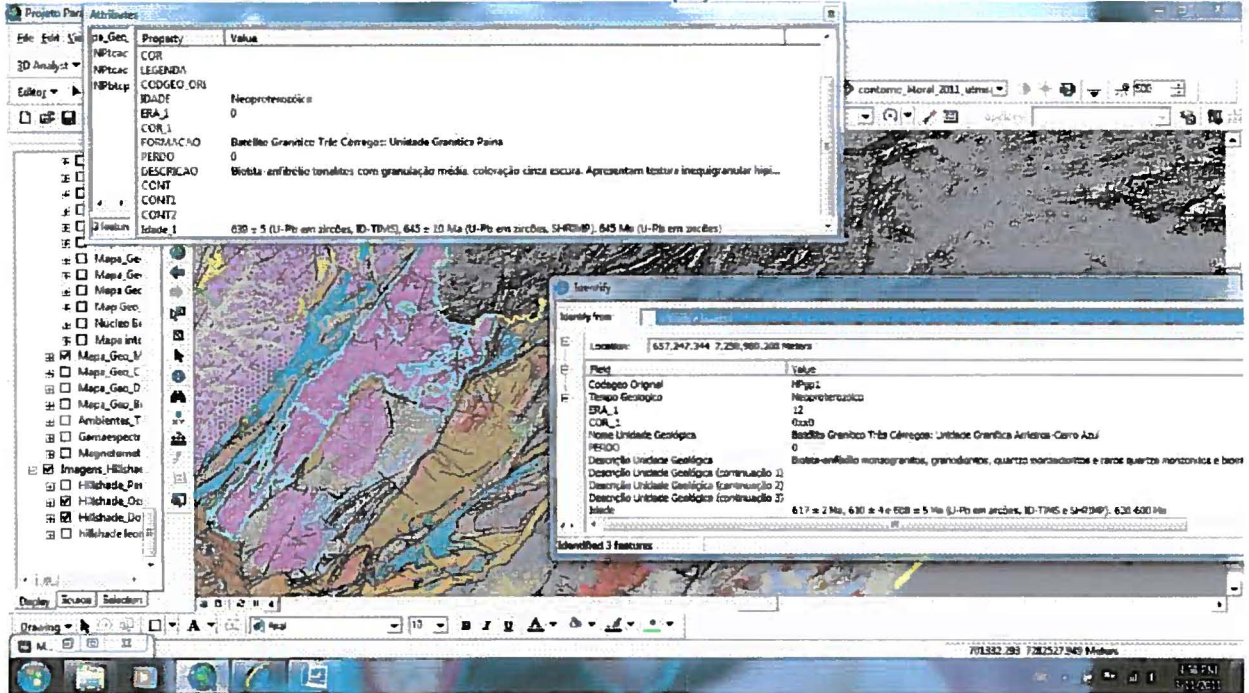
Meta-básicas da formação Itaiacoca (Grupo Açungui)

Exemplos de descrições de litologias, estruturas, texturas e dados geocronológicos (corpos selecionados no mapa)



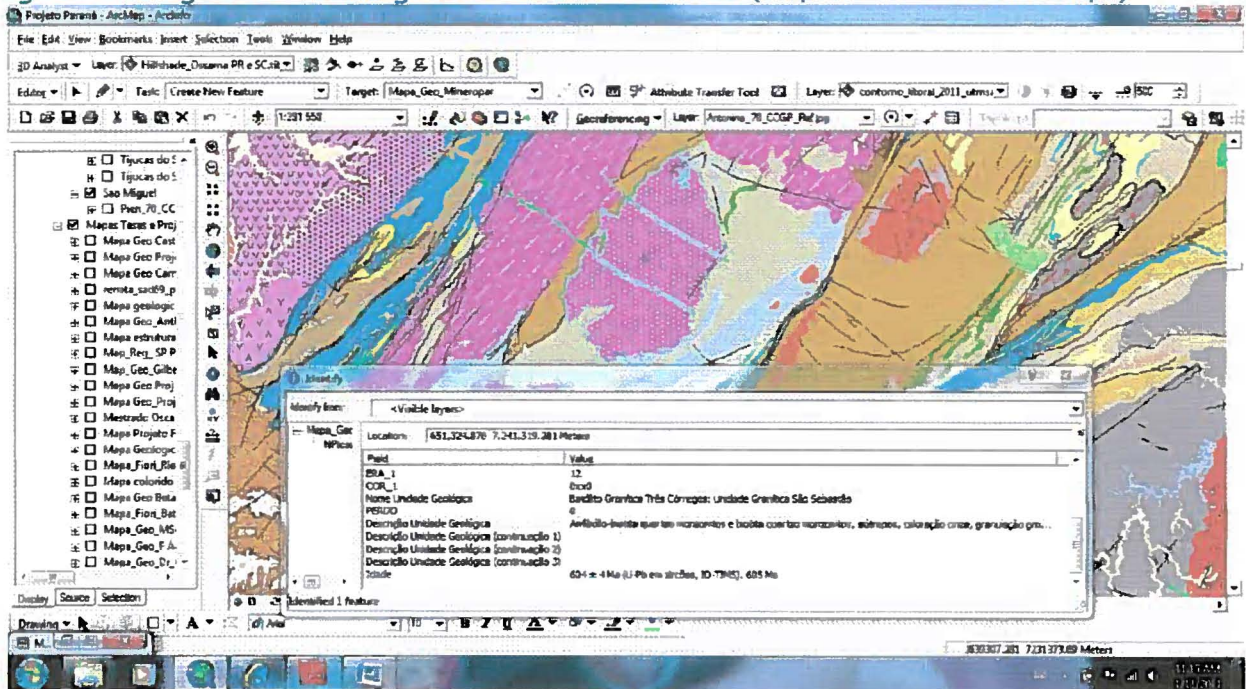
Batólito Granítico Três Córregos

Exemplos de descrições de litologias, estruturas, texturas e dados geocronológicos das suítes graníticas Paina e Arreiros-Cerro Azul (corpos selecionados no mapa)



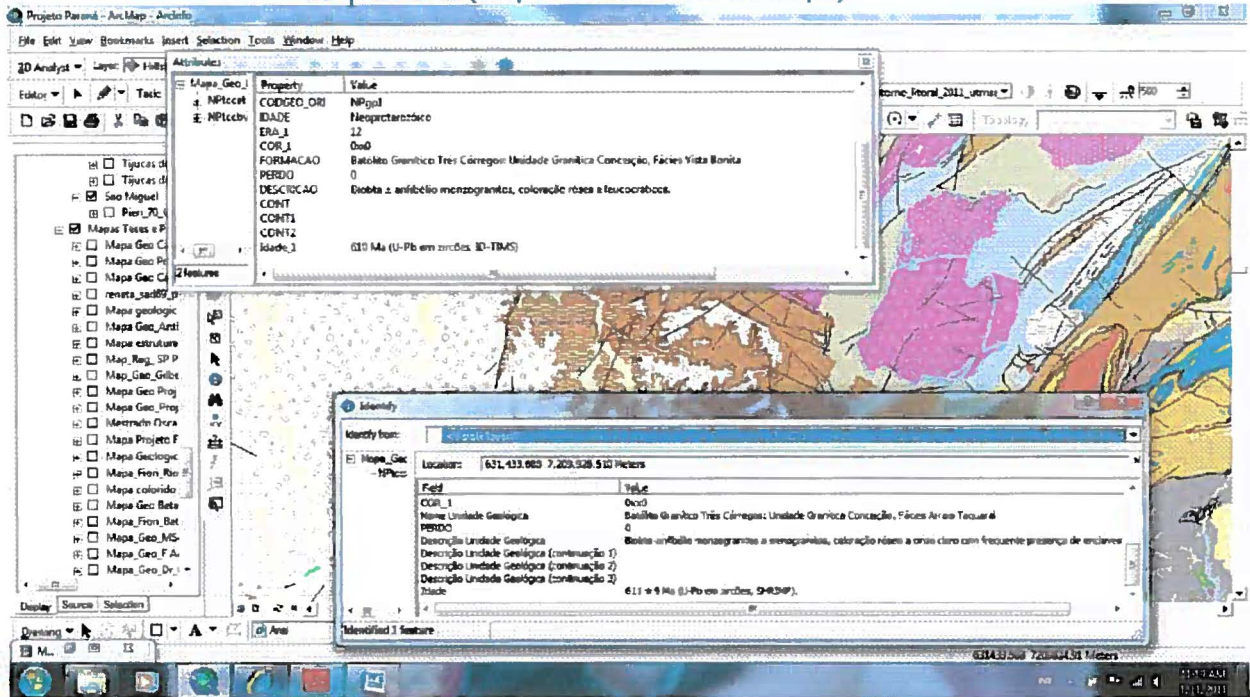
Batólito Granítico Três Córregos

Exemplos de descrições de litologias, estruturas, texturas e dados geocronológicos da suíte granítica São Sebastião (corpos selecionados no mapa)



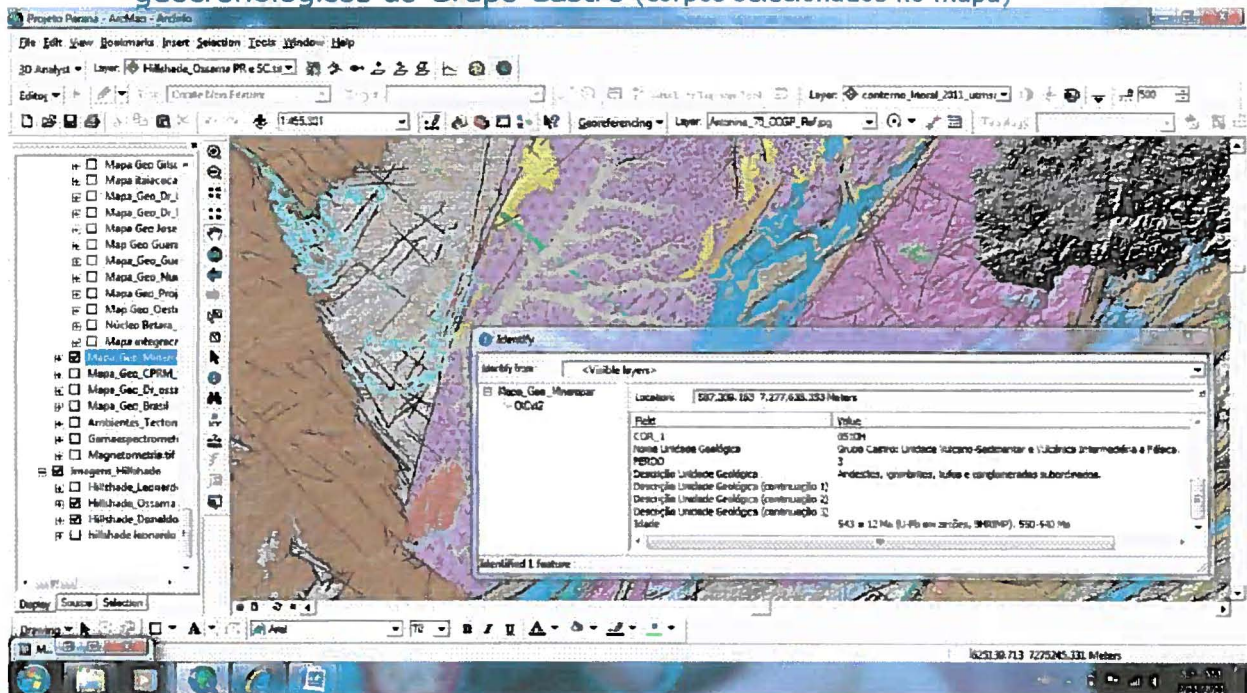
Batólito Granítico Três Córregos

Exemplos de descrições de litologias, estruturas, texturas e dados geocronológicos da suíte granítica Conceição, fácies Vista Bonita e Arroio Taquaral e (corpos seleccionados no mapa)



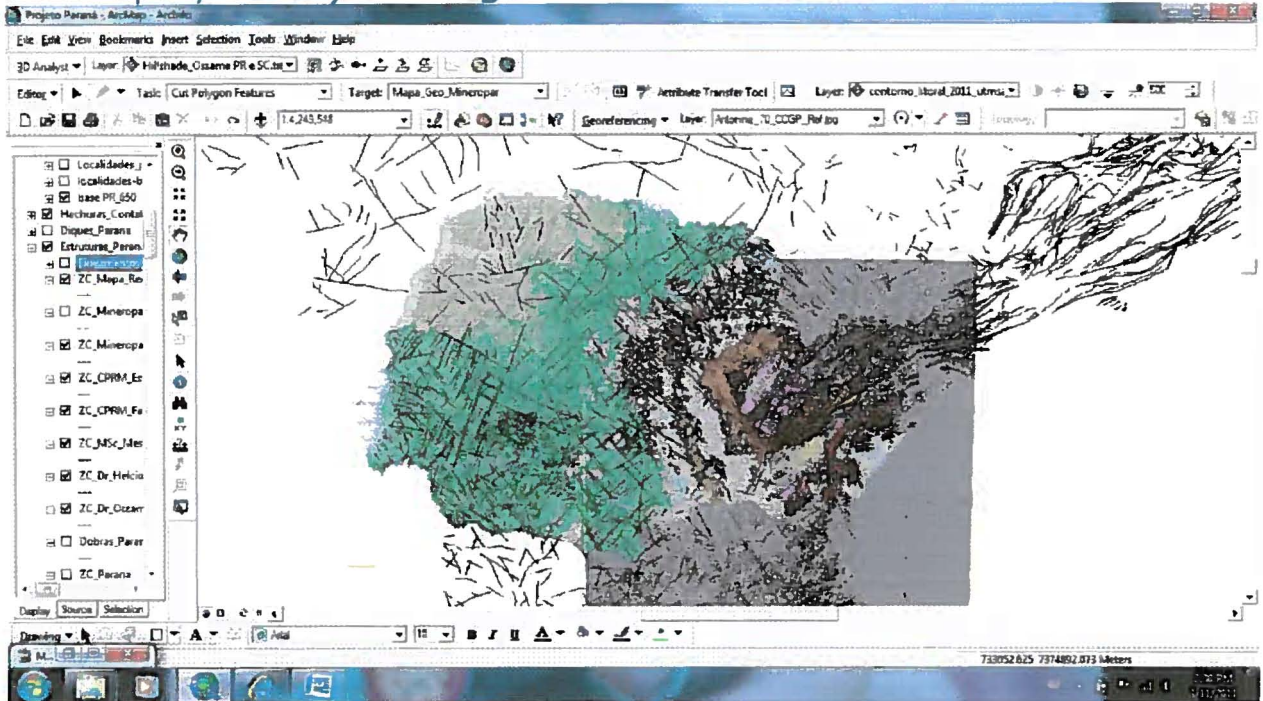
Bacia de Castro: Grupo Castro

Exemplos de descrições de litologias, estruturas, texturas e dados geocronológicos do Grupo Castro (corpos seleccionados no mapa)

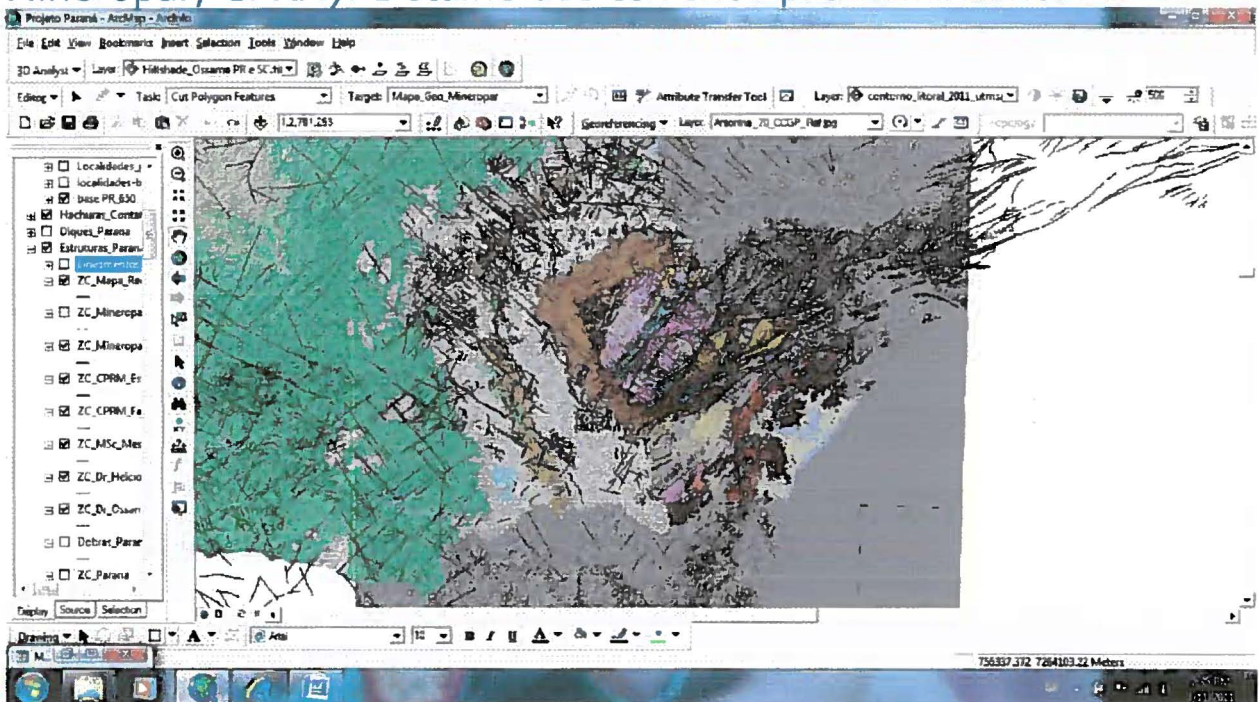




Zonas de cisalhamento do estado (dados anteriores, Mineropar, CPRM). Vista geral

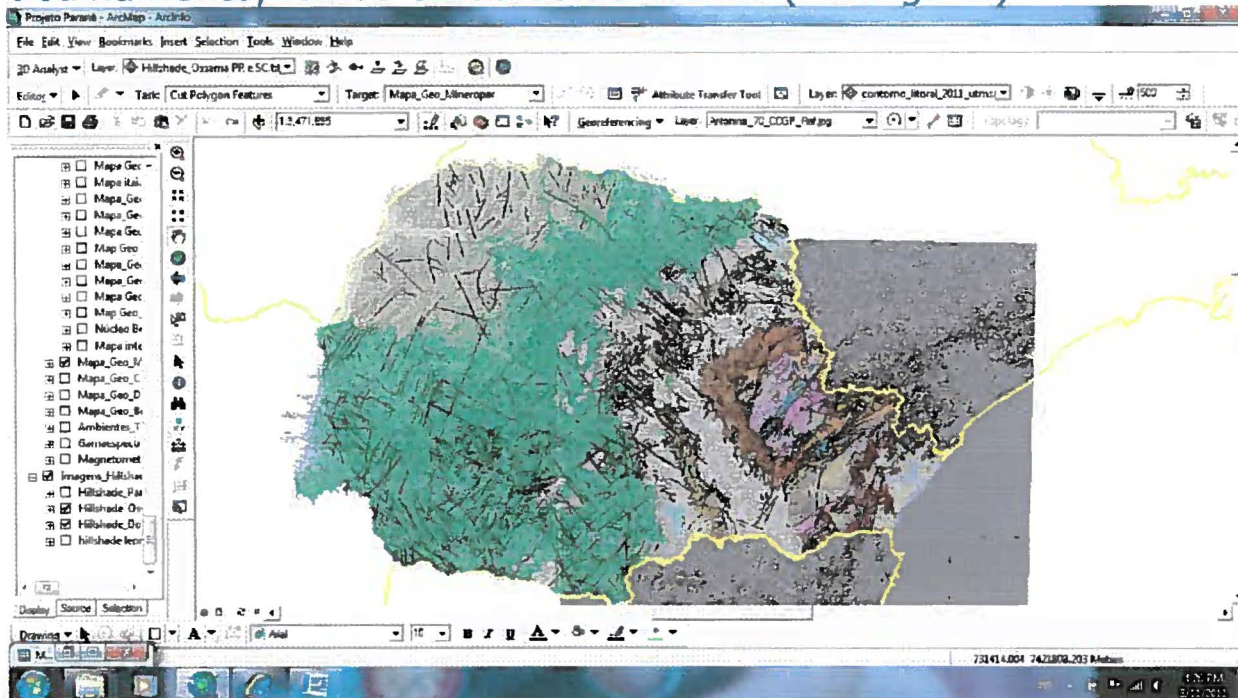


Zonas de cisalhamento do estado (dados anteriores, Mineropar, CPRM). Detalhe dos terrenos pré-cambrianos.

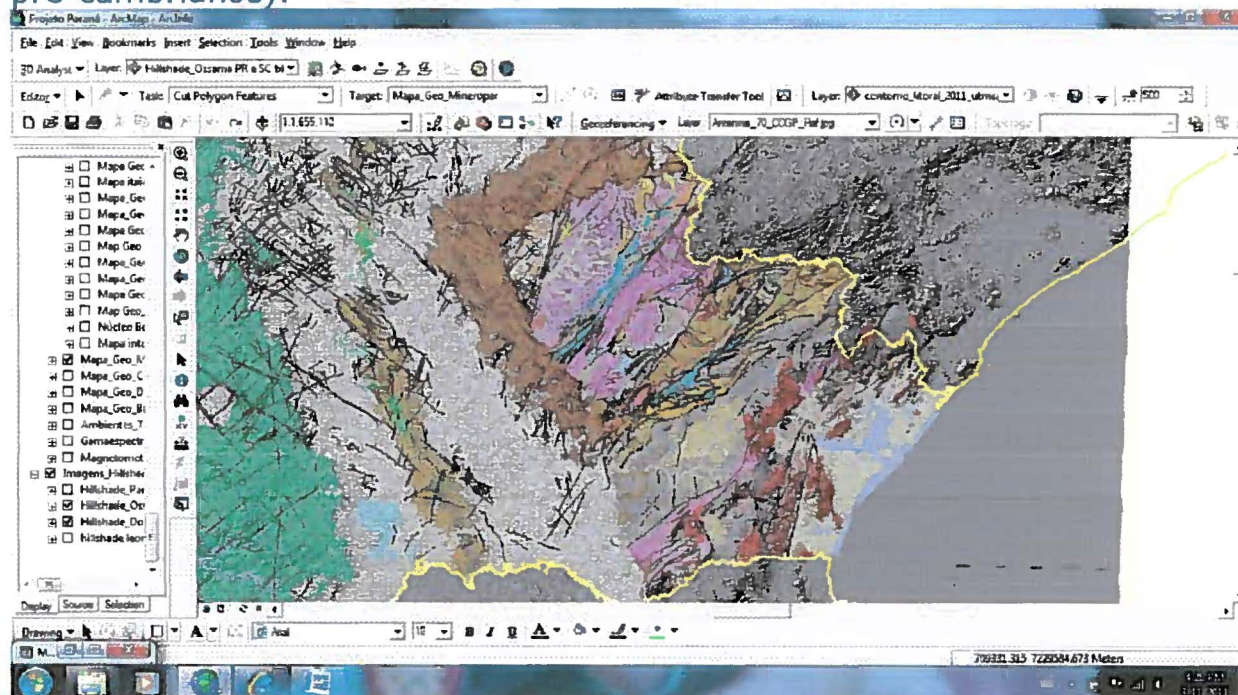




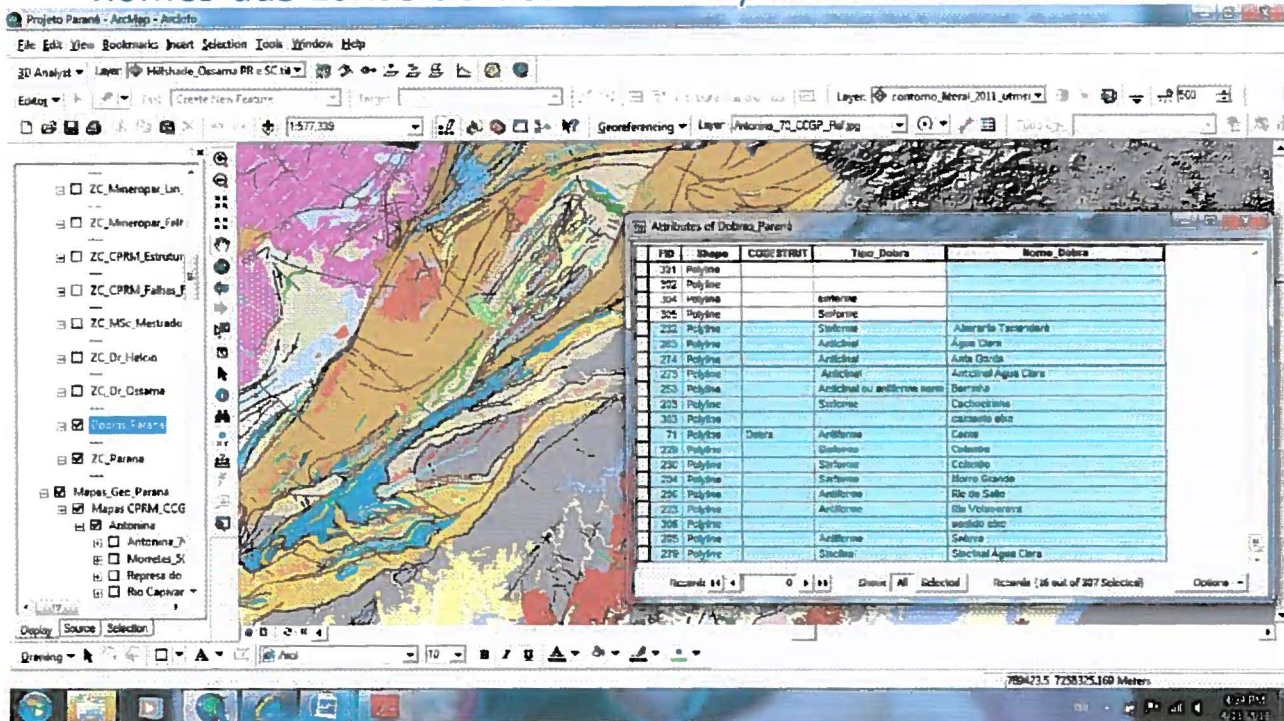
Mapa preliminar (em atualização) das zonas de cisalhamento, falhas e dobras do estado (vista geral)



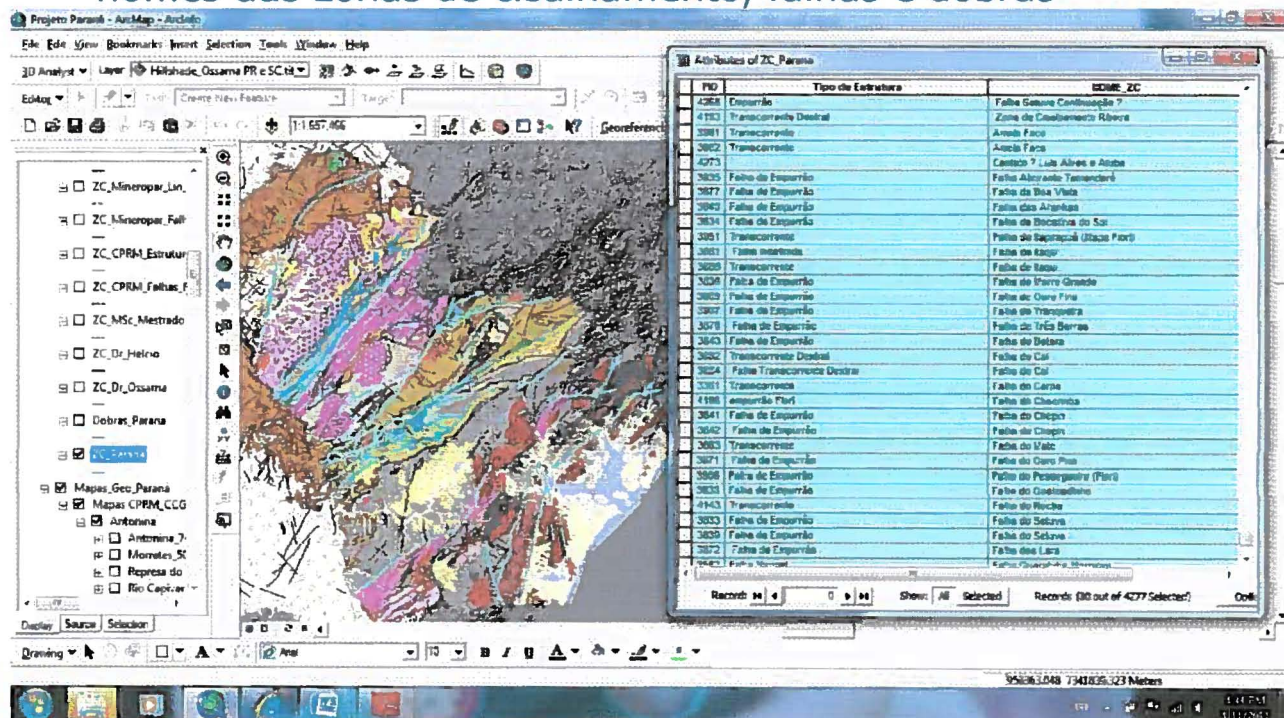
Mapa preliminar (em atualização) das zonas de cisalhamento, falhas e dobras do estado (detalhe dos terrenos pré-cambrianos).



Mapa preliminar (em atualização) com identificação dos nomes das zonas de cisalhamento, falhas e dobras

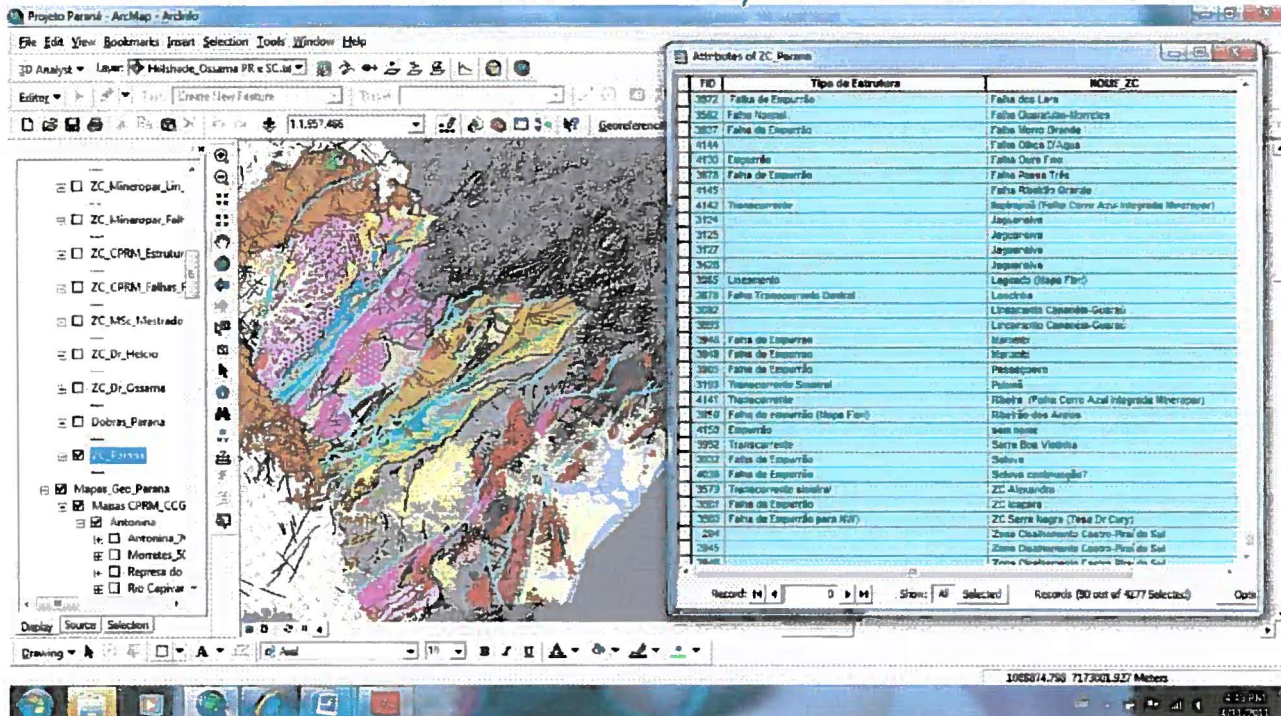


Mapa preliminar (em atualização) com identificação dos nomes das zonas de cisalhamento, falhas e dobras

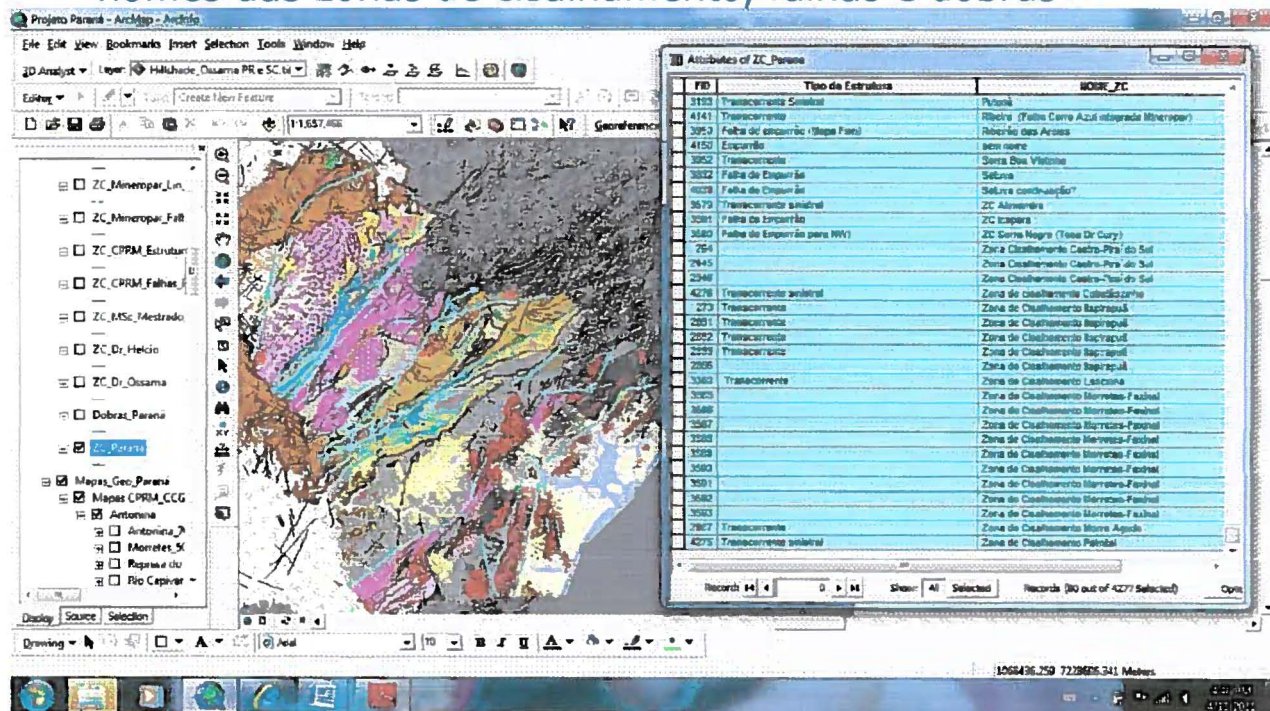




Mapa preliminar (em atualização) com identificação dos nomes das zonas de cisalhamento, falhas e dobras



Mapa preliminar (em atualização) com identificação dos nomes das zonas de cisalhamento, falhas e dobras





Atividades pendentes, recomendações e sugestões

- A informatização dos dados geológicos e a atualização do mapa geológico **devem ser sempre prioridades da Mineropar** e a empresa deve disponibilizar estes produtos às comunidades geológicas paranaense, nacional e internacional.
- O período de 12 meses (2º licitação) não foi suficiente para a conclusão dos trabalhos que envolveram a manipulação, tratamento, triagem, interpretação, informatização e digitalização de uma grande quantidade de dados e mapas.
- Os trabalhos realizados até o momento resultaram em **avanços significativos** na informatização dos dados e na atualização do mapa geológico.
- O estágio atual dos trabalhos não permite disponibilizar as informações e o mapa geológico em atualização para a comunidade ficando somente



restritos a utilização, correção, avaliação e consulta interna dos geólogos e técnicos da Mineropar.

- Deve-se continuar investindo na conclusão dos trabalhos propostos, sendo esta uma das principais atribuições da Mineropar. Deixar no estágio atual significa: paralisação, abandono dos trabalhos e prejuízos financeiros.

- Um período adicional de 12 meses, dependendo dos produtos finais desejados, seria relativamente suficiente para a conclusão das atividades pendentes no mapa geológico:
 - Correção detalhada do mapa geológico, folha por folha e área por área,
 - Finalização dos trabalhos de identificação dos traçados e nomes das zonas de cisalhamento, fraturas, falhas e dobras do estado e suas respectivas simbologias
 - Trabalhos finais de modificação e correção das siglas das unidades geológicas de acordo com os padrões atuais utilizados;



- Elaboração dos dados e mapas das tipologias litopetrotectônicas e dos ambientes geotectônicos dos terrenos pré-cambrianos do estado;
- Incorporação e ajustes dos *shapes* e seus atributos das novas unidades geológicas do Grupo Serra Geral;
- Elaboração de perfis geológicos ao longo dos terrenos pré-cambrianos e a Bacia do Paraná.
- Elaboração da legenda em inglês do mapa geológico para facilitar a consulta do mesmo pela comunidade geológica internacional;
- Conclusão dos trabalhos de escolha correta e padronizada das texturas e cores das unidades geológicas no mapa final;
- Revisão e correção de erros digitais em contatos entre unidades geológicas e junção dos polígonos finais das unidades geológicas estabelecidas.
- Junção das zonas de cisalhamento (linhas) com as unidades geológicas (polígonos) quando em contatos tectônicos;
- Citação das fontes bibliográficas consultadas (autores, projetos, escalas, ano) dos mapas

MINEROPAR
MINERAIS DO PARANÁ

ACQUA SUL 



utilizados na atualização e integração do mapa geológico final.